

Kontinuerligt Kollisionsdetektering

Jack Nørskov Jørgensen*
14-06-82

3. juli 2006

Resumé

Vi præsenterer i denne rapport en metode til at foretage kontinuerligt kollisionsdetektering. Vi behandler kort de forskellige metoder som er blevet publiceret tidligere, men som beskrevet i vores synopsis vil denne rapport benytte metoden beskrevet i [10].

Vi benytter imellem-bevægelser og interval aritmetik på OBB-træer i OpenTissue [8] og opnår en stabil løsning til kontinuerligt kollisionsdetektering. Metoderne vi bruger vil alle blive gennemgået i denne rapport.

Til sidst forsøger vi at optimere vores metode.

*jackj@diku.dk

Indhold

1 Problemformulering	1
1.1 Introduktion	1
1.2 Afgrænsninger	1
1.3 Begrundelse	2
1.4 Fremgangsmåde	2
2 Tidlige arbejde	2
3 Den valgte metode	3
4 Imellem-bevægelser	3
4.1 Introduktion	3
4.2 Imellem-bevægelse med konstant rotation og translation	5
5 Interval aritmetik	6
5.1 Introduktion	6
5.2 Brug af interval aritmetik til afgrænsning	6
6 Kollisionsdetektering imellem omringende volumener	8
6.1 Omringende kugler	8
6.2 Omringende akse-orienterede bokse	9
6.3 Orienterede omringende bokse	11
6.4 Valg af omringende volume i vores implementation	13
6.5 Træer af omringende volumener	13
7 Kollisionsdetektering imellem geometrier	15
7.1 Test for kollision imellem kanter	16
7.2 Test for kollision imellem flade og punkt	17
7.3 Brug af interval aritmetik til at finde tidligst kollisionstid	17
8 Programmeringsovervejelser	18
8.1 Imellem-bevægelser	19
8.2 Interval aritmetik	19
9 Optimeringer	20
9.1 Optimeringer af test for kollision imellem to OBBer	21
9.2 Optimeringer af gennemløbning af træ af omringende volumener	21
9.3 Optimeringer af imellem-bevægelser	22
9.4 Optimeringer ved hjælp af programmet gprof	24
9.5 Fremtidige optimeringer	25
10 Afprøvning	25
10.1 Afprøvning af imellem-bevægelse	26
10.2 Afprøvning af kollisionstest imellem to OBBer	26
10.3 Afprøvning af kollisionstest imellem to geometrier	27

10.4 Afprøvning af kollisionstest imellem to træer indeholdende OBBer	27
---	----

11 Konklusion	28
----------------------	-----------

12 Bilag A, Testprogrammer	29
-----------------------------------	-----------

12.1 main.cpp	29
12.2 application.cpp	32
12.3 application.h	36
12.4 AB00	40
12.5 AB01	41
12.6 AB02	41
12.7 AO00	41
12.8 AO01	42
12.9 AO02	43
12.10AE00	43
12.11AE01	44
12.12AE02	45
12.13AVF00	45
12.14AVF01	46
12.15AVF02	47
12.16AT00	47
12.17AT01	48
12.18AT02	49

13 Bilag B, Testresultater	50
-----------------------------------	-----------

13.1 AB00	50
13.2 AB01	50
13.3 AB02	50
13.4 AO00	51
13.5 AO01	51
13.6 AO02	51
13.7 AE00	51
13.8 AE01	51
13.9 AE02	51
13.10AVF00	51
13.11AVF01	51
13.12AVF02	52
13.13AT00	52
13.14AT01	52
13.15AT02	52

14 Bilag C, Kode	53
-------------------------	-----------

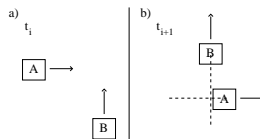
14.1 arbitrary_motion.h	53
14.2 arbitrary_constant.h	55
14.3 cont_coll_bvh.h	60
14.4 cont_coll_bv_traits.h	64

14.5 cont_coll_edge.h	64
14.6 cont_coll_face.h	67
14.7 cont_coll_obb.h	70
14.8 interval.h	75
14.9 obb.h	80

1 Problemformulering

1.1 Introduktion

I traditionel diskret kollisionsdetektering er det ikke altid muligt at afgøre om to objekter rammer hinanden. Antag f.eks. at vi er givet to objekter A og B der rammer hinanden som vist i Figur 1. Objekterne A og B i billede a bevæger



Figur 1: A og B har passeret hinanden ved tid t_{i+1} .

sig hurtigt nok til at de i billede b har passeret hinanden. Testes der kun for kollision ved tid t_i og t_{i+1} fanges kollision ikke.

Det er muligt at fange en kollision som den i Figur 1 ved at teste i mindre tidsintervaller, men der er flere ulemper ved dette;

- Det er ikke altid muligt at vide hvor f.eks. A befinder sig til et vilkårligt tidspunkt. Er A f.eks. styret af en bruger ved hjælp af en mus opdateres A 's position diskret.
- A 's position kan være beregningsmæssige tung at udregne. Et eksempel er at A er et objekt i en fysik-simulator hvor mange forskellige elementer kan have en indvirkning på A og dennes position. Her er det derfor ønskværdigt ikke at skulle udregne A 's position alt for mange gange.
- Der skal foretages flere test for kollision når der opdeles i flere tidsinterval, altså skal der bruges mere tid på teste for kollisioner.

De sidste to punkter er selvfølgelig kun et problem hvis der stilles krav til køretiden af det pågældende program. Denne rapport omhandler **kontinuerligt kollisionsdetektering** (der f.eks. ville opdage kollisionen i Figur 1). I første omgang vil vi undersøge metoden beskrevet i [10].

1.2 Afgrænsninger

- Vores metode skal ikke kunne garantere at den finder alle kollisioner.

Man kan kun garantere dette hvis det er muligt at vide hvor et objekt befinder sig på alle tænkelige tidspunkter. Vi ønsker at vores algoritme også skal kunne bruges i situationer hvor dette ikke er tilfældet.

- Vores metode skal ikke kunne finde kollisioner imellem to elementer hvor det ene element er fuldstændigt omsluttet af det andet og hvor der ingen

kontakt er mellem objekterne. Dette er en rimelig begrænsning idet objekterne jo ikke rører hinanden og derfor ikke kan siges at kolliderer. Bemærk at hvis objekterne til at starte med er adskilt hvorefter det ene sidenhen bevæger sig ind i det andet, så vil kollisionen kunne blive fundet af vores metode.

1.3 Begrundelse

Kollisionsdetektering benyttes i dag i så godt som alle programmer der skal efterligne elementer i vores verden, eksempler er computerspil, flysimulatorer og virtual reality.

Afhængigt af programmet kan både præcisionen (f.eks. til fysik-simulator) og hastigheden (f.eks. til computerspil) af den benyttede metode til test af kollision være vigtige faktorer. Det er derfor et vigtigt område at udforske for at finde nye forbedrede detekteringsmetoder, enten tids- eller præcisionsmæssigt.

1.4 Fremgangsmåde

Vores fremgangsmåde er som følger

1. Undersøg hvilke løsninger der er beskrevet i litteraturen.
2. Beskriv overordnet metoden i [10].
3. Beskriv de forskellige værktøjer der bruges i metoden.
4. Implementer metoden i OpenTissue.
5. Optimer metoden.
6. Afprøv metoden.

2 Tidlige arbejde

Den valgte metode vi skal beskrive i denne rapport er beskrevet i [10]. Artiklen er relativ ny og er, synes vi, lidt mangelfuld på nogle områder. To artikler er blevet udgivet som benytter samme teknik som i [10], disse er [9] og [11]. I [9] beskrives metoden for stive objekter. En mængde optimeringer beskrives, blandt andet hvordan man under gennemløbning af træer af omringende volumener kan optimere radikalt, mere om dette i Kapitel 9. I [11] beskrives metoden for leddelte objekter. Artiklen beskriver hvordan man ved hjælp af blandt andet “sweeping-volume culling”, “CULLIDE” og “Dynamic BVH Culling” kan fjerne mange kollisionstjek. Den benyttede test for kollision imellem geometri er en ny metode kaldet “Improved Newton Interval Method”, metoden beskrives kort i Kapitel 9.

Det har ikke været nemt at finde materiale der omhandler metoden i [10]. Faktisk har vi kun fundet de tre artikler ovenfor.

Eftersom vi hele tiden har vidst hvilken metode vi har ønsket at bruge har vi ikke brugt meget tid på at finde andre mulige metoder. Vi har vha. af de tre artikler ovenfor og deres gennemgang af tidligere arbejde kunne finde nogle artikler der omhandler kontinuert kollisionsdetektering. De andre metoder for kontinuert kollisionsdetektering vi har kunnet finde på denne måde har været radikalt anderledes end vores. De har derfor været af begrænset hjælp.

3 Den valgte metode

Vi beskriver her overordnet hvordan metoden [10] virker. I de næste kapitler gennemgås de forskellige begreber introduceret her mere dybdegående.

- I vores udgangspunkt, det diskrete tilfælde, er et objekts position ikke kendt til alle tænkelige tider. For at kunne foretage kontinuert kollisionsdetektering bruger vi **imellem-bevægelser** (Kapitel 4) til at beskrive et objekts bane imellem kendte positioner. Den benyttede imellem-bevægelse har til formål at tjekke for kollision - den bruges ikke til visualisering.
- Vi bruger **interval aritmetik** (Kapitel 5) til at afgrænse den valgte imellem-bevægelse for et objekt og opnår herved et minimum og maksimum for objektets position imellem to kendte positioner.
- Dette maksimum og minimum på objektets position giver os en afgrænsning af den valgte omringende volume type og vi kan afgøre om de omringende volumener for to objekter rammer hinanden i det givne tidsrum (Kapitel 6.1, 6.2 og 6.3).
- I tilfælde af kolliderende omringende volumener undersøges geometrien i de to kolliderende par af volumener for kollisioner (Kapitel 7).

I et senere afsnit vil metoden blive optimeret.

4 Imellem-bevægelser

4.1 Introduktion

Som beskrevet i Kapitel 1 er den faktiske bevægelse af et givet objekt ikke altid kendt. For at kunne tjekke for kollision kontinuert er vi nødt til at finde bevægelser imellem de kendte positioner af et objekt. Vi kalder disse bevægelser for **imellem-bevægelser**. Til en givet imellem-bevægelse m stiller vi følgende krav

- Bevægelsen skal være kontinuert, dvs. $m \in \mathcal{C}^0$. Man kan stille krav om højere kontinuitetsgrad hvis nødvendigt.
- Det er klart at bevægelsen skal interpolere imellem de to positioner. Den valgte interpolering kan være hvad som helst, f.eks. lineær, polynomiel eller en spline.

- Bevægelsen skal bevare formen af objektet. Vi kan f.eks. ikke have at vores bevægelse bevæger nogle objekt-punkter vha. en lige linje hvis objektet bliver roteret.

Udover disse tre krav kan et program selvfølgelig stille sine egne, afhængigt af de objekter der skal behandles.

Vi viser i Figur 2 et eksempel på en imellem-bevægelse. En firkløvers position



Figur 2: Eksempel på imellem-bevægelse. Røde (hullede) firkløvere er interpolerede positioner, sorte (udfyldte) er kendte positioner.

er kendt til seks tider t_0, \dots, t_5 , disse positioner p_0, \dots, p_5 er markeret ved at firkløveren er tegnet i sort. Positionerne kan f.eks. være et resultat af brugerens interaktion med en mus. Vi ved intet om objektets bevægelse imellem disse seks punkter. For at kunne foretage kollisionsdetektering interpoleres positioner nu imellem de kendte (det er vigtigt at bemærke at disse nye positioner ikke skal visualiseres - de skal kun bruges til kollisionsdetektering).

De nye positioner interpoleres vha. en imellem-bevægelse, i figuren tegnes fire interpolerede positioner imellem hvert par af de kendte, disse er tegnet i rødt. Den benyttede imellem-bevægelse er en **konstant translation og rotation imellem-bevægelse**, den er beskrevet nedenfor i Kapitel 4.2. Vi ser at den overordnede bevægelse bevares ved brug af en imellem-bevægelse, dette skyldes at bevægelsen skal interpolere mellem kendte positioner og ikke må ændre på objektets form.

I [10] angives to bevægelser. Den første er **bevægelse med konstant rotation og translation**. Den anden er **bevægelse med konstant rotation og translation hvor rotation og translation deler samme akse**, dvs. hvor objekter bevæger sig langs akse u og roteres omkring samme akse u .

Det er klart at den sidstnævnte er et specieltilfælde af den første, i [10] introduceres den udelukkende fordi den hurtigere kan evalueres og herved giver bedre køretider. Vi vælger i vores rapport kun at implementere den generelle bevægelse, dette gøres for overskuelighedens skyld og fordi vi som sagt er i stand til at opnå de samme bevægelser med blot den førstnævnte. I vores implementation af metoden beskrevet i denne rapport vil vi forsøge at benytte redskaber i C++ til at gøre det nemt senere at tilføje nye bevægelser, se Kapitel 8.

Man kan overveje om det overhovedet er realistisk at antage at disse imellem-bevægelser vil interpolere i nærheden af den "rigtige" bane imellem to kendte

positioner. Det er korrekt at vi faktisk ikke kan sige noget om hvor godt vores valgte imellem-bevægelse kan gøre dette.

Under antagelse af at objekterne bevæger sig "pænt" (dvs. at de bevæger sig i en bane der kan beskrives vha. simple funktioner) er det dog i de fleste tilfælde muligt at finde en imellem-bevægelse der tilnærmer sig den rigtige bane tilstrækkeligt meget.

4.2 Imellem-bevægelse med konstant rotation og translation

Lad os antage at positioner er givet ved homogene 4x4 matricer på formen

$$\begin{bmatrix} \mathbf{R} & \mathbf{T} \\ \mathbf{0} & 1 \end{bmatrix},$$

hvor \mathbf{R} er en orienteringsmatrice (en 3x3 matrice) og \mathbf{T} er en translationsmatrice (en tre-dimensionel vektor), $\mathbf{0}$ skal læses som tre vertikale nulser.

Vi er givet to tidspunkter t_0 og t_1 . Til disse tidspunkter er tilknyttet en position $p_0 = \begin{bmatrix} \mathbf{R}_0 & \mathbf{T}_0 \\ \mathbf{0} & 1 \end{bmatrix}$ hhv. $p_1 = \begin{bmatrix} \mathbf{R}_1 & \mathbf{T}_1 \\ \mathbf{0} & 1 \end{bmatrix}$.

Den bevægelse vi beskriver her har konstant rotation og konstant translation imellem de to tider t_0 og t_1 . Den skal altså bruges når det antages at objektet bevæger sig med konstant rotation og translation imellem kendte positioner.

Lad $a = T_1 - T_0$ være den *totale translation* i tiden $[t_0, t_1]$, så vil vores objekt være blevet translateret med

$$T(t) = T_0 + ta, \quad (4.2.a)$$

til tiden $t \in [t_0, t_1]$.

Lad ω være den *totale rotation* i tiden $[t_0, t_1]$. Lad $\mathbf{u} = (u_x, u_y, u_z)$ være den tilhørende rotationsakse. ω og \mathbf{u} er givet ved matricen $\mathbf{R}_1 (\mathbf{R}_0)^T$.

Orienteringen til tiden $t \in [t_0, t_1]$ er [10]

$$R(t) = \cos(\omega t)\mathbf{A} + \sin(\omega t)\mathbf{B} + \mathbf{C}, \quad (4.2.b)$$

De tre matricer \mathbf{A}, \mathbf{B} og \mathbf{C} er konstante og kan udregnes første gang imellem-bevægelsen benyttes. De tre matricer er

$$\mathbf{A} = \mathbf{R}_0 - \mathbf{u}\mathbf{u}^T\mathbf{R}_0, \quad (4.2.c)$$

$$\mathbf{B} = \mathbf{u}^*\mathbf{R}_1, \quad (4.2.d)$$

$$\mathbf{C} = \mathbf{u}\mathbf{u}^T\mathbf{R}_0, \quad (4.2.e)$$

\mathbf{u}^* er matricen med egenskaben $\mathbf{u}^*x = ux$ for alle tre-dimensionelle vektorer x , den er givet ved

$$\mathbf{u}^* = \begin{bmatrix} 0 & -u_z & u_y \\ u_z & 0 & -u_x \\ -u_y & u_x & 0 \end{bmatrix}.$$

Disse matricer introduceres i [10], men hvorfor de er defineret som de ses ovenfor er ikke beskrevet i artiklen.

5 Interval aritmetik

5.1 Introduktion

Et redskab vi skal benytte flittigt er intervaller. Intervallerne kan være delmængder af f.eks. \mathbb{N} , \mathbb{R} eller \mathbb{C} , eneste krav til mængden er at den er ordnet (dvs. at relationen $<$ giver mening på mængden).

Vi definerer intervallet $[a, b]$ til at være mængden

$$[a, b] = \{x \in X \mid a \leq x \leq b\}, \quad (5.1.a)$$

dette er selvfølgelig velkendt.

For to intervaller $a = [a_1, a_2], b = [b_1, b_2]$ defineres nu følgende operatorer, samlet set udgør disse vores **interval aritmetik**

$$[a_1, a_2] + [b_1, b_2] = [a_1 + b_1, a_2 + b_2], \quad (5.1.b)$$

$$[a_1, a_2] - [b_1, b_2] = [a_1 - b_2, a_2 - b_1], \quad (5.1.c)$$

$$\begin{aligned} [a_1, a_2] \times [b_1, b_2] &= [\min\{a_1 b_1, a_1 b_2, a_2 b_1, a_2 b_2\}, \\ &\quad \max\{a_1 b_1, a_1 b_2, a_2 b_1, a_2 b_2\}], \end{aligned} \quad (5.1.d)$$

$$1/[a_1, a_2] = [1/a_2, 1/a_1], \quad \text{hvis } a_1 > 0 \text{ eller } a_2 < 0, \quad (5.1.e)$$

$$\begin{aligned} [a_1, a_2] / [b_1, b_2] &= [a_1, a_2] \times (1/[b_1, b_2]), \\ &\quad \text{hvis } b_1 > 0 \text{ eller } b_2 < 0, \end{aligned} \quad (5.1.f) \quad (5.1.g)$$

bemærk at kravet ved division er at intervallet ikke indeholder nul. Mængden af alle intervaller med ovenstående operatorer tilknyttet kalder vi \mathbb{IR} . Vi ser at vi kan indlejre \mathbb{R} i \mathbb{IR} ved at identificere $x \in \mathbb{R}$ med intervallet $[x, x]$. Vi kan desuden lade en n -dimensionel vektor v indeholde interval elementer

$$v = \begin{bmatrix} [i_{11}, i_{12}] \\ [i_{21}, i_{22}] \\ \vdots \\ [i_{n1}, i_{n2}] \end{bmatrix},$$

og vi kalder vektorrummet indeholdende disse vektorer for \mathbb{IR}^n .

5.2 Brug af interval aritmetik til afgrænsning

Vi kan benytte interval aritmetik til at afgrænse en funktion på et interval, dette skal vi udnytte senere i denne rapport. Med afgrænse menes at vi, givet en funktion $u : X \mapsto Y$ og et interval $x \subseteq X$, kan finde et interval $y \in Y$ så $u(x) \subseteq y$. Vi viser her et eksempel for at klargører hvad der menes med dette.

Antag at vi ønsker at afgrænse $u(t) = \sqrt{2} \sin(t) + \cos(t)$ for $t \in [0, \pi/2]$. Hvis vi kan afgrænse de to funktioner sin og cos, vil resten følge af regnereglerne i (5.1.b)-(5.1.f). Det er velkendt at $\sin(t) \in [0, 1]$ og $\cos(t) \in [0, 1]$ for $t \in [0, \pi/2]$, tallet $\sqrt{2}$ kan vi identificerer med intervallet $[\sqrt{2}, \sqrt{2}]$ og vi har

$$u(t) \in [\sqrt{2}, \sqrt{2}] \times [0, 1] + [0, 1].$$

Nu bruger vi først multiplikation af intervaller (5.1.d) og får

$$u(t) \in [0, \sqrt{2}] + [0, 1],$$

og nu addition af intervaller (5.1.b)

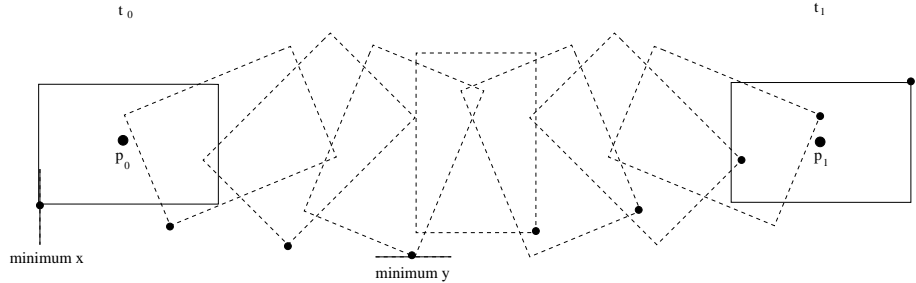
$$u(t) \in [0, 1 + \sqrt{2}].$$

Vi har nu afgrænset u ved $u(t) = \sqrt{2}\sin(t) + \cos(t) \in [0, 1 + \sqrt{2}]$ for $t \in [0, \pi/2]$. Bemærk at afgrænsningen ikke er "tæt", der gælder nemlig $u([0, \pi/2]) = [1, \sqrt{2}] \subset [0, 1 + \sqrt{2}]$. Årsagen er at $\sin(t)$ vokser på $t \in [0, \pi/2]$, mens $\cos(t)$ aftager.

Eftersom vi skal benytte interval aritmetik til at afgrænse vores bevægelse beskrevet i Kapitel 4, skal vi være i stand til at afgrænse analytiske funktioner, som f.eks. sin og cos, resten opnås ved brug af de regneregler vi har defineret i det forrige afsnit.

I de følgende kapitler vil vi gøre flittigt brug af at vi kan afgrænse omringende volumener. Lad os illustrere hvordan dette kan gøres. Dette eksempel benytter positioner af samme form som beskrevet i Kapitel 4.2, dvs. 4x4 homogene matricer.

Antag at vi er givet et tidsrum $[t_0, t_1]$ og en bevægelse m der roterer en boks 180 grader om z -aksen og translaterer 10 enheder langs x -aksen. Se Figur 3 for en illustration af situationen. For at kunne afgrænse vores boks afgrænser vi



Figur 3: En boks roteres 180 grader om z -aksen og translateres samtidigt ti enheder langs x -aksen.

først vores bevægelse m .

Antag at vi har fundet intervallet $I_1 = [l_1, u_1] \in \mathbb{IR}$ vha. interval aritmetik der afgrænser translationen (4.2.a), dvs. at der gælder

$$l_1 \leq T(t) = T_0 + t(T_1 - T_0) \leq u_1,$$

hvor uligheden skal læses koordinativs; l_1 er en tre-dimensionel vektor og uligheden siger f.eks. at den mindste x -værdi translationen påtager sig under tidsrummet $[t_0, t_1]$ er større end eller lig med x -elementet af l_1 . Det samme gør sig gældende for y og z koordinaterne.

Antag på samme måde at $I_2 = [l_2, u_2]$ er et interval der afgrænser rotationen (4.2.b), dvs. at der gælder

$$l_2 \leq R(t) = \cos(\omega t)\mathbf{A} + \sin(\omega t)\mathbf{B} + \mathbf{C} \leq u_2.$$

Dette interval findes ved at begrænse sin og cos samt ved at bruge vores regneargenter for interval aritmetik.

Bemærk her at l_2 og u_2 er 3x3 matricer; en indgang i matricen l_2 indeholder en værdi der er mindre end eller lig med tilsvarende indgang i rotationen givet af m i hele tidsintervallet $[t_0, t_1]$.

Vi indser nu følgende; hvis et punkt i vores boks roteres med l_2 og translateres med l_1 , så er den resulterende vektor den *mindste* (koordinatvis) punktet påtager sig under hele tidsintervallet. På samme måde ser vi at hvis et punkt i vores boks roteres med u_2 og translateres med u_1 , så er den resulterende vektor den *største* (koordinatvis) punktet påtager sig under hele tidsintervallet.

På denne måde kan vi nu afgrænse et vilkårligt punkt i vores boks indenfor et tidsrum, hvordan dette gøres præcist i vores program vil blive klargjort i Kapitel 8. På Figur 3 er de mindste værdier for punktet i nederste venstre hjørne angivet.

6 Kollisionsdetektering imellem omringende volumener

I dette kapitel præsenterer vi tre omringende volumener og hvordan de benyttes i diskret og i kontinuert kollisionsdetektering.

6.1 Omringende kugler

En omringende kugler er som bekendt en kugle K , givet ved et centrum c og en radius r , så der for punkterne V i det omringede objekt gælder

$$\forall v \in V, \|c - v\| \leq r,$$

hvor $\|a - b\|$ er den euklidiske afstand imellem punkterne a og b . Lad os bruge notationen $K(c, r)$ til at angive en kugle K med centrum c og radius r .

I det diskrete tilfælde foretages kollisionsdetekteringen imellem to kugler $K_1(c_1, r_1)$ og $K_2(c_2, r_2)$ ved testen

$$\|c_1 - c_2\| > r_1 + r_2,$$

hvis denne ulighed er sand, er kuglerne adskilt.

Lad os nu udvide denne test til det kontinuerte tilfælde. Antag igen vi er givet to kugler $K_1(c_1, r_1)$ og $K_2(c_2, r_2)$ som omringer objekt O_1 hhv. objekt O_2 . Antag desuden at positionen af O_1 er givet ved imellem-bevægelsen m_1 og positionen af O_2 er givet ved imellem-bevægelsen m_2 . Vores tidsrum er $[t_0, t_1]$.

Vi bemærker først at begge kuglers radius er konstant imellem de to kendte positioner, dette ved vi af de tre krav¹ til vores imellem-bevægelse (at imellem-bevægelsen bevarer objektets form).

Lad os nu kigge på kuglernes centrum. Deres positioner til tiden $t \in [t_0, t_1]$ vil vi kalde $c'_1(t)$ hhv. $c'_2(t)$. $c'_1(t)$ og $c'_2(t)$ er funktioner af $m_1(t)$ hhv. $m_2(t)$.

Antag at vi har afgrænset de to kuglers centrum i tidsrummet $[t_0, t_1]$ vha. interval aritmetik, dvs. vi er givet to intervaller $I_1 = [a, b]$ og $I_2 = [c, d]$ hvorom der gælder

$$\begin{aligned} c'_1(t) &\in I_1 \\ c'_2(t) &\in I_2 \end{aligned}, \quad \text{for alle } t \in [t_0, t_1].$$

Bemærk at dette betyder at $c'_1(t) \geq a$ og $c'_2(t) \leq d$ i vores tidsrum.

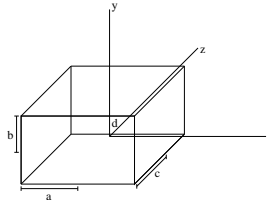
Vi bruger nu interval aritmetik til at udregne intervallet $I = [e, f] = I_1 - I_2 = [a, b] - [c, d] = [a - d, b - c]$, for denne mængde har vi $c'_1(t) - c'_2(t) \in I$ for alle $t \in [t_0, t_1]$. Idet den nedre grænse af I er den mindste afstand imellem de to kugler i hele tidsrummet $[t_0, t_1]$ er K_1 og K_2 adskilt i hele tidsintervallet hvis

$$e > r_1 + r_2,$$

hvis denne ulighed er sand kan K_1 og K_2 ikke kolliderer, hvis uligheden derimod er falsk er der potentielle for en kollision (vi kan ikke vide dette med sikkerhed hvis vores afgrænsninger ikke er tætte).

6.2 Omringende akse-orienterede bokse

Akse-orienterede boks (engelsk forkortet AABB) er en boks givet ved et centrum d og boksens længde a, b, c langs de tre akser. Boksens længde er normalt angivet i afstanden fra boksens centrum til én af dens kanter i den givne akses retning (i modsætning til afstanden fra kant til kant i aksens retning). Boksen skal være orienteret langs de tre akser x, y og z , et eksempel kan ses i Figur 4.



Figur 4: En akse-orienteret boks. d er boksens centrum, a, b og c boksens længde langs de tre akser x, y og z .

Lad os benytte notationen $A(d, a, b, c)$ til at angive en boks A med centrum d samt akse-afstande (i rækkefølgen x, y, z) a, b og c .

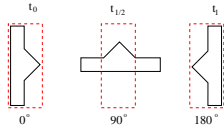
I det traditionelle diskrete tilfælde foretages en “adskillende-akse-test” til at afgøre om to AABBer $A_1(d_1, a_1, b_1, c_1, d_1)$ og $A_2(d_2, a_2, b_2, c_2, d_2)$ rammer

¹Se Kapitel 4.

hinanden [2] [5]. Vi vælger ikke at gennemgå denne test her, da testen er den samme som den der vil blive beskrevet i næste kapitel i forbindelse med OBBer. Testen for AABBer er svagere end for OBBer idet man udnytter at boksen er orienteret langs de tre akser x, y og z . Testen for AABBer er på grund af dette hurtigere end den for OBBer og det er derfor AABBer overhovedet overvejes som omringende volume.

Antag nu at vi er givet et objekt O med positionen P_0 til tiden t_0 og positionen P_1 til tiden t_1 . Antag at vi er givet en boks A som omringer objektet O ved de to positioner P_1 og P_0 . Afhængigt af objektets størrelse kan det tage lang tid at finde en omringende boks A , derfor vil A normalt være blevet udregnet på et tidligere stadie og gemt i en fil.

Vi ser at vi ikke kan vide om A vil omringe objektet O i hele tidsintervallet $[t_0, t_1]$ hvis den valgte imellem-bevægelse m roterer O , dette er vist i Figur 5. Vi kan vælge også at roterer A efterhånden som vi bevæger os fra t_0 til t_1 , men



Figur 5: Den omringende akse-orienterede boks A (tegnet med stippled røde linjer) omringer objektet O til tiderne t_0 og t_1 . Idet vores imellem-bevægelse m roterer O passer boksen dog ikke til tiden $t_{1/2}$.

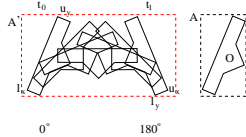
gør vi dette er boksen A ikke længere orienteret med de tre akser x, y og z ; A bliver en OBB.

En anden mulighed er at definere en boks A' så den omringer O under hele tidsintervallet $[t_0, t_1]$. Dette kan gøres på følgende måde:

Det er klart at hvis vi bevæger A med samme bevægelse som O , så vil A til ethvert tidspunkt omringe O , idet m bevarer form af O og A . Hvis vi benytter interval aritmetik til at afgrænse m kan vi afgrænse A , idet A jo blev flyttet vha. m . At vi har afgrænset A vil sige at vi har fundet de mindste og maksimale $x-, y-$ og $z-$ værdier alle hjørner af A påtager sig under tidsintervallet $[t_0, t_1]$. Lad l_x, l_y og l_z være den mindste $x-, y-$ og $z-$ værdi hjørnerne af A påtager sig under tidsrummet. u_x, u_y og u_z defineres på samme måde til de maksimale værdier der antages. Se Figur 6 for et eksempel. I figuren er objektet O og dets omringende AABB A tegnet til højre. l_z og u_z er undladt da eksemplet foregår i x/y planet. Når først A' er fundet kan denne omringende volume benyttes til at teste for kollision i hele tidsintervallet $[t_0, t_1]$: hvis A' ikke kolliderer med en anden AABB så kan den underliggende geometri heller ikke kolidere.

Det er klart at den nye boks A' på ingen måde er en optimal (dvs. mindste) omringede boks for O ². Er tidsintervallet tilstrækkeligt lille vil det dog, afhæn-

² A' kan selvfølgelig også dannes ved at afgrænse O og derved finde minimum og maksimum for punkter i O i tidsintervallet $[t_0, t_1]$. Dette kan dog tage væsentligt længere tid end at gøre det tilsvarende på A idet O kan indeholde vilkårligt mange punkter.

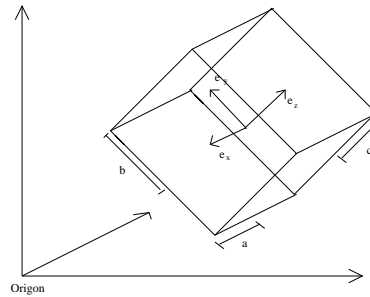


Figur 6: Objektet O er blevet afgrænset i tidsintervallet $[t_0, t_1]$ og A' er herefter defineret som den mindste boks der indeholder O i hele tidsintervallet $[t_0, t_1]$. A' er tegnet i rødt med stiplede linjer.

gigt af objektet og bevægelsen, være muligt at A' passer tilstrækkeligt godt nok til at AABBer kan bruges effektivt i det kontinuerte tilfælde.

6.3 Orienterede omringende bokse

Vi beskriver nu orienterede omringende bokse (engelsk forkortet OBB). OBBer er defineret på samme måde som AABBer, blot behøver OBBer ikke at være orienteret langs x -, y - og z -aksen. Lad os bruge notationen $O(d, \mathbf{e}, a, b, c)$ til at beskrive boksen O med centrum d og orientering $\mathbf{e} = (e_1, e_2, e_3) \in \mathbb{R}^3 \times \mathbb{R}^3 \times \mathbb{R}^3$. a , b og c er boksens halve længde langs akserne e_1 , e_2 og e_3 , se Figur 7 for et eksempel.



Figur 7: Orienteret omringende boks O .

I [4] beskrives den ‘‘adskillende-akse-test’’ til at teste om to OBBer

$$\begin{aligned} O_1(d_1, \mathbf{e}, a_1, a_2, a_3) \\ O_2(d_2, \mathbf{f}, b_1, b_2, b_3) \end{aligned}$$

rammer hinanden, fremgangsmåden er som følger.

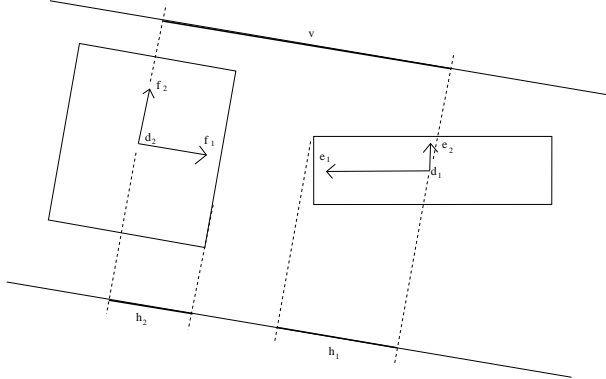
For alle akser h i mængden

$$\{e_i, f_j, e_i \% f_j \mid 1 \leq i \leq 3, 1 \leq j \leq 3\},$$

hvor $\%$ er krydsproduktet og \cdot prik-produktet, undersøges uligheden

$$|h \cdot (d_1 - d_2)| > \sum_{i=1}^3 a_i |a \cdot e_i| + \sum_{i=1}^3 b_i |a \cdot f_i|. \quad (6.3.a)$$

Vi ser at venstre side af (6.3.a) er afstanden imellem de to OBBers centrum, projekteret ned på aksen h . Højre side er den projekterede afstand af boksenes sider (den halve længde af siderne) ned på samme akse h , et eksempel i x/y -planet kan ses i Figur 8. I figuren er v venstre side af (6.3.a), dvs. afstanden



Figur 8: “Adskillende-akse test” imellem OBBerne O_1 og O_2 .

$|h \cdot (d_1 - d_2)|$. De to variable h_1 og h_2 er afstandene $\sum_{i=1}^3 a_i |a \cdot e_i|$ og $\sum_{i=1}^3 b_i |a \cdot f_i|$. Aksen der testes imod er f_1 , den adskiller de to OBBer.

Der gælder følgende [4]; O_1 og O_2 rammer hinanden hvis samtlige 15 akser ikke adskiller O_1 og O_2 , altså når uligheden (6.3.a) er falsk i alle 15 tilfælde. Hvis minimum én ulighed viser sig at være sand når de 15 akser undersøges, så kolliderer O_1 og O_2 derimod ikke. Det er altså ikke nødvendigt at tjekke flere akser hvis først en akse er fundet hvor uligheden er sand. Lad os nu udvide denne test til det kontinuerte tilfælde.

Vi kan vha. interval aritmetik afgrænse alle indgående variable i tidsrummet $[t_0, t_1]$: Først ved at afgrænse de givne imellem-bevægelser m_1 og m_2 og hen næst de to OBBer O_1 og O_2 . Når først positionerne af O_1 og O_2 er afgrænset er det trivielt at afgrænse OBBernes parameter (orienteringen af dem osv., dette beskrives mere udførligt i Kapitel 8). Vha. regnereglerne i Kapitel 5 kan vi, for en given akse $h \in \{e_i, f_j, e_i \% f_j \mid 1 \leq i \leq 3, 1 \leq j \leq 3\}$, nu omskrive (6.3.a) til at være to intervaller I_1 og I_2 hvor I_1 er afgrænsningen af venstre side og I_2 afgrænsningen af højre side af (6.3.a).

Vi har nu uligheden

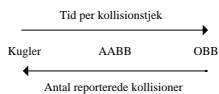
$$I_1 > I_2,$$

det er klart at hvis den nedre grænse af I_1 er større end den øvre grænse af I_2 , så adskiller h de to OBBer i hele tidsrummet $[t_0, t_1]$, idet uligheden altid

må være sand. Hvis dette er tilfældet kan vi konkluderer at de to OBBer ikke kolliderer i tidsrummet $[t_0, t_1]$.

6.4 Valg af omringende volume i vores implementation

Generelt gælder følgende for de tre gennemgåede volumener; kugler reporterer flest kollisioner idet de har den største volume i forhold til objektet, samtidigt er kugler dog de hurtigste at teste for kollisioner. For OBBer er det omvendt; OBBer passer generelt bedst omkring objektet men testen for kollision imellem OBBer er samtidigt den mest komplekse, situationen er afbildet i Figur 9. Som vi har set er AABBer ikke praktiske i det kontinuerte tilfælde; hvis be-



Figur 9: De tre omringende volumener vi har gennemgået.

vægelsen der skal interpolere imellem kendte positioner benytter sig af rotation, så vil de tilhørende AABBer ikke altid være orienteret langs koordinatsystemets tre akser.

Vi så at den kontinuerte test for kugler er meget lig den velkendte diskrete, denne test er let at implementere grundet dens simplicitet.

Testen for OBBer er også meget lig den tilsvarende diskrete test; forskellen er blot at de indgående variable er funktioner af tid og afgrænses over det givne tidsinterval hvorfed intervalle opnås.

Vi vælger i vores implementation at bruge OBBer. Vi skal i Kapitel 9 også benytte os af kugler.

6.5 Træer af omringende volumener

Som beskrevet i [5] er træstrukturer en effektiv metode til at teste for kollision.

Et træ af OBB-volumer opbygges ved at rod'en af træet indeholder en omringede volume der omringer hele det givne objekt. Afhængigt af antallet n af børn af rod'en dannes n omringede volumener der tilsammen omringer hele objektet. De n volumener vil normalt (det afhænger af den valgte opslitningsmetode, se nedenfor) hver have et volume ca. lig N/n hvor N er volumen af det omringede volume i rod'en af træet. For hver af rodens børn foretages denne opdeling igen, de nye omringede volumener har et volume ca. lig N/n^2 hver (igen afhængigt af metoden der bruges til at splitte det givne volume). Samlet set omringer volumener den geometri deres far omringer. Opbygningen af træet stopper når de nederste volumener alle indeholder et prædefineret antal af geometri-elementer, f.eks. hvis alle blade hver indeholder maks to trekantede.

Lad os antage at vi er givet to objekter og tilhørende træer af omringende volumener. Hvis de to rødder viser sig ikke at kolliderer så kan de to underliggende objekter heller ikke kolliderer og testen er færdig.

Hvis de to rødder kolliderer vælges et træ ud og børnene af dette træs rod testes nu for kollision imod det andet træs rod. Udvælgelsen af et træ kan f.eks. ske ved at vælge at opsplitte træet hvor roden har den største volume.

Opdelingen fortsættes indtil der ikke er flere kolliderende volumener. Hvis to blade viser sig at ramme hinanden under testen, så tjekkes den underliggende geometri i de to volumener mod hinanden, evt. kollisioner lagres og kan senere behandles. Vi viser nedenfor pseudokode for denne test

```

Q er en kø
A<-rod af træ1
B<-rod af træ2

if (A og B kolliderer) {
    if (volume af A > volume af B) {
        Lad n_0,...,n_k være alle børn af A
        Tilføj tupler (n_i, B) til Q for 0<=i<=k
    } else {
        Lad n_0,...,n_k være alle børn af B
        Tilføj tupler (A, n_i) til Q for 0<=i<=k
    }
}

mens (Q ikke tom) {
    (A,B)<-forreste element af Q
    Fjern forreste element af Q

    if (A og B ikke kolliderer) continue

    if (A og B er blade) {
        Tjek geometri i A og B
        Reporter evt. kollisioner
    } else {
        if (A ikke blad og volume af A > volume af B) {
            Lad n_0,...,n_k være alle børn af A
            Tilføj tupler (n_i, B) til Q for 0<=i<=k
        } else {
            Lad n_0,...,n_k være alle børn af B
            Tilføj tupler (A, n_i) til Q for 0<=i<=k
        }
    }
}
}

```

Algoritmen kan uden ændring overføres til det kontinuerte tilfælde. Vi tilføjer dog en tid t til alle reporterede kollisioner. Når træet er gennemløbet slettes alle kollisioner der har større kollisionstid end den tidligste fundet: vi er kun interreseret i hvornår objekterne første gang rammer hinanden.

Vi diskuterer i Kapitel 9 hvordan vi kan optimere algoritmen i det kontinuerte tilfælde.

7 Kollisionsdetektering imellem geometrier

I dette afsnit beskriver vi hvordan vi kan tjekke for kollision imellem geometrier kontinuert. Der er seks (af symmetriske grunde) måder to geometrier kan kolliderer på [7], disse navngives ofte via. forkortelserne V for vertex (punkt), F for face (flade) og E for edge (kant). De seks typer er

$$(V, V), (V, E), (V, F), (E, E), (E, F), (F, F),$$

hvor et par (i, j) skal læses som en kollision imellem et element af typen i og et element af typen j .

Lad nu et tidsinterval $[t_0, t_1]$ være givet. Lad desuden to objekter O_1 og O_2 være givet. Hvis vi til at starte med antager at objekterne er fuldstændigt fraskilt til tiden t_0 og evt. senere kolliderer (grundet deres bevægelser) kan vi indskrænke disse seks tilfælde til to

$$(E, E), (V, F). \quad (7.0.a)$$

Lad os argumenterer for hvorfor dette er tilfældet ved at forklare hvordan de resterende fire ikke kan forekomme uden en af de to i (7.0.a) enten samtidigt forekommer, eller er forekommeth tidligere.

- (V, V) er to punkter der rammer hinanden. Idet disse to punkter har tilhørende kanter i hver sit objekt vil minimum to kanter også ramme hinanden, dvs. at denne kollisionstype er inkluderet i typen (E, E) .
- (V, E) Knuden V der rammer kanten E har som ovenfor tilhørende kanter og derfor er dette tilfælde inkluderet i typen (E, E) .
- (E, F) Hvis kanten E i objektet O_1 rammer fladen F af objektet O_2 må en af følgende være sandt: a) Ét punkt af E er udenfor O_2 , det andet er indenfor O_2 . b) Ét eller begge punkter af E ligger på fladen F .

I tilfælde a) argumenterer vi som følger. Idet vi ovenfor antog at objekterne til at starte med var adskilt må det punkt der nu ligger indenfor O_2 havde passeret igennem fladen F , derfor er der tidligere forekommeth en kollision af typen (V, F) . Idet vi tester for denne kollisionstype vil kollisionen derfor blive fanget før kollisionstypen (E, F) overhovedet kan forekomme.

I tilfælde b) argumenterer vi som følger. Hvis én eller begge punkter af E rammer fladen F , så er der også kollisioner af typen (V, F) og kollisionen fanges herved.

- (F, F) Begge flader er givet ved deres hjørnepunkter og deres kanter. Hvis de to flader rammer må der enten være en kollision af typen (E, E) eller en kollision af typen (V, F) .

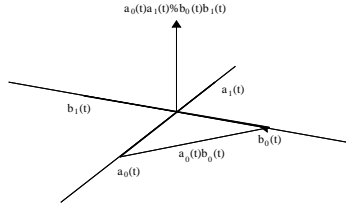
Bemærk at vi skal tjekke tre ting når vi tjekker for kollision imellem de to objekter O_1 og O_2 ; de to kollisionstyper i (7.0.a) giver nemlig følgende tre muligheder

- En kant i O_1 rammer en kant i O_2 (dette er (E, E)).
- Et punkt i O_1 rammer en flade af O_2 (dette er (V, F)).
- En flade af O_1 rammer et punkt i O_2 (dette er også (V, F)).

Vi antog til at starte med at objekterne var fuldstændigt adskilt til at starte med. For at fange kollisioner hvor objekterne kolliderer allerede til tiden t_0 kan vi til denne tid foretage en test hvor vi tjekker for alle seks mulige kollisionstyper, dvs. en traditionel diskret test. Lad os nu vise hvordan vi kan tjekke for kollisionstyperne i (7.0.a), vi starter med (E, E) .

7.1 Test for kollision imellem kanter

Antag at vi er givet to kanter a og b . Antag at a er kanten fra a_0 til a_1 og b er kanten fra b_0 til b_1 . Idet vi skal foretage en kontinuert test er vi nødt til at teste for kollision over et tidsrum, lad derfor alle disse fire hjørnepunkter være en funktion af tiden (deres position er en funktion af tiden og er givet ved den valgte imellem-bevægelse). Lad os skrive linen a , som funktion af tiden $t \in [t_0, t_1]$, ved $a_0(t)a_1(t)$, lad os på samme måde skrive b ved $b_0(t)b_1(t)$. Vi indser at hvis a og b kolliderer så kolliderer de to linjer indeholdene linjestykkerne a hhv. b også, dette er illustreret i Figur 10. Lad os derfor starte med at afgøre



Figur 10: De to kanter $a_0(t)a_1(t)$ og $b_0(t)b_1(t)$ samt de tilhørende linjer.

om de to linjer indeholdende a hhv. b kolliderer. Dette gør vi ved testen (hvor % er krydsproduktet og · prik-produktet)

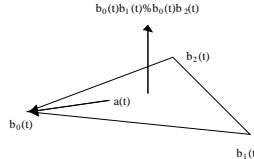
$$a_0(t)b_0(t) \cdot (a_0(t)a_1(t)\%b_0(t)b_1(t)) = 0.$$

Ligningen ovenfor er lig nul når vektoren $a_0(t)b_0(t)$ (læs vektoren fra $a_0(t)$ til $b_0(t)$) ligger i det plan de to kanter a og b tilsammen giver. Hvis vi finder at de to linjer kolliderer første gang til tiden t (vi viser senere i dette kapitel hvordan dette tidspunkt t findes), så kan vi foretage en alm. diskret kant/kant test [1] og afgøre om de to kanter rammer hinanden.

7.2 Test for kollision imellem flade og punkt

Bemærk at denne test skal benyttes i tilfældet (V, F) og i tilfældet (F, V) , testen er den samme i begge tilfælde grundet symmetri.

Lad punktet a og fladen b være givet. Antag at b er angivet ved de tre hjørner b_0, b_1 og b_2 . Som ovenfor er vi nødt til at lade disse fire punkter være funktioner af tiden, vi skriver dette ved $a(t), b_0(t), b_1(t)$ og $b_2(t)$, se Figur 11 for opstillingen. Vi starter med at afgøre om punktet $a(t)$ ligger i det plan som



Figur 11: Punktet $a(t)$ og fladen givet ved $b_0(t), b_1(t)$ og $b_2(t)$.

er givet ved fladen b . Dette gøres ved testen

$$a(t)b_0(t) \cdot (b_0(t)b_1(t)\%b_0(t)b_2(t)) = 0,$$

ligningen ovenfor er nul når vektoren $a(t)b_0(t)$ (læs vektoren fra $a(t)$ til $b_0(t)$) ligger i planet givet ved normalen $b_0(t)b_1(t)\%b_0(t)b_2(t)$. Når vektoren $a(t)b_0(t)$ til tiden t (vi viser senere i dette kapitel hvordan dette tidspunkt t findes) ligger i dette plan kan vi bruge en traditionel diskret test (feks. vha. barycentriske koordinater) og afgøre om $a(t)$ ligger i fladen b .

7.3 Brug af interval aritmetik til at finde tidligst kollisionstid

I de to foregående kapitler har vi fundet følgende to ligninger

$$\begin{aligned} a_0(t)b_0(t) \cdot (a_0(t)a_1(t)\%b_0(t)b_1(t)) &= 0, \\ a(t)b_0(t) \cdot (b_0(t)b_1(t)\%b_0(t)b_2(t)) &= 0. \end{aligned}$$

Vi så at når en af disse ligninger er opfyldt, så er der potentielle for en kollision imellem den tilhørende geometri. Lad os nu beskrive hvordan vi kan finde en tid t der opfylder en af disse ligninger.

Lad os uden tab af generalitet først antage at $t \in [0, 1]$. Vi bemærker at begge ligninger er på formen

$$f(t) = 0, \quad t \in [0, 1]. \tag{7.3.b}$$

Vores ønske er at finde den mindste værdi af t så (7.3.b) er opfyldt. Vi ønsker at finde den mindste værdi fordi det er her den første kollision potentielle kollision forekommer.

Vi kan vha. interval aritmetik afgrænse $f(t)$ for $t \in [0, 1]$ - under antagelse af at de indgående udtryk i f er en kombination af operatorene i Kapitel 5 og funktioner hvor afgrænsning er kendt på forhånd (dvs. f.eks. sin og cos). Hvis intervallet der afgrænser f ikke indeholder nul (dvs. at de to grænseværdier har samme fortegn) kan f ikke antage nul for $t \in [0, 1]$.

Hvis intervallet derimod indeholder nul er det muligt at f antager værdien nul for et passende t . Vi kan ikke med sikkerhed vide om f antager værdien nul; hvis afgrænsningen ikke er tæt eller hvis funktionen ikke er kontinuert (alle funktioner vi benytter vil dog være kontinuerte) kan denne situation forekomme. I tilfælde af at intervallet indeholder nul gør vi som følger; tidsintervallet $[0, 1]$ deles i to lige store delintervaller $I_1 = [0, 1/2]$ og $I_2 = [1/2, 1]$. Herefter undersøges det om $f(t)$, afgrænset for $t \in I_1$ indeholder nul (vi tjekker $[0, 1/2]$ først idet vi ønsker det tidligst mulige nulpunkt for f), hvis f ikke kan antage nul på I_1 tjekkes $f(t)$ for $t \in I_2$.

Denne proces kan gentages til en vilkårlig fin inddeling af tidsintervallet $[0, 1]$, når opdelingen er blevet tilstrækkelig fin og f har potentielle for et nulpunkt på et interval $[a, b]$ kan vi bruge den tilsvarende diskrete test til at tjekke om den underliggende geometri kolliderer til tiden a . Bemærk at denne test skal benytte sig af en vis fejltolerance grundet afrunding og hvor fint tidsintervallet bliver delt op. Hvis geometrien viser sig at kolliderer har vi fundet en kollision og testen er slut. Hvis geometrien derimod ikke kolliderer foresætter vi med vores test for nulpunkter af f i næste delinterval.

Bemærk at vi tester for kollision til tiden a , der er her en vigtig pointe: Grundet den måde vi har gennemløbet det oprindelige tidsinterval $[0, 1]$ (ved altid at tjekke det "lave" interval først) kan *ingen* på, kan ingen kollisioner forekomme før tiden a . Dette medfører at vi kan garantere at de to objekter ikke har penetreret hinanden til tiden a : hvis dette var tilfældet ville der havde været kollisioner før tiden a og disse skulle så være blevet fanget da tidlige intervaller blev tjekket.

Vi bemærker desuden at vi, med tilpas store fejltolerancer, kan finde en kollision til tiden a når kollisionen i virkeligheden forekommer for en værdi $a < x \leq b$. Vi kalder derfor a en konservativ kollisionstid.

8 Programmeringsovervejelser

Vores implementation af den gennemgåede metode vil blive skrevet i C++. Vi vil bruge OpenTissue [8] som en basis for vores løsning; f.eks. vil OpenTissue stille matrix- og vektor-klasser til rådighed, OpenTissue vil også gøre det nemt at hente objekter fra filer til at teste med.

Lad os starte med at overveje hvordan vi vil implementere vores imellembevægelse.

8.1 Imellem-bevægelser

Lad os først overveje hvilke krav vi stiller til vores implementation af disse imellem-bevægelser.

1) Vi ønsker nemt at kunne tilføje nye bevægelser senere. F.eks. kan det være relevant at tilføje en ny bevægelse fordi den er hurtigere f.eks. at afgrænse eller evaluere, dette vil typisk være fordi bevægelsen ikke er så generel som den vi implementerer.

2) Idet de nye bevægelser kan benytte meget forskelligt til at interpolere positioner er det ikke nemt at skrive kode til at afgrænse disse bevægelser generelt. Vi ønsker derfor at nye bevægelser selv skal tilbyde kode til at foretage disse afgrænsninger.

Det første krav kan opfyldes ved at bruge virtuelle funktioner i C++. Vi laver en klasse `arbitrary_motion` som er et skelet for en bevægelse (svarer til et interface i Java). I vores implementation benyttes udelukkende de funktioner der er angivet i denne basis klasse. Hvis nye bevægelser skal tilføjes skal de blot nedarve vores klasse og tilbyde de virtuelle funktioner klassen har defineret.

Krav nummer to er også opfyldt ved at bruge denne basis klasse. Vi angiver blot i denne klasse at der skal være funktioner til at afgrænse bevægelsen til rådighed. Klassen `arbitrary_motion` kan ses i denne rapports Bilag C.

8.2 Interval aritmetik

Vi vælger at benytte boost-bibliotekets implementation af intervaller (se dog Kapitel 9). Et interval med reelle endepunkter angives ved

```
typedef boost::numeric::interval<double> interval_type;
```

Eftersom OpenTissues vektor- og matrix-klasse bruger templates kan vi nemt definerer vektorer og matricer hvor de grundlæggende elementer er intervaller, dette er blot at skrive

```
typedef OpenTissue::vector<interval_type>    vector_type;
typedef OpenTissue::matrix3x3<interval_type> matrix_type;
```

Vores vektortype er nu en tredimensionel vektor hvor hver indgang er et interval med endepunkter af typen `double`. På samme måde indeholder vores matricer elementer af typen intervaller med endepunkter af typen `double`. Idet vi benytter klasserne i OpenTissue kan vi allerede nu f.eks. multiplicere vektorer indeholdende intervaller; der skal ikke kodes specifikke funktioner for at opnå dette.

Lad os nu vise hvor let det er f.eks. at afgrænse de indgående variable i den "adskillende-akse-test" beskrevet tidligere.

Antag vi er givet et tidsrum $[t_0, t_1]$ Antag endvidere vi er givet to OBBer $O_1(d_1, \mathbf{e}, a_1, b_1, c_1)$ og $O_2(d_2, \mathbf{f}, a_2, b_2, c_2)$ som skal undersøges for kollision indenfor tiden $[t_0, t_1]$, antag at bevægelserne af O_1 og O_2 er givet ved de to bevægelser m_1 og m_2 .

Vi benytter først at de to klasser m_1 og m_2 tilbyder funktioner der afgrænsner bevægelsen indenfor et givent tidsinterval, her $[t_0, t_1]$.

Lad R_0 være en matrice af typen `matrix_type` der afgrænsrer m_1 's rotation af O_1 i tidsintervallet $[t_0, t_1]$. Lad T_0 være en vektor af typen `vector_type` der afgrænsrer m_1 's translation af O_1 i tidsintervallet $[t_0, t_1]$. Lad R_1 og T_1 være defineret som ovenfor, blot for OBB O_2 .

Vi kan nu nemt afgrænse vores to OBBer: afgrænsningen af de to centrum d_1 og d_2 er givet ved

```
vector_type boundD1 = R_0 * (vector_type)(d_1) + T_0;
vector_type boundD2 = R_0 * (vector_type)(d_2) + T_1;
```

hvor `(vector_type)(d_1)` er vektoren $([d_{1x}, d_{1x}], [d_{1y}, d_{1y}], [d_{1z}, d_{1z}])^T$, tilsvarende for `(vector_type)(d_2)`.

Akserne i e hhv. f afgrænses på samme måde, blot skal der her ikke translateres med T_0 hhv. T_1 idet akserne er vektorer givet ved de to centrum.

Lad os desuden vises hvordan vi kan foretage den “adskillende-akse-test” for en akse h under antagelse af at samtlige indgående variable nu er blevet afgrænset. Vi benytter følgende terminologi. `boundH` er den afgrænsede akse h . `boundEi` er den afgrænsede akse e_i , tilsvarende er `boundFi` den afgrænsede akse f_i . Højre side af (6.3.a) kan afgrænses ved

```
double lower_limit_left =
    (boundH * (boundD2 - boundD1)).get_abs_lower();
```

hvor `*` er prik-produktet som defineret i OpenTissue og `get_abs_lower()` returnerer den nedre grænse af den absolute værdi af det givne interval. Venstre side af (6.3.a) kan afgrænses ved

```
double upper_limit_right =
    a_1 * (boundH * boundE1).get_abs_upper() +
    b_1 * (boundH * boundE2).get_abs_upper() +
    c_1 * (boundH * boundE3).get_abs_upper() +
    a_2 * (boundH * boundF1).get_abs_upper() +
    b_2 * (boundH * boundF2).get_abs_upper() +
    c_2 * (boundH * boundF3).get_abs_upper();
```

hvor `get_abs_upper()` returnerer den øvre grænse af den absolute værdi at det givne interval. Som beskrevet i Kapitel 6.3, så er h en adskillende akse i hele tidsintervallet $[t_0, t_1]$ når `lower_limit_left` er større end `upper_limit_right`. Vi skal i Kapitel 9 optimere på denne kontinuerte test.

Vi har nu vist hvor let det er at benytte interval aritmetik. Dette skyldes i høj grad den generalitet OpenTissue tilbyder i form af templates.

9 Optimeringer

Vi har i forbindelse med dette projekt brugt meget tid på at optimere vores implementation. Vi beskriver nedenfor nogle af de optimeringer vi har imple-

menteret, samt nogle der ikke blev implementeret grundet tidsmangel. Vi har i forbindelse med vores optimering draget meget nytte af artiklerne [9] og [11].

9.1 Optimeringer af test for kollision imellem to OBBer

Vi minder om at vores kollisionstest er som følger (vi skriver her den diskrete version). For alle akser h i mængden

$$\{e_i, f_j, e_i \leq f_j \mid 1 \leq i \leq 3, 1 \leq j \leq 3\},$$

undersøges uligheden

$$|h \cdot (d_1 - d_2)| > \sum_{i=1}^3 a_i |a \cdot e_i| + \sum_{i=1}^3 b_i |a \cdot f_i|.$$

Vi ser at når $h = e_1$ så udregnes værdierne $a_1|e_1 \cdot e_1| = a_1$ samt $a_2|e_1 \cdot e_2| = a_3|e_1 \cdot e_3| = 0$. Disse udregninger kan i vores implementation udelades når vi benytter disse identiteter. Vi kan gøre dette for alle akser e_i og f_i for $1 \leq i \leq 3$.

Som det ses i Kapitel 6 er testen imellem omringende kugler væsentlig simpelere og hurtigere end testen imellem omringende OBBer. Vi vælger derfor at knytte både en OBB og en kugle til vores objekter: Først tester vi for kollision imellem kugler og kun imellem de tilsvarende OBBer hvis kuglerne kolliderer.

9.2 Optimeringer af gennemløbning af træ af omringende volumener

- Antag at vi leder efter kollisioner i tidsintervallet $[t_0, t_1]$ og at vi i vores gennemløb af to givne OBB-træer har fundet en kollision af geometri til tiden t . Det er klart at vi ønsker at finde den tidligst mulige kollision imellem geometri, derfor er kollisioner efter tiden t ikke relevante. Fremtidige test imellem både omringende volumener og geometri kan derfor optimeres ved kun at teste tidsintervallet $[t_0, t]$.
- Denne optimering er mulig fordi vi som ovenfor kan se bort fra kollisioner der sker efter den nuværende tidligste fundet kollisionstid t . Optimeringen er som følger: Antag at vi i vores gennemløbning af vores OBB-træ er givet to kolliderende OBBer A og B . Antag at A skal splittes idet den har større volume end B . Vi vælger her at tilføje det barn a_i af A hvis centrum er nærmest centrummet af B forrest i vores kø Q (jf. tidlige pseudokode). Vi gør dette fordi a_i har størst mulighed for også at kolidere med B . Dette betyder at vi sandsynligvis hurtigt vil kunne finde et tidspunkt hvor geometri kolliderer og herved få indskrænket det tidsinterval vi skal undersøge.
- Da vores kode under opsplitning af A tilføjer børnene a_i én efter én vælger vi at sortere listen efter afstand fra det pågældende barn til B . Dette kræver ikke meget ekstra tid idet vi kan indsætte de nye tubler (a_i, B) i

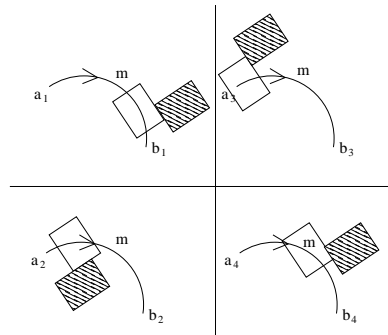
konstant tid. Denne sortering er blot en viderudvikling af optimeringen ovenfor.

- Antag at vi søger kollisioner i tidsrummet $[t_0, t_1]$. Antag at to OBBer A og B kolliderer til tid t . Det følger umiddelbart at hvis geometrien i A og B skal kollidere skal dette ske efter tid t , dette skyldes at geometrien er omringet af enten A eller B . Når vi tester for kollision imellem geometri eller omringende volumener senere *i samme gren som A hhv. B* kan vi derfor indskrænke os til intervallet $[t, t_1]$. Med samme gren menes at der skal være tale om børn af A og B , den nedre grænse er unik per sæt (A, B) af omringende volumener: for to andre OBBer A' og B' kan vi ikke vide om geometrien kolliderer før t .

9.3 Optimeringer af imellem-bevægelser

- Afgrænsning af imellem-bevægelser sker tit i vores program: Hver gang to omringende bokse eller to geometrier skal tjekkes for kollision i tidsrummet $[t_0, t_1]$, så skal de tilsvarende bevægelser afgrænses i samme tidsrum. I forbindelse med træer af OBBer kan der forekomme mange tusinder af sådanne tests, og derfor mange tusinde afgrænsninger.

Generelt kan vi ikke vide noget om de tidsintervaller der testes imod, dvs. vi kan ikke vide hvor store de er og hvor de to endepunkter ligger. Antag f.eks. at den samme bevægelse m bruges til at interpolere positionen af en boks O_1 imellem fire sæt af kendte punkter $(a_i, b_i), 1 \leq i \leq 4$ i tidsrummet $[t_0, t_1]$. Som det ses nedenfor i Figur 12 kan evt. kollisioner imellem O_1 og en anden boks O_2 i de fire tilfælde ske på vidt forskellige tidspunkter. På figuren rammer de to bokse O_1 og O_2 hinanden på fire



Figur 12: Den samme bevægelse m bruges til at interpolere imellem fire kendte sæt af positioner, (a_i, b_i) . Bevægelsen af den hvide boks O_1 interpoleres vha. m , positionen af den skraverede boks O_2 interpoleres af en anden bevægelse (som ikke behøver at være den samme for alle fire tilfælde).

forskellige tidspunkter $t_i, 1 \leq i \leq 4$. Grundet optimeringen ovenfor vil test

for kollisioner af børn af O_1 og O_2 ske i tidsrummene $[t_i, t_1], 1 \leq i \leq 4$. Disse fire intervaller har intet tilfældes uover det ene endepunkt.

Det er altså ikke muligt én gang for alle at udregne samtlige afgrænsninger der skal bruges i hele det pågældende programs levetid.

Lad os nu optimere dette så vi kan nøjes med en mængde afgrænsninger der kan udregnes én gang og herefter genbruges. Optimeringen går ud på at opdele det givne tidsinterval i et forudbestemt antal mindre intervaller og kun benytte disse til at afgrænse med.

Vi lader et tal n angive hvor fint vi vil inddеле vores tidsinterval som vi uden tab af generalitet vil være $[0, 1]$.

Nu opdeler vi vores interval $[0, 1]$ i 2^n lige store dele af formen

$$[i/2^n, (i + 1)/2^n], \quad 0 \leq i \leq 2^n - 1.$$

For hver af disse intervaller afgrænses m , dette sker én gang. Bemærk at vi ikke afgrænsner for mindre eller større intervaller.

Lad os nu antage at vi skal teste for kollision imellem O_1 og O_2 i et givent interval $[t_0, t_1]$. Lad positionen af O_1 være givet ved m_1 og positionen af O_2 være givet ved m_2 . Vi finder i_0 så $t_0 \in [i_0/2^n, (i_0 + 1)/2^n]$. På samme måde lader vi $i_1 \geq i_0$ være det indeks hvor $t_1 \in [i_1/2^n, (i_1 + 1)/2^n]$.

For at teste imellem kollision lader vi nu i løbe fra i_0 til i_1 . For alle intervaller $[i/2^n, (i + 1)/2^n]$ har vi tidligere udregnet afgrænsningen af m_1 og vi benytter denne til at afgrænse O_1 . Tilsvarende kan vi benytte den tidligere afgrænsning af m_2 til at afgrænse O_2 . Nu kan vi teste for kollision imellem O_1 og O_2 i vores tidsintervaller $[i/2^n, (i + 1)/2^n], i_0 \leq i \leq i_1$.

Det er klart at vores intervaller ikke altid passer præcist til t_0 og t_1 , f.eks. hvis $t_1 - t_0 = 1/4^n$. Vores metode kan derfor medføre flere kollisioner (idet vi tester over større tidsintervaller) end hvis man brugte de korrekte tidsintervaller. I vores implementation har optimeringen dog alligevel hjulpet på udførelstiden.

Vi bemærker at vi kun kan teste for kollisioner i tidsintervaller af længde $1/2^n$. Antag f.eks. to OBBer slet ikke rammer hinanden i tidsintervallet $[0, 1]$, her ville man hurtigt kunne sortere de to OBBer fra ved først at teste *hele* intervallet $[0, 1]$. Vi er med vores optimering nødt til at teste samtlige 2^n intervaller. Afhængigt af det overordnede tidsintervals størrelse og de indgående objekter og imellem-bevægelse har det for os været muligt at finde passende n så optimeringen overordnet set har hjulpet på hastigheden af vores implementation.

- I denne rapport og [10] benyttes matricer i imellem-bevægelser. Vi ser i den forrige optimering at afgrænsningerne af vores imellem-bevægelser kun skal udregnes én gang. Det er derfor ikke relevant hvor hurtigt vi er i stand til at afgrænse. Derfor kan vi vælge en vilkårlig teknik til at interpolere vores positioner, deres tidskompleksitet kan ignoreres under

forudsætning af at det er tilladt at programmet har længere opstartstid end ved matricer.

Vi vælger at bruge quaternioner istedet for matricer til at interpolere orienteringer af objekter. Quaternioner er pladsmæssigt mindre end matricer (en afgrænset matrix er i vores program $3 \cdot 3 \cdot 2 = 18$ doubles hvorimod en afgrænset quaternion er $4 \cdot 2 = 8$ doubles). Den største grund til at vi vælger at bruge quaternioner er dog fordi de nemt kan bruges til at interpolere imellem to kendte orienteringer: Antag at vi givet to orienteringer q_1 og q_2 hvor vi ønsker at interpolere fra q_1 til q_2 over tidsintervallet $[0, 1]$. Dette kan gøres ved [3]

$$q(t) = \frac{\sin(1-t)\omega}{\sin \omega} q_1 + \frac{\sin t\omega}{\sin \omega} q_2, \quad t \in [0, 1],$$

hvor $\omega = \cos^{-1}(q_1 \cdot q_2)$. Denne form for interpolering kaldes slerp (engelsk spherical linear interpolation). Interpoleringen vil altid være “pæn” idet orienteringen ikke vil hakke grundet f.eks. afrundningsfejl.

9.4 Optimeringer ved hjælp af programmet gprof

Gprof [6] er et værktøj der tilbyder profilering af et givent program. Vi viser nedenfor de øverste linjer af resultatet af gprof på et af vores testprogrammer (se Kapitel 10).

```
Flat profile:
Each sample counts as 0.01 seconds.
%   cumulative   self           self      total
time   seconds   seconds   calls  s/call  s/call name
24.98     86.77    86.77  86949434      0.00      0.00
OpenTissue::vector3<OpenTissue::interval<double>>::operator%
(OpenTissue::vector3<OpenTissue::interval<double> > const&) const
```

Outputtet skal læses som følger: Operatoren der udregner krydsproduktet imellem to vektorer med interval elementer bruger ca. 25% af den samlede tid programmet har kørt. Tiden “cumulative seconds” er hvor lang tid operatoren og de funktioner der er angivet over operatoren har brugt. Tiden “self seconds” er hvor lang tid operatoren selv har benyttet. De to tider er ens fordi operatoren er den første funktion i listen. Tallet “calls” er antallet af gange operatoren er blevet kaldt. “self s/call” angiver hvor mange millisekunder operatoren bruger per kald, “total s/call” er hvor mange millisekunder operatoren bruger plus hvor mange millisekunder funktioner kaldt af operatoren bruger. Tiderne er her nul idet operatoren er hurtigere end 1/100 millisekunder.

Vi har draget stor nytte af gprof i forbindelse med intervaller. F.eks. fandt vi at intervaller generelt er det langsommeste i vores program. Ved at implementere vores egen optimerede interval klasse istedet for boosts opnåede vi et radikalt speedup. Vores intervalklasse inklusiv optimeringer kan ses i Bilag C.

9.5 Fremtidige optimeringer

I vores implementation af test imellem geometri tester vi som bekendt typerne (E, E) og (V, F) . Vores geometri er trekanter og vi skal derfor teste i alt $3^2 = 9$ kollisioner af typen (E, E) . Vi skal også teste om en eller flere af de 3 punkter af den ene trekant ligger i den anden trekant og omvendt, samlet er dette 6 tests.

Vores nuværende implementation af dette tester hver af disse potentielle kollisioner *en af gangen*, dvs. vi undersøger det givne tidsinterval i alt 15 gange.

En optimering er at undersøge tidsintervallet én gang mens samtlige 15 kollisionstests tjekkes. Vi kan desuden benytte os af “Improved Newton Interval Method” som beskrevet i [11]. Ideen er som følger.

Antag at vi vil finde et nulpunkt for en funktion f på intervallet $[t_0, t_1]$ (dette er hvad vi ønsker i Kapitel 7.3). Antag at afgrænsningen af f på et interval har endepunkter med forskellige fortegn (dvs. at der er potentielle for et nulpunkt).

Lad $[a, b]$ være et interval der afgrænsner f' på tidsintervallet $[t_0, t_1]$. Hvis $ab > 0$ så kan vi indskrænke det interval hvor f måske antager værdien nul til intervallet

$$\left([m, m] - \frac{[f(m), f(m)]}{[a, b]} \right) \cap [t_0, t_1],$$

hvor $m \in [t_0, t_1]$. Kravet $ab > 0$ siger at der kun er potentielle for ét nulpunkt for f .

Ideen med metoden ovenfor er at vi hurtigt kan pejle os ind på hvornår f antager værdien nul. Hvis f.eks. f antager værdien nul til tiden t og t er sidst i tidsintervallet $[t_0, t_1]$ (altså tæt på t_1) kan vi relativt hurtigt sortere tidsrummet $[t_0, t_1]$ fra.

10 Afprøvning

Vi vil i dette afsnit foretage en “black-box” afprøvning af vores implementation af kontinuerligt kollisionsdetektering. Med “black-box” menes at vi vil undersøge om det *overordnede* resultat af en kollisionstest er korrekt. Vi vil altså ikke kigge specifikt på enkelte funktioner af vores program under afprøvning.

Vi har i vores afgrænsninger valgt ikke at garantere at alle “rigtige” kollisioner imellem to givne objekter skal findes. Med “rigtige” menes de kollisioner der forekommer hvis objekterne bevæges langs deres korrekte bane. Vi minder om at dette skyldes at vores imellem-bevægelser er en erstatning for disse ukendte rigtige baner og derfor ikke nødvendigvis bevæger objekterne langs den “rigtige” bane.

I vores afgrænsninger har vi også valgt ikke at garantere at finde kollisioner imellem to objekter hvor det ene er fuldstændigt indeholdt i det andet og hvor objekterne ikke rører hinanden.

I vores afprøvning vil vi først afprøve vores imellem-bevægelse, dvs. vi vil teste at den interpolerer korrekt. Under antagelse af at imellem-bevægelsen er korrekt ved vi nu at vores geometri og omringende volumener vil blive bevæget korrekt. Herefter vil vi afprøve vores kollisionstest imellem to OBBer mod

hinanden. Når dette er gjort afprøver vi vores kollisionstest imellem geometrier. Til sidst afprøver vi vores kollisionstest imellem træer af OBBer.

10.1 Afprøvning af imellem-bevægelse

Lad imellem-bevægelsen m være givet. Antag at m skal interpolere imellem de to punkter p_0 og p_1 over tiden $[0, 1]$. Vi afprøver m ved at bede om den interpolerede position (en quaternion og en vektor) til tiderne $i/8, 0 \leq i \leq 8$. Disse positioner udskrives på skærmen og vi verificerer at de er korrekte.

Lad os skrive quaternioner på formen (w, x, y, z) hvor (x, y, z) er rotationsaksen og w er rotationen. Vi tester følgende situationer

- AB00. $p_0 = p_1$.

Dette anses for et specieltilfælde og afprøves. Samtlige positioner skal være lig $p_0 = p_1$.

- AB01. p_0 er vektoren $(0, 0, 0)$ og orienteringen er identiteten (quaternionen $(1, 0, 0, 0)$). p_1 er vektoren $(10, 0, 0)$ og samme orientering som til tiden t_0 .

Her testes translation. De udskrevne vektorer skal indeholde x -værdier som tilsammen er en strengt voksende følge endende med værdien 10, y - og z -værdierne skal forblive nul. Orienteringen skal til alle tider være lig identiteten.

- AB02. p_0 er vektoren $(0, 0, 0)$ og orientering er identiteten. p_1 er vektoren $(0, 0, 0)$ og orienteringen $(0, 1, 0, 0)$ (som er rotationen 180° omkring x -aksen).

Her testes rotation. De udskrevne translationer skal alle være nul-vektoren. Orienteringen skal løbe fra identiteten og til $(0, 1, 0, 0)$.

10.2 Afprøvning af kollisionstest imellem to OBBer

Lad to OBBer O_1 og O_2 være givet. Lad m_1 og m_2 være de tilhørende imellem-bevægelser og lad tidsintervallet hvor der skal tjekkes for kollision være $[t_0, t_1]$.

- AO00. O_1 og O_2 er adskilt til tiden t_0 . Vi lader m_1 og m_2 være givet så O_1 og O_2 ikke rammer hinanden i hele tidsintervallet. Vores kollisionstest må ikke rapportere nogle kollision.
- AO01. O_1 og O_2 er adskilt til tiden t_0 . Vi lader m_1 og m_2 være givet så O_1 og O_2 rammer hinanden i tidsintervallet. Vores kollisionstest skal rapportere en kollision.
- AO02. O_1 og O_2 rammer hinanden til tiden t_0 . Vores kollisionstest skal rapportere en kollision.

10.3 Afprøvning af kollisionstest imellem to geometrier

Som nævnt tidligere tester vi for to typer af kollisioner; (E, E) og (V, F) . Vi tester de to typer hver for sig og opstiller følgende testsituationer

- Lad k_1 og k_2 være to kanter. Lad m_1 og m_2 være de tilhørende bevægelser.
 - AE00. k_1 og k_2 rammer ikke hinanden til tid t_0 . m_1 og m_2 er angivet så k_1 og k_2 ikke rammer hinanden i tidsintervallet $[t_0, t_1]$. Vores test skal ikke rapportere en kollision.
 - AE01. k_1 og k_2 rammer ikke hinanden til tid t_0 . m_1 og m_2 er angivet så k_1 og k_2 rammer hinanden i tidsintervallet $[t_0, t_1]$. Vores test skal rapportere en kollision.
 - AE02. k_1 og k_2 rammer hinanden til tid t_0 . Vores test skal rapportere en kollision.
- Lad f være en flade og v være et punkt. Lad m_1 og m_2 være de tilhørende bevægelser.
 - AVF00. f og v rammer ikke hinanden til tiden t_0 . m_1 og m_2 er angivet så f og v ikke rammer hinanden i tidsintervallet $[t_0, t_1]$. Vores test skal ikke rapportere en kollision.
 - AVF01. f og v rammer ikke hinanden til tiden t_0 . m_1 og m_2 er angivet så f og v rammer hinanden i tidsintervallet $[t_0, t_1]$. Vores test skal rapportere en kollision.
 - AVF02. f og v rammer hinanden til tiden t_0 . Vores test skal rapportere en kollision.

10.4 Afprøvning af kollisionstest imellem to træer indeholdende OBBer

Vi tester nu samme opstilling som ved afprøvningen af to OBBer, her benyttes blot træer indeholdende OBBer.

Lad T_1 og T_2 være to træer indeholdende OBBer. Lad m_1 og m_2 være de tilhørende bevægelser. Vi afprøver nu følgende

- AT01. T_1 og T_2 rammer ikke hinanden til tiden t_0 . m_1 og m_2 er angivet så T_1 og T_2 ikke rammer hinanden i tidsintervallet $[t_0, t_1]$. Vores test skal ikke rapportere en kollision.
- AT02. T_1 og T_2 rammer ikke hinanden til tiden t_0 . m_1 og m_2 er angivet så T_1 og T_2 rammer hinanden i tidsintervallet $[t_0, t_1]$. Vores test skal rapportere en kollision.
- AT03. T_1 og T_2 rammer hinanden til tiden t_0 . Vores test skal rapportere en kollision.

Samtlige testprogrammer er kompileret med GCC version

```
g++-4.0 (GCC) 4.0.3 (Ubuntu 4.0.3-1ubuntu5),
```

og med parameterne `-O3 -Wall -Werror -march=pentium4`. Testprogrammerne er tilgængelige i forfatterens DIKU-hjemmemappe

```
/home/disk17/jackj/contcoll/afproevning.
```

Resultaterne af samtlige afprøvninger kan ses i Bilag B. Testprogrammerne kan ses i Bilag A.

11 Konklusion

Vi har i denne rapport nu gennemgået den metode Stephane Redon beskriver i hans artikel [10]. Overordnet synes vi at brugen af interval aritmetik til at afgrænse med er en meget intuitiv og nem måde at angribe kontinuert kollisionsdetektering på.

Det har været yderst interresant og lærerigt at skrive denne rapport samt at implementere vores løsning. Vi har f.eks. lært en masse omkring computergrafik i gennemgangen af metoden og implementationen af den. F.eks. har vi lært om quaternioner, interval aritmetik, OBBer, gprof, C++ biblioteket boost og i særdeleshed hvordan OpenTissue skal bruges. OpenTissue har været et nytigt redskab i vores implementation - selvom vi ikke vil ligge skjul på at templates kan være svære at forstå og bruge når man første gang stifter bekendtskab med dem.

Vi har som nævnt i Kapitel 9 brugt lang tid på at optimere vores kode. De færdige køretider er væsentligt bedre end ved de første kørsler af vores programmer, men der er stadig langt til de tider der kort nævnes i f.eks. [9].

Vi ville gerne havde haft tid til at teste vores implementation imod andre implementationer, f.eks. BULLET biblioteket der er tilgængeligt på hjemmesiden <http://www.continuousphysics.com/Bullet/>. Vi ville også gerne havde haft tid til at teste vores metode i en simulation. Det er muligt at vi gør dette på et senere tidspunkt, det er yderst interresant at se hvordan vores metode klarer sig hastighedsmæssigt imod andre implementationer nu hvor vi har brugt lang tid på optimeringer.

Det er vores forhåbning at vi, efter denne rapport er afleveret, vil kunne optimere yderligere på vores implementation: Det ville være meget tilfredsstillende hvis andre senere kan drage nytte af vores arbejde, f.eks. ved at vores kode inkluderes i OpenTissue.

12 Bilag A, Testprogrammer

Samtlige testprogrammer benytter følgende skabelon. I vores testprogrammer nedenfor nøjes vi derfor med at vise vores

```
cApplication::init()
```

funktion idet det er her vi afprøver vores testcases.

12.1 main.cpp

```

1  /*
2   * Basic GL stuff.
3   *
4   * Jackj.
5   */
6  #include <iostream>
7  #include <fstream>
8  #include <OpenTissue/utility/GL/gl_util.h>
9  #include <OpenTissue/image/image.h>
10 #include <OpenTissue/image/util/screen_capture.h>
11 #include <OpenTissue/image/io/image_write.h>
12 #include "application.hpp"
13
14
15 float transx,transy, oldTransY, oldTransX;
16 int rotatex,rotatey, oldRotateY, oldRotateX;
17
18 bool mouseLeftDown, mouseMiddleDown, drawPath;
19 bool fidown;
20 int beginMoveLeftY, beginMoveLeftX, beginMoveMiddleY, beginMoveMiddleX,
21     float wscale;
22
23 GLfloat specularColor[3] = {1.0f, 1.0f, 1.0f};
24 GLfloat shine = 100.0f;
25 GLfloat center_lightposition[] = {0.0, 0.0, 0.0, 1.0f};
26 GLfloat extra_lightposition[] = {50.0, 50.0, 50.0, 1.0f};
27
28 bool animate = false;
29 bool saveScreen = false;
30 int screenNr = 0;
31
32 using namespace OpenTissue;
33
34 // The actual application
35 cApplication theApp;
36
37 void UpdateScreen() {
38     glClearColor(1,1,1,0);
39     glClear(GL_DEPTH_BUFFER_BIT);
40     glClear(GL_COLOR_BUFFER_BIT);
41
42     glLoadIdentity();
43
44     //rotate the coordinate space for viewing from the (-, +, +) octant
45     glRotatef(45.0f, 1.0f, 0.0f, 0.0f);
46
47     //rotate the coordinate space for viewing from the (-, +, +) octant
48     glRotatef(45.0f, 0.0f, 1.0f, 0.0f);
49
50     //translate out into coordinate space for viewing from the (-, +, +) octant
51     glTranslatef(20.0f, -30.0f, -20.0f);
52
53     glTranslatef(transx, transy, 0);
54     glRotatef(rotatey, 1, 0, 0);
55     glRotatef(rotatex, 0, 1, 0);
56
57     // Draw x,y,z axis
58     glDisable(GL_TEXTURE_2D);
59     glEnable(GL_LIGHTING);
60 }
```

```

60    glColor3f(0xff, 0, 0);
61    glBegin(GL_LINES);
62    glVertex3f(0,0,0);
63    glVertex3f(100,0,0);
64    glEnd();
65    glColor3f(0, 0xff, 0);
66    glBegin(GL_LINES);
67    glVertex3f(0,0,0);
68    glVertex3f(0,100,0);
69    glEnd();
70    glColor3f(0, 0, 0xff);
71    glBegin(GL_LINES);
72    glVertex3f(0,0,0);
73    glVertex3f(0,0,100);
74    glEnd();
75    glScalef(wscale,wscale,wscale);
76    theApp.Draw();
77    if (saveScreen)
78    {
79        image_write("screen.png", *screen_capture() );
80        saveScreen = false;
81    }
82    glFinish();
83    glutSwapBuffers();
84 }

85 void ResizeWindow(int w, int h)
86 {
87     if (w == 0 || h == 0) return; //Nothing is visible then, so return
88
89     glMatrixMode(GL_PROJECTION);
90     glLoadIdentity();
91     gluPerspective(45.0,(GLdouble)w/(GLdouble)h,0.5,400.0);
92
93     glMatrixMode(GL_MODELVIEW);
94     glViewport(0,0,w,h); //Use the whole window for rendering
95 }

96 void UpdateMouseButton(int button, int state, int x, int y) {
97
98     if (button == GLUT_LEFT_BUTTON && state == GLUT_DOWN) {
99         mouseLeftDown = true;
100        beginMoveLeftX = x; beginMoveLeftY = y;
101        oldTransX = transx; oldTransY = transy;
102    }
103    if (button == GLUT_LEFT_BUTTON && state == GLUT_UP)
104        mouseLeftDown = false;
105
106    if (button == GLUT_MIDDLE_BUTTON && state == GLUT_DOWN) {
107        mouseMiddleDown = true;
108        beginMoveMiddleX = x; beginMoveMiddleY = y;
109        oldRotateX = rotatex; oldRotateY = rotatay;
110    }
111    if (button == GLUT_MIDDLE_BUTTON && state == GLUT_UP)
112        mouseMiddleDown = false;
113
114    if (button == GLUT_LEFT_BUTTON && state == GLUT_DOWN
115        && f1down) {
116        wscale *= 0.5;
117        UpdateScreen();
118    }
119    if (button == GLUT_MIDDLE_BUTTON && state == GLUT_DOWN
120        && f1down) {
121        wscale *= 1.5;
122        UpdateScreen();
123    }
124 }

125 void UpdateMouseMove(int x, int y) {
126     if (mouseMiddleDown) {
127         rotatex = (oldRotateX + x-beginMoveMiddleX) % 360;
128         rotatay = (oldRotateY + y-beginMoveMiddleY) % 360;
129         UpdateScreen();
130     }
131 }

132 void UpdateMouseMotion(int x, int y) {
133     if (mouseMiddleDown) {
134         rotatex = (oldRotateX + x-beginMoveMiddleX) % 360;
135         rotatay = (oldRotateY + y-beginMoveMiddleY) % 360;
136         UpdateScreen();
137     }
138 }
```

```

        }

    if (mouseLeftDown) {
        transx = oldTransX + (x-beginMoveLeftX) / 40.0;
140    transy = oldTransY - (y-beginMoveLeftY) / 20.0;
        UpdateScreen();
    }
}

145 void Loop() {
    theApp.Run();
    glutPostRedisplay();

    // FIXME: -time spent on drawing, obviously
150 #ifdef WIN32
    Sleep(1000/theApp.fps);
#else
    usleep(1000000/theApp.fps);
#endif
155 }

void Key(unsigned char key, int /*x*/, int /*y*/) {
    switch (key) {
        case 'q':
160        case 27:
            glutLeaveGameMode();
            exit(0);
            break;
        case ' ':
165        animate = !animate;
            if (animate)
                glutIdleFunc(Loop);
            else
                glutIdleFunc(NULL);
            break;
        case 'y':
            saveScreen = true;
            break;
        default:
175            theApp.MenuAction(key);
    }
}

void KeySDown(int key, int /*x*/, int /*y*/) {
180    if (key == GLUT_KEY_F1)
        fidown = true;
}

void KeySUp(int key, int /*x*/, int /*y*/) {
185    if (key == GLUT_KEY_F1)
        fidown = false;
}

190 void Menu(int entry) {
    Key(entry, 0, 0);
}

int main(int argc, char **argv)
195 {
    glutInit(&argc, argv);
    if (!theApp.Init()) {
        std::cerr << "Error initializing application." << std::endl;
200        return -1;
    }

    glutInitDisplayMode(GLUT_DOUBLE | GLUT_RGB | GLUT_DEPTH);
    glutGameModeString("1024x768");
    glutEnterGameMode();

    int mmenu = glutCreateMenu(Menu);
    int toggles = glutCreateMenu(Menu);
    glutAddMenuEntry("Animation [space]", ' ');
205    glutAddMenuEntry("Screen capture [y]", 'y');
    theApp.AddMenu(mmenu, Menu);
}

```

```

glutSetMenu(mmenu);
glutAddSubMenu("Toggles", toggles);
glutAddMenuEntry("Quit [esc]", 27);
215   glutAttachMenu(GLUT_RIGHT_BUTTON);

glutDisplayFunc(UpdateScreen);
glutMouseFunc(UpdateMouseButton);
glutMotionFunc(UpdateMouseMove);
220   glutReshapeFunc(ResizeWindow);
glutKeyboardFunc(Key);
glutSpecialUpFunc(KeySUp);
glutSpecialFunc(KeySDown);

225   glShadeModel(GL_SMOOTH);

glEnable(GL_DEPTH_TEST);
glFrontFace(GL_CCW);           // Counter clock-wise polygons face out
glEnable(GL_CULL_FACE);        // Do not calculate inside of objects
230   glEnable(GL_NORMALIZE);

float ambience[4] = {0.3f, 0.3f, 0.3f, 1.0};
float diffuse[4] = {0.9f, 0.9f, 0.9f, 1.0};
glLightfv(GL_LIGHT0, GL_AMBIENT, ambience);
235   glLightfv(GL_LIGHT0, GL_DIFFUSE, diffuse);
glLightfv(GL_LIGHT0, GL_POSITION, center_lightposition);
glLightfv(GL_LIGHT1, GL_POSITION, extra_lightposition);
glEnable(GL_LIGHT0);
glEnable(GL_LIGHT1);
240   glEnable(GL_LIGHTING);
glEnable(GL_COLOR_MATERIAL);
glMaterialfv(GL_FRONT_AND_BACK, GL_SPECULAR, specularColor);
glMaterialfv(GL_FRONT_AND_BACK, GL_SHININESS, &shine);

245   transy = transx = 0;
rotatey = rotatex = 0;
wscale=5.0;
fdown = false;
mouseLeftDown = mouseMiddleDown = false;
250   glutMainLoop();
return 0;
}

```

12.2 application.cpp

```

1  /*
 * Example application.
 *
 * Jackj.
 */
5   */
#include <string>
#include <OpenTissue/utility/GL/gl_util.h>
#include <OpenTissue/utility/high_res_timer.h>
#include <OpenTissue/math/constants.h>
10  #include <OpenTissue/mesh/mesh.h>
#include <OpenTissue/mesh/common/util/mesh_drawing.h>
#include <OpenTissue/collision/bvh/util/top_down_constructor/bvh_top_down_constructor.h>
#include <OpenTissue/collision/bvh/util/bvh_get_nodes_at_height.h>
#include <OpenTissue/math/matrix.h>
15  #include <OpenTissue/math/coordsys.h>
#include <OpenTissue/math/vector.h>
#include <OpenTissue/math/rotation.h>
#include "collision/continuous/arbitrary_constant.h"
#include "collision/continuous/cont_coll_edge.h"
20  #include "application.hpp"
#include "obb.h"

using namespace OpenTissue;
using namespace std;
25
cApplication::cApplication()
{
    mesh = false;
}

```

```

30      drawBV = false;
31      bvLevel=0;
32      test = 'o';
33      anim_time = 0.0;
34  }
35 cApplication::~cApplication() {}
36
37     bool cApplication::Init()
38  {
39
40     void cApplication::draw_point_face(double time)
41  {
42         coordsys<double> c = e1_motion.pos(time);
43         rotation<double> r = c.Q();
44
45         glPushMatrix();
46         glTranslatef(c.T()[0], c.T()[1], c.T()[2]);
47         glRotatef(r.angle()*OT_M_RADIAN, r.axis()[0], r.axis()[1],
48                    r.axis()[2]);
49         glTranslatef(e1a[0], e1a[1], e1a[2]);
50         glutSolidSphere(0.2,10,10);
51         glPopMatrix();
52
53         c = f1_motion.pos(time);
54         r = c.Q();
55         glPushMatrix();
56         glTranslatef(c.T()[0], c.T()[1], c.T()[2]);
57         glRotatef(r.angle()*OT_M_RADIAN, r.axis()[0], r.axis()[1],
58                    r.axis()[2]);
59         glBegin(GL_LINE_LOOP);
60         glVertex3f(f1a[0], f1a[1], f1a[2]);
61         glVertex3f(f1b[0], f1b[1], f1b[2]);
62         glVertex3f(f1c[0], f1c[1], f1c[2]);
63         glEnd();
64         glPopMatrix();
65     }
66
67     void cApplication::draw_edges(double time)
68  {
69         coordsys<double> c = e1_motion.pos(time);
70         rotation<double> r = c.Q();
71
72         glPushMatrix();
73         glTranslatef(c.T()[0], c.T()[1], c.T()[2]);
74         glRotatef(r.angle()*OT_M_RADIAN, r.axis()[0], r.axis()[1],
75                    r.axis()[2]);
76         glBegin(GL_LINES);
77         glVertex3f(e1a[0], e1a[1], e1a[2]);
78         glVertex3f(e1b[0], e1b[1], e1b[2]);
79         glEnd();
80         glPopMatrix();
81
82         c = e2_motion.pos(time);
83         r = c.Q();
84         glPushMatrix();
85         glTranslatef(c.T()[0], c.T()[1], c.T()[2]);
86         glRotatef(r.angle()*OT_M_RADIAN, r.axis()[0], r.axis()[1],
87                    r.axis()[2]);
88         glBegin(GL_LINES);
89         glVertex3f(e2a[0], e2a[1], e2a[2]);
90         glVertex3f(e2b[0], e2b[1], e2b[2]);
91         glEnd();
92         glPopMatrix();
93     }
94
95     void cApplication::print_string(int x, int y, char *s)
96  {
97         glRasterPos2f(x, y);
98         while (*s)
99             glutBitmapCharacter(GLUT_BITMAP_HELVETICA_18, *s++);
100    }
101
102     void cApplication::draw_obbs(double time, bool drawcollobbs)
103  {
104     if (mesh)
105

```

```

        glPolygonMode(GL_FRONT_AND_BACK, GL_LINE);
    else
        glPolygonMode(GL_FRONT_AND_BACK, GL_FILL);

110    coordsys<double> c = w_motion.pos(time);
    rotation<double> r = c.Q();

    glPushMatrix();
    glTranslatef(c.T()[0], c.T()[1], c.T()[2]);
115    glRotatef(r.angle()*OT_M_RADIAN, r.axis()[0], r.axis()[1],
                r.axis()[2]);
    glDrawMesh(wMesh, GL_POLYGON, false, true, false);

120    float curcol[4];
    glGetFloatv(GL_CURRENT_COLOR, curcol);

    if (drawBV) {
        bvh_type::bv_ptr_container nodes;
125        bvh_get_nodes_at_height(bBVH,bvLevel,nodes);
        glColorPicker(1,0,0);
        bvh_type::bv_iterator node = nodes.begin();
        bvh_type::bv_iterator end = nodes.end();
        for (;node!=end;++node)
            node->volume().draw( GL_POLYGON );
    }

    glPopMatrix();
    glColor4f(curcol[0], curcol[1], curcol[2], curcol[3]);
135    c = b_motion.pos(time);
    r = c.Q();
    glPushMatrix();
    glTranslatef(c.T()[0], c.T()[1], c.T()[2]);
140    glRotatef(r.angle()*OT_M_RADIAN, r.axis()[0], r.axis()[1],
                r.axis()[2]);
    glDrawMesh(bMesh, GL_POLYGON, false, true, false);

    glGetFloatv(GL_CURRENT_COLOR, curcol);

145    if (drawBV) {
        bvh_type::bv_ptr_container nodes;
        bvh_get_nodes_at_height(wBVH,bvLevel,nodes);
        glColorPicker(1,0,0);
150        bvh_type::bv_iterator node = nodes.begin();
        bvh_type::bv_iterator end = nodes.end();
        for (;node!=end;++node)
            node->volume().draw( GL_POLYGON );
    }

    glPopMatrix();
    glColor4f(curcol[0], curcol[1], curcol[2], curcol[3]);
155}

160 void cApplication::Draw()
{
    bool tempM;
    bool temp = drawBV;

165    switch(test) {
        case 'e': // EDGE/EDGE
            tempM = mesh;
            mesh = false;
            // start pos
            glColor3f(0.0,1.0,0.0);
            draw_edges(0);

            // end pos
170            glColor3f(1.0,0.0,0.0);
            draw_edges(1);

            // first collision time
            glColor3f(0.0, 1.0, 1.0);
            draw_edges(edgecolltime);
175
180
}

```

```

    // current pos
    mesh = tempM;
    glColor3f(0.0, 0.0, 1.0);
185    draw_edges(anim_time);
    break;
    case 'o': // OBB/OBB

        tempM = mesh;
        mesh = true; drawBV = false;

        // start pos
        glColor3f(0.0, 1.0, 0.0);
190    draw_obbs(0);

        // end pos
        glColor3f(1.0, 0.0, 0.0);
195    draw_obbs(1);

        // collision time
        glColor3f(1.0, 1.0, 0.0);
200    draw_obbs(obbcolltime, true);

        // current pos
        drawBV = temp;
        mesh = tempM;
        glColor3f(0.0, 0.0, 1.0);
205    draw_wall_bullet(anim_time);

210    break;
    case 'p': // FACE/POINT

        // start pos
        glColor3f(0.0, 1.0, 0.0);
215    draw_point_face(0.0);

        // end pos
        glColor3f(1.0, 0.0, 0.0);
220    draw_point_face(1.0);

        // collision time
        glColor3f(1.0, 1.0, 0.0);
225    draw_point_face(facepointcolltime);

        // current pos
        glColor3f(0.0, 0.0, 1.0);
230    draw_point_face(anim_time);

        break;
    default:
        break;
}
235 void cApplication::AddMenu(int mmenu, void (*Menu)(int))
{
}

240 void cApplication::MenuAction(int entry)
{
    switch (entry) {
        case 'd':
            drawBV = !drawBV;
            glutPostRedisplay();
            break;
        case '+':
            bvLevel++;
            glutPostRedisplay();
            break;
        case '-':
            bvLevel--;
            if (bvLevel<0) bvLevel=0;
            glutPostRedisplay();
            break;
        case 'm':
            mesh = !mesh;
}

```

```

        glutPostRedisplay();
        break;
    case 'e':
    case 'o':
    case 'p':
        test = entry;
        anim_time = 0.0;
    265     glutPostRedisplay();
        break;
    default:
        break;
}
270 }

void cApplication::Run()
{
    anim_time += 0.01;
    if (anim_time > 1.0) anim_time = 0.0;
}

```

12.3 application.h

```

1  #ifndef __CCAPPLICATION_HPP__
#define __CCAPPLICATION_HPP__

5   /*
   * Application class.
   *
   * Jackj.
   */
10  #include <stdarg.h>
#include <stdio.h>
#include <OpenTissue/math/vector.h>
#include <OpenTissue/mesh/mesh.h>
#include <OpenTissue/geometry/obb.h>
15  #include <OpenTissue/geometry/sphere.h>
#include <OpenTissue/collision/bvh/bvh.h>
#include <OpenTissue/collision/bvh/util/top_down_constructor/bvh_top_down_constructor.h>
#define DEFMEASHROOT "/home/jackj/src/DataTissue/"
#define DEFWALL "demos/common/mesh/turbine-blades-1200.msh"
20  #define DEFBULLET "demos/common/mesh/turbine-blades-1200.msh"

typedef OpenTissue::vector3<double>  vector3_type;

// This is needed in our OBB fitting classes
25  class OBBTreeFaceTraits : public OpenTissue::DefaultFaceTraits
{
public:
    30    vector3_type * m_v0;
    vector3_type * m_v1;
    vector3_type * m_v2;
    vector3_type * m_n0;
    vector3_type * m_n1;
    vector3_type * m_n2;
35
public:
    OBBTreeFaceTraits()
        : m_v0()
        , m_v1()
        , m_v2()
        , m_n0()
        , m_n1()
        , m_n2()
40        {}
45
};

50  typedef OpenTissue::PolyMesh<OpenTissue::PolyMeshListKernel,
    OpenTissue::DefaultVertexTraits, OpenTissue::DefaultHalfEdgeTraits,

```

```

OpenTissue::DefaultEdgeTraits, OBBTreeFaceTraits> mesh_type;
typedef mesh_type::face_type * face_ptr_type;
typedef OpenTissue::OBB<double> obb_type;
55  typedef mesh_type::face_type face_type;
typedef mesh_type::vertex_type vertex_type;
typedef mesh_type::halfedge_type halfedge_type;

60  #include "obb.h"
#include "collision/continuous/arbitrary_constant.h"
#include "collision/continuous/cont_coll_edge.h"
#include "collision/continuous/cont_coll_face.h"
#include "collision/continuous/cont_coll_obb.h"
65  #include "collision/continuous/cont_coll_bvh.h"
#include "collision/continuous/cont_coll_bv_traits.h"

70  /*
 * OBB collision policy, used in our BVH code
 */
class bv_coll;

75  template <typename bvh_type>
class obb_coll_policy
{
public:
80    typedef bvh_type_ bvh_type;
    typedef double real_type;
    typedef std::vector<bvh_type> result_type;
    typedef typename bvh_type::bv_type bv_type;
85    typedef typename bvh_type::bv_ptr bv_ptr;
    typedef typename bvh_type::annotated_bv_ptr annotated_bv_ptr;
    typedef typename bvh_type::annotated_bv_type annotated_bv_type;

private:
90    OpenTissue::cont_coll_obb<double, obb_type>
        m_obb_checker; // Our OBB/OBB checker
    OpenTissue::cont_coll_edge<double>
        m_edge_edge_checker; // Our EDGE/EDGE checker
95    OpenTissue::cont_coll_face_point<double>
        m_face_point_checker; // Our FACE/POINT checker
    OpenTissue::arbitrary_constant<double> m_m1; // A's motion
    OpenTissue::arbitrary_constant<double> m_m2; // B's motion

100   public:
        obb_coll_policy() {}

        void set_m1(OpenTissue::arbitrary_constant<double> const &m1)
105    {
        m_m1 = m1;
    }

        void set_m2(OpenTissue::arbitrary_constant<double> const &m2)
110    {
        m_m2 = m2;
    }

        void set_obb_checker(OpenTissue::cont_coll_obb<double, obb_type>
            const &obb)
115    {
        m_obb_checker = obb;
    }

120    void set_edge_edge_checker(OpenTissue::cont_coll_edge<double> const
            &edgeedge)
    {
        m_edge_edge_checker = edgeedge;
    }

125    void set_face_point_checker(OpenTissue::cont_coll_face_point<double>
            const &facepoint)

```

```

130     {
131         m_face_point_checker = facepoint;
132     }
133
134     obb_coll_policy(OpenTissue::cont_coll_obb<double,obb_type> &obb,
135                     OpenTissue::arbitrary_constant<double> &m1,
136                     OpenTissue::arbitrary_constant<double> &m2)
137     : m_obb_checker(obb)
138     , m_m1(m1)
139     , m_m2(m2) {}
140
141     void reset(result_type &r) // policy
142     {
143         r.clear();
144     }
145
146     void report(bv_ptr A, bv_ptr B, double &t,
147                 result_type &r) // policy
148     {
149         bv_coll coll(&(A->volume()), &(B->volume()), t);
150         r.push_back(coll);
151     }
152
153     bool bv_overlap(bv_ptr const A, bv_ptr const B, double &t0, double &t1) // policy
154     {
155         real_type t =
156             m_obb_checker.check_pair(A, m_m1, B, m_m2, t0, t1);
157
158         if (t < -0.5) return false;
159         t0 = t;
160         return true;
161     }
162
163     bool geometry_overlap(bv_ptr A, bv_ptr B, double &t0,
164                           double const &t1)
165     {
166         annotated_bv_ptr a1 = boost::static_pointer_cast<annotated_bv_type>(A);
167         annotated_bv_ptr a2 = boost::static_pointer_cast<annotated_bv_type>(B);
168
169         face_type *f1 = *(a1->geometry_begin());
170         face_type *f2 = *(a2->geometry_begin());
171
172         OpenTissue::vector3<double> a[3];
173
174         mesh_type::const_face_vertex_circulator v1(*f1), viend;
175         unsigned int i = 0;
176         for (; v1!=viend; ++v1, ++i) {
177             assert(i <= 2 || !"Only do triangles at the moment");
178             a[i].set(v1->m_coord(0), v1->m_coord(1), v1->m_coord(2));
179         }
180         assert(i == 3 || !"Only do triangles at the moment");
181
182         OpenTissue::vector3<double> b[3];
183
184         mesh_type::const_face_vertex_circulator v2(*f2), v2end;
185         for (i = 0; v2!=v2end; ++v2, ++i) {
186             assert(i <= 2 || !"Only do triangles at the moment");
187             b[i].set(v2->m_coord(0), v2->m_coord(1), v2->m_coord(2));
188         }
189         assert(i == 3 || !"Only do triangles at the moment");
190
191         bool coll=false;
192         real_type earliest_time = t1;
193         real_type t;
194
195 #define OT_TEST_EDGE_EDGE(x,y,z,v)\n        t = m_edge_edge_checker.check_interval(a[x], a[y], m_m1,\n                                              b[z], b[v], m_m2, t0, earliest_time);\n        if (t < 4.0) { coll=true; if (t<earliest_time) earliest_time=t; }\n\n        // EDGE/EDGE tests (9 of these)\n        OT_TEST_EDGE_EDGE(0,1, 0,1);\n        OT_TEST_EDGE_EDGE(0,1, 1,2);\n        OT_TEST_EDGE_EDGE(0,1, 2,1);\n        OT_TEST_EDGE_EDGE(1,2, 0,1);\n        OT_TEST_EDGE_EDGE(1,2, 1,2);\n

```

```

205          OT_TEST_EDGE_EDGE(1,2, 2,1);
206          OT_TEST_EDGE_EDGE(2,1, 0,1);
207          OT_TEST_EDGE_EDGE(2,1, 1,2);
208          OT_TEST_EDGE_EDGE(2,1, 2,1);

210 #undef OT_TEST_EDGE_EDGE
211 #define OT_FACE_POINT_A(x)\n    t = m_face_point_checker.check_face_point(a[x],\n        m_m1, b[0], b[1], b[2], m_m2, t0, earliest_time);\n    if (t < 4.0) { coll=true; if (t < earliest_time) earliest_time = t; }
212 // Check if any of A's corners lie inside face B\n    OT_FACE_POINT_A(0);\n    OT_FACE_POINT_A(1);\n    OT_FACE_POINT_A(2);
213 #undef OT_FACE_POINT_A

214 #define OT_FACE_POINT_B(x)\n    t = m_face_point_checker.check_face_point(b[x],\n        m_m2, a[0], a[1], a[2], m_m1, t0, earliest_time);\n    if (t < 4.0) { coll=true; if (t < earliest_time) earliest_time = t; }
215 // Check if any of B's corners lie inside face A\n    OT_FACE_POINT_B(0);\n    OT_FACE_POINT_B(1);\n    OT_FACE_POINT_B(2);
216 #undef OT_FACE_POINT_B

217     if (coll) {\n         t0 = earliest_time;\n         std::cout << "I found collision at time: "<< t0 << std::endl;\n         return true;\n     }
218     return false;
219 }

220 /*\n * Class to contain OBB collisions\n */\nclass bv_coll\n{
221 protected:\n    obb_type *m_A, *m_B;\n    double m_time;\n222 public:\n    bv_coll(obb_type *A, obb_type *B, double t)\n        : m_A(A)\n        , m_B(B)\n        , m_time(t) {}\n\n    obb_type const *getA()\n    {\n        return m_A;\n    }\n\n    obb_type const *getB()\n    {\n        return m_B;\n    }\n\n    double gettime()\n    {\n        return m_time;\n    }
223 };
224 class cApplication {
225 public:

```

```

    typedef double           real_type;
    typedef OpenTissue::cont_coll_bv_traits<double> bv_traits;
    typedef OpenTissue::BVH<obb_type, face_ptr_type,bv_traits> bvh_type;
285     typedef OpenTissue::BVHTopDownConstructor<bvh_type,
                                              obb_base_tree_top_down_policy<bvh_type, real_type> >   constructor_type;

    public:
        cApplication();
290     ~cApplication();
        bool Init();
        void Draw();
        void Run();
        void MenuAction(int entry);
295     void AddMenu(int, void (*Menu)(int));

        int fps;

    private:
300     // OBB/OBB stuff
        mesh_type wMesh;
        mesh_type bMesh;
        OpenTissue::arbitrary_constant<double> b_motion;
305     OpenTissue::arbitrary_constant<double> w_motion;
        double obbcolitime;
        unsigned int obbcolls;
        bvh_type bBVH, wBVH;
        void draw_wall_bullet(double time,bool drawcollobbs=false);
310     std::vector<bv_coll> obb_colls;

        // EDGE/EDGE stuff
        OpenTissue::arbitrary_constant<double> e1_motion;
        OpenTissue::arbitrary_constant<double> e2_motion;
315     OpenTissue::vector3<double> e1a, e1b, e2a, e2b;
        OpenTissue::cont_coll_edge<double> edge_check;
        OpenTissue::vector3<double> edgecolln, edgecollp;
        double edgecolitime;
        void draw_edges(double time);

320     // FACE/POINT stuff
        OpenTissue::vector3<double> f1a, f1b, f1c;
        OpenTissue::arbitrary_constant<double> f1_motion;
        OpenTissue::cont_coll_face_point<double> face_check;
325     double facepointcolitime;
        void draw_point_face(double time);

        // basic stuff
330     void print_string(int x, int y, char *s);
        bool mesh, drawBV;
        int bvLevel;
        char test;
        double anim_time;
335 };
#endif

```

12.4 AB00

```

1  bool cApplication::Init()
{
    matrix3x3<double> wrs = diag(1.0); // Rotation is identity
    matrix3x3<double> wre = diag(1.0); // Rotation is identity
5
    vector3<double> wts(0,0,0);
    vector3<double> wte(0,0,0);
    w_motion.m_p0 = coordsys<double>(wts, wrs);
    w_motion.m_p1 = coordsys<double>(wte, wre);
10   w_motion.init();

    // Print interpolated positions
    double t = 0.;
    for (int i=0;i <= 8; i++) {
        coordsys<double> c = w_motion.pos(t);
15

```

```

        std::cout << "Vektor: " << c.T() << " orientering: " <<
        c.Q() << std::endl;
        t += 1. / 8.;

20    return true;
}

```

12.5 AB01

```

1  bool cApplication::Init()
{
    matrix3x3<double> wrs = diag(1.0); // Rotation is identity
    matrix3x3<double> wre = diag(1.0); // Rotation is identity
5
    vector3<double> wts(0,0,0);
    vector3<double> wte(10,0,0);
    w_motion.m_p0 = coordsys<double>(wts, wrs);
    w_motion.m_p1 = coordsys<double>(wte, wre);
10   w_motion.init();

    // Print interpolated positions
    double t = 0.;
    for (int i=0;i <= 8; i++) {
        coordsys<double> c = w_motion.pos(t);
        std::cout << "Vektor: " << c.T() << " orientering: " <<
        c.Q() << std::endl;
        t += 1. / 8.;

20
    }
    return true;
}

```

12.6 AB02

```

1  bool cApplication::Init()
{
    matrix3x3<double> wrs = diag(1.0); // Rotation is identity
    matrix3x3<double> wre = Rx(OT_M_PI); // Rotation is 180 degress around X-axis
5
    vector3<double> wts(0,0,0);
    vector3<double> wte(0,0,0);
    w_motion.m_p0 = coordsys<double>(wts, wrs);
    w_motion.m_p1 = coordsys<double>(wte, wre);
10   w_motion.init();

    // Print interpolated positions
    double t = 0.;
    for (int i=0;i <= 8; i++) {
        coordsys<double> c = w_motion.pos(t);
        std::cout << "Vektor: " << c.T() << " orientering: " <<
        c.Q() << std::endl;
        t += 1. / 8.;

20
    }
    return true;
}

```

12.7 AO00

```

1  bool cApplication::Init()
{
    // Motion for first OBB
    matrix3x3<double> wrs = diag(1.0); // Rotation is identity
    matrix3x3<double> wre = diag(1.0); // Rotation is identity
    vector3<double> wts(0,0,0);
    vector3<double> wte(-10,0,0);
    w_motion.m_p0 = coordsys<double>(wts, wrs);
    w_motion.m_p1 = coordsys<double>(wte, wre);
10   w_motion.init();
}

```

```

// Motion for second OBB
matrix3x3<double> brs = diag(1.0); // Rotation is identity
matrix3x3<double> bre = diag(1.0); // Rotation is identity
15   vector3<double> bts(10,0,0);
vector3<double> bte(20,0,0);
b_motion.m_p0 = coordsys<double>(bts, brs);
b_motion.m_p1 = coordsys<double>(bte, bre);
b_motion.init();

20   // Our OBB/OBB checker
// Our OBB checker takes the OBBs as boost shared pointers
OpenTissue::cont_coll_obb<double, obb_type> obb_checker;

25   // First OBB
vector3<double> obb_center(0,0,0);           // Center of OBB
matrix3x3<double> obb_orien = diag(1.0); // Orientation of OBB
vector3<double> obb_extends(1,1,1);          // Extends of OBB
boost::shared_ptr<OBB<double>> o1(
30     new obb_type(obb_center, obb_orien, obb_extends));

// Second OBB
vector3<double> obb_center2(10,0,0); // Center of OBB
boost::shared_ptr<OBB<double>> o2(
35     new obb_type(obb_center2, obb_orien, obb_extends));

// The two OBBs moves away from eachother: O1 startes at x=0 and moves to
// x=-10. O2 starts at x=10 and moves to X=20. They can therefore not
// collide since they both have half-extends of 1 along the x-axis.
40   // In case of collision, t is the conservative collision time
double t = obb_checker.check_pair(o1, w_motion, o2, b_motion, 0., 1.);
if (t >= 0.0)
    std::cout << "Collision found" << std::endl;
45 else
    std::cout << "Collision not found" << std::endl;

return true;
}

```

12.8 AO01

```

1  bool cApplication::Init()
{
    // Motion for first OBB
    matrix3x3<double> wrs = diag(1.0); // Rotation is identity
    matrix3x3<double> wre = diag(1.0); // Rotation is identity
5    vector3<double> wts(0,0,0);
vector3<double> wte(10,0,0);
w_motion.m_p0 = coordsys<double>(wts, wrs);
w_motion.m_p1 = coordsys<double>(wte, wre);
10   w_motion.init();

    // Motion for second OBB
    matrix3x3<double> brs = diag(1.0); // Rotation is identity
    matrix3x3<double> bre = diag(1.0); // Rotation is identity
15   vector3<double> bts(10,0,0);
vector3<double> bte(0,0,0);
b_motion.m_p0 = coordsys<double>(bts, brs);
b_motion.m_p1 = coordsys<double>(bte, bre);
b_motion.init();

20   // Our OBB/OBB checker
// Our OBB checker takes the OBBs as boost shared pointers
OpenTissue::cont_coll_obb<double, obb_type> obb_checker;

25   // First OBB
vector3<double> obb_center(0,0,0);           // Center of OBB
matrix3x3<double> obb_orien = diag(1.0); // Orientation of OBB
vector3<double> obb_extends(1,1,1);          // Extends of OBB
boost::shared_ptr<OBB<double>> o1(
30     new obb_type(obb_center, obb_orien, obb_extends));

// Second OBB
vector3<double> obb_center2(10,0,0); // Center of OBB

```

```

35     boost::shared_ptr<OBB<double> > O2(
            new obb_type(obb_center2, obb_orien, obb_extends));
        // The two OBBs collides: O1 startes at x=0 and moves to
        // x=10. O2 starts at x=10 and moves to X=0.
40     // In case of collision, t is the conservative collision time
        double t = obb_checker.check_pair(O1, w_motion, O2, b_motion, 0., 1.);
        if (t>= 0.0)
            std::cout << "Collision found" << std::endl;
        else
            std::cout << "Collision not found" << std::endl;
        return true;
    }
}

```

12.9 AO02

```

1  bool cApplication::Init()
{
    // Motion for first OBB
    matrix3x3<double> wrs = diag(1.0); // Rotation is identity
    5   matrix3x3<double> wre = diag(1.0); // Rotation is identity
        vector3<double> wts(0,0,0);
        vector3<double> wte(-10,0,0);
        w_motion.m_p0 = coordsys<double>(wts, wrs);
        w_motion.m_p1 = coordsys<double>(wte, wre);
    10  w_motion.init();

    // Motion for second OBB
    matrix3x3<double> brs = diag(1.0); // Rotation is identity
    matrix3x3<double> bre = diag(1.0); // Rotation is identity
    15  vector3<double> bts(0,0,0);
        vector3<double> bte(10,0,0);
        b_motion.m_p0 = coordsys<double>(bts, brs);
        b_motion.m_p1 = coordsys<double>(bte, bre);
        b_motion.init();
    20

    // Our OBB/OBB checker
    // Our OBB checker takes the OBBs as boost shared pointers
    OpenTissue::cont_coll_obb<double> obb_checker;

    25 // First OBB
    vector3<double> obb_center(0,0,0);           // Center of OBB
    matrix3x3<double> obb_orien = diag(1.0); // Orientation of OBB
    vector3<double> obb_extends(1,1,1);          // Extends of OBB
    boost::shared_ptr<OBB<double> > O1(
    30   new obb_type(obb_center, obb_orien, obb_extends));

    // Second OBB
    vector3<double> obb_center2(10,0,0); // Center of OBB
    boost::shared_ptr<OBB<double> > O2(
    35   new obb_type(obb_center2, obb_orien, obb_extends));

    // The two OBBs collides at time 0: they both start at position (0,0,0)

    // In case of collision, t is the conservative collision time
    40  double t = obb_checker.check_pair(O1, w_motion, O2, b_motion, 0., 1.);
        if (t>= 0.0)
            std::cout << "Collision found" << std::endl;
        else
            std::cout << "Collision not found" << std::endl;
    45
        return true;
}

```

12.10 AE00

```

1  bool cApplication::Init()
{
    // Motion for first edge
    matrix3x3<double> wrs = diag(1.0); // Rotation is identity
    5   matrix3x3<double> wre = diag(1.0); // Rotation is identity

```

```

    vector3<double> wts(0,0,0);
    vector3<double> wte(-10,0,0);
    w_motion.m_p0 = coordsys<double>(wts, wrs);
    w_motion.m_p1 = coordsys<double>(wte, wre);
10   w_motion.init();

    // Motion for second edge
    matrix3x3<double> brs = diag(1.0); // Rotation is identity
    matrix3x3<double> bre = diag(1.0); // Rotation is identity
15   vector3<double> bts(10,0,0);
    vector3<double> bte(20,0,0);
    b_motion.m_p0 = coordsys<double>(bts, brs);
    b_motion.m_p1 = coordsys<double>(bte, bre);
    b_motion.init();
20

    // Our EDGE/EDGE checker
    OpenTissue::cont_coll_edge<double> edge_edge_checker;

    // First edge
25   vector3<double> e1a(0,0,0);
    vector3<double> e1b(1,0,0);

    // Second edge
30   vector3<double> e2a(0,0,0);
    vector3<double> e2b(1,0,0);

    // In case of collision, t is the conservative collision time
    vector3<double> not_used1; // normal
    vector3<double> not_used2; // point
35   double not_used3; // time
    bool coll = edge_edge_checker.check(e1a, e1b, w_motion,
                                         e2a, e2b, b_motion, not_used1, not_used2, not_used3);

    // The edges do not collide. They start separated and move in different
40   // directions
    if (coll)
        std::cout << "Collision found" << std::endl;
    else
        std::cout << "Collision not found" << std::endl;
45

    return true;
}

```

12.11 AE01

```

1  bool cApplication::Init()
{
    // Motion for first edge
    matrix3x3<double> wrs = diag(1.0); // Rotation is identity
    matrix3x3<double> wre = diag(1.0); // Rotation is identity
5   vector3<double> wts(0,0,0);
    vector3<double> wte(10,0,0);
    w_motion.m_p0 = coordsys<double>(wts, wrs);
    w_motion.m_p1 = coordsys<double>(wte, wre);
10   w_motion.init();

    // Motion for second edge
    matrix3x3<double> brs = diag(1.0); // Rotation is identity
    matrix3x3<double> bre = diag(1.0); // Rotation is identity
15   vector3<double> bts(10,0,0);
    vector3<double> bte(0,0,0);
    b_motion.m_p0 = coordsys<double>(bts, brs);
    b_motion.m_p1 = coordsys<double>(bte, bre);
    b_motion.init();
20

    // Our EDGE/EDGE checker
    OpenTissue::cont_coll_edge<double> edge_edge_checker;

    // First edge
25   vector3<double> e1a(0,0,-1);
    vector3<double> e1b(0,0,1);

    // Second edge
    vector3<double> e2a(-1,0,0);

```

```

30     vector3<double> e2b(1,0,0);
31     // In case of collision, t is the conservative collision time
32     vector3<double> not_used1; // normal
33     vector3<double> not_used2; // point
34     double not_used3;           // time
35     bool coll = edge_edge_checker.check(e1a, e1b, w_motion,
36                                         e2a, e2b, b_motion, not_used1, not_used2, not_used3);
37
38     // The edges do collide. They start seperated and move towards
39     // eachother, they will pass thru eachother
40     if (coll)
41         std::cout << "Collision found" << std::endl;
42     else
43         std::cout << "Collision not found" << std::endl;
44
45     return true;
}

```

12.12 AE02

```

1  bool cApplication::Init()
{
    // Motion for first edge
    matrix3x3<double> wrs = diag(1.0); // Rotation is identity
    matrix3x3<double> wre = diag(1.0); // Rotation is identity
    vector3<double> wts(0,0,0);
    vector3<double> wte(10,0,0);
    w_motion.m_p0 = coordsys<double>(wts, wrs);
    w_motion.m_p1 = coordsys<double>(wte, wre);
    w_motion.init();

    // Motion for second edge
    matrix3x3<double> brs = diag(1.0); // Rotation is identity
    matrix3x3<double> bre = diag(1.0); // Rotation is identity
    vector3<double> bts(0,0,0);
    vector3<double> bte(10,0,0);
    b_motion.m_p0 = coordsys<double>(bts, brs);
    b_motion.m_p1 = coordsys<double>(bte, bre);
    b_motion.init();

    // Our EDGE/EDGE checker
    OpenTissue::cont_coll_edge<double> edge_edge_checker;

    // First edge
    vector3<double> e1a(0,0,-1);
    vector3<double> e1b(0,0,1);

    // Second edge
    vector3<double> e2a(-1,0,0);
    vector3<double> e2b(1,0,0);

    // In case of collision, t is the conservative collision time
    vector3<double> not_used1; // normal
    vector3<double> not_used2; // point
    double not_used3;           // time
    bool coll = edge_edge_checker.check(e1a, e1b, w_motion,
                                         e2a, e2b, b_motion, not_used1, not_used2, not_used3);

    // The edges do collide. They start off coliding
    if (coll)
        std::cout << "Collision found" << std::endl;
    else
        std::cout << "Collision not found" << std::endl;
}

```

12.13 AVF00

```

1  bool cApplication::Init()
{

```

```

    // Motion for point
    matrix3x3<double> wrs = diag(1.0); // Rotation is identity
    matrix3x3<double> wre = diag(1.0); // Rotation is identity
    vector3<double> wts(0,0,0);
    vector3<double> wte(-10,0,0);
    w_motion.m_p0 = coordsys<double>(wts, wrs);
    w_motion.m_p1 = coordsys<double>(wte, wre);
    w_motion.init();

    // Motion for face
    matrix3x3<double> brs = diag(1.0); // Rotation is identity
    matrix3x3<double> bre = diag(1.0); // Rotation is identity
    vector3<double> bts(10,0,0);
    vector3<double> bte(20,0,0);
    b_motion.m_p0 = coordsys<double>(bts, brs);
    b_motion.m_p1 = coordsys<double>(bte, bre);
    b_motion.init();

    // Our FACE/POINT checker
    OpenTissue::cont_coll_face_point<double> face_point_checker;

    // Point
    e1a = vector3<double>(0,0,0);

    // Face
    f1a = vector3<double>(0,0,-1);
    f1b = vector3<double>(0,0,1);
    f1c = vector3<double>(0,1,0);

    // In case of collision, t is the conservative collision time
    double t = face_point_checker.check_face_point(e1a, w_motion,
                                                    f1a, f1b, f1c, b_motion, 0, 1);

    // The face and point does not collide. They start off seperated
    // and move away from eachother
    if (t>=0.0)
        std::cout << "Collision found" << std::endl;
    else
        std::cout << "Collision not found" << std::endl;

    return true;
}

```

12.14 AVF01

```

1  bool cApplication::Init()
{
    // Motion for point
    matrix3x3<double> wrs = diag(1.0); // Rotation is identity
    matrix3x3<double> wre = diag(1.0); // Rotation is identity
    vector3<double> wts(0,0,0);
    vector3<double> wte(10,0,0);
    w_motion.m_p0 = coordsys<double>(wts, wrs);
    w_motion.m_p1 = coordsys<double>(wte, wre);
    w_motion.init();

    // Motion for face
    matrix3x3<double> brs = diag(1.0); // Rotation is identity
    matrix3x3<double> bre = diag(1.0); // Rotation is identity
    vector3<double> bts(10,0,0);
    vector3<double> bte(0,0,0);
    b_motion.m_p0 = coordsys<double>(bts, brs);
    b_motion.m_p1 = coordsys<double>(bte, bre);
    b_motion.init();

    // Our FACE/POINT checker
    OpenTissue::cont_coll_face_point<double> face_point_checker;

    // Point
    e1a = vector3<double>(0,0,0);

    // Face
    f1a = vector3<double>(0,0,-1);
    f1b = vector3<double>(0,0,1);
    f1c = vector3<double>(0,1,0);

```

```

    // In case of collision, t is the conservative collision time
    double t = face_point_checker.check_face_point(e1a, w_motion,
        f1a, fib, f1c, b_motion, 0, 1);
35
    // The face and point does collide. They start off seperated
    // and move towards eachother, they move thru eachother
    if (t>=0.0)
        std::cout << "Collision found" << std::endl;
40
    else
        std::cout << "Collision not found" << std::endl;

    return true;
}

```

12.15 AVF02

```

1  bool cApplication::Init()
{
    // Motion for point
    matrix3x3<double> wrs = diag(1.0); // Rotation is identity
5
    matrix3x3<double> wre = diag(1.0); // Rotation is identity
    vector3<double> wts(0,0,0);
    vector3<double> wte(10,0,0);
    w_motion.m_p0 = coordsys<double>(wts, wrs);
    w_motion.m_p1 = coordsys<double>(wte, wre);
10
    w_motion.init();

    // Motion for face
    matrix3x3<double> brs = diag(1.0); // Rotation is identity
    matrix3x3<double> bre = diag(1.0); // Rotation is identity
15
    vector3<double> bts(0,0,0);
    vector3<double> bte(10,0,0);
    b_motion.m_p0 = coordsys<double>(bts, brs);
    b_motion.m_p1 = coordsys<double>(bte, bre);
    b_motion.init();
20
    // Our FACE/POINT checker
    OpenTissue::cont_coll_face_point<double> face_point_checker;

    // Point
25
    e1a = vector3<double>(0,0,0);

    // Face
    f1a = vector3<double>(0,0,-1);
    f1b = vector3<double>(0,0,1);
30
    f1c = vector3<double>(0,1,0);

    // In case of collision, t is the conservative collision time
    double t = face_point_checker.check_face_point(e1a, w_motion,
        f1a, fib, f1c, b_motion, 0, 1);
35
    // The face and point does collide. They start colliding
    if (t>=0.0)
        std::cout << "Collision found" << std::endl;
    else
40
        std::cout << "Collision not found" << std::endl;

    return true;
}

```

12.16 AT00

```

1  bool cApplication::Init()
{
    // Load mesh to build OBB tree around
    if (!mesh_default_read("/home/jnj/src/DataTissue/mesh/teapot.msh",
5
        bMesh)) return false;
    // Note: this teapot has a maximum spread of 40 units

    // Build OBB BVHs
    constructor_type BVHconstructor1;
10
    create_obb_tree(bMesh, wBVH , BVHconstructor1); // First tree
}

```

```

    constructor_type BVHconstructor2;
    create_obb_tree(bMesh, bBVH, BVHconstructor2); // Second tree

15   // Motion for first tree
    matrix3x3<double> wrs = diag(1.0);
    matrix3x3<double> wre = diag(1.0);

    vector3<double> wts(0,0,0);
    vector3<double> wte(-10,0,0);
20   w_motion.m_p0 = coordsys<double>(wts, wrs);
    w_motion.m_p1 = coordsys<double>(wte, wre);
    w_motion.init();

    // Motion for second tree
    matrix3x3<double> brs = diag(1.0);
    matrix3x3<double> bre = diag(1.0);

    vector3<double> bts(40,0,0);
    vector3<double> bte(50,0,0);
30   b_motion.m_p0 = coordsys<double>(bts, brs);
    b_motion.m_p1 = coordsys<double>(bte, bre);
    b_motion.init();

    OpenTissue::cont_coll_obb<double, obb_type> obb_check;
35   cont_coll_bvh_world<obb_coll_policy<bvh_type>> bvh_obb_check;
    bvh_obb_check.set_m1(w_motion);
    bvh_obb_check.set_m2(b_motion);
    bvh_obb_check.set_obb_checker(obb_check);
    bvh_obb_check.set_edge_edge_checker(edge_check);
40   bvh_obb_check.set_face_point_checker(face_check);

    bvh_obb_check.run_world_check(wBVH, bBVH, obb_colls);

    // The objects does not collide: they start off seperated and move away
45   // from eachother
    if (obb_colls.size())
        std::cout << "Collision found" << std::endl;
    else
        std::cout << "Collision not found" << std::endl;
50   return true;
}

```

12.17 AT01

```

1  bool cApplication::Init()
{
    // Load mesh to build OBB tree around
    if (!mesh_default_read("/home/jnj/src/DataTissue/mesh/teapot.ms",
5      bMesh)) return false;
    // Note: this teapot has a maximum spread of 40 units

    // Build OBB BVHs
    constructor_type BVHconstructor1;
10   create_obb_tree(bMesh, wBVH, BVHconstructor1); // First tree
    constructor_type BVHconstructor2;
    create_obb_tree(bMesh, bBVH, BVHconstructor2); // Second tree

    // Motion for first tree
15   matrix3x3<double> wrs = diag(1.0);
    matrix3x3<double> wre = diag(1.0);

    vector3<double> wts(0,0,0);
    vector3<double> wte(-10,0,0);
20   w_motion.m_p0 = coordsys<double>(wts, wrs);
    w_motion.m_p1 = coordsys<double>(wte, wre);
    w_motion.init();

    // Motion for second tree
25   matrix3x3<double> brs = diag(1.0);
    matrix3x3<double> bre = diag(1.0);

    vector3<double> bts(40,0,0);
    vector3<double> bte(50,0,0);
30   b_motion.m_p0 = coordsys<double>(bts, brs);

```

```

    b_motion.m_p1 = coordsys<double>(bte, bre);
    b_motion.init();

35   OpenTissue::cont_coll_obb<double, obb_type> obb_check;
    cont_coll_bvh_world<obb_coll_policy<bvh_type>> bvh_obb_check;
    bvh_obb_check.set_m1(w_motion);
    bvh_obb_check.set_m2(b_motion);
    bvh_obb_check.set_obb_checker(obb_check);
    bvh_obb_check.set_edge_edge_checker(edge_check);
40   bvh_obb_check.set_face_point_checker(face_check);

    bvh_obb_check.run_world_check(wBVH, bBVH, obb_colls);

    // The objects does collide: they start off seperated and move
45   // towards eachother, they move thru eachother
    if (obb_colls.size())
        std::cout << "Collision found" << std::endl;
    else
        std::cout << "Collision not found" << std::endl;
50
    return true;
}

```

12.18 AT02

```

1  bool cApplication::Init()
{
    // Load mesh to build OBB tree around
    if (!mesh_default_read("/home/jnj/src/DataTissue/mesh/teapot.msh",
5      bMesh)) return false;
    // Note: this teapot has a maximum spread of 40 units

    // Build OBB BVHs
    constructor_type BVHconstructor1;
10   create_obb_tree(bMesh, wBVH, BVHconstructor1); // First tree
    constructor_type BVHconstructor2;
    create_obb_tree(bMesh, bBVH, BVHconstructor2); // Second tree

    // Motion for first tree
15   matrix3x3<double> wrs = diag(1.0);
    matrix3x3<double> wre = diag(1.0);

    vector3<double> wts(0,0,0);
    vector3<double> wte(10,0,0);
20   w_motion.m_p0 = coordsys<double>(wts, wrs);
    w_motion.m_p1 = coordsys<double>(wte, wre);
    w_motion.init();

    // Motion for second tree
25   matrix3x3<double> brs = diag(1.0);
    matrix3x3<double> bre = diag(1.0);

    vector3<double> bts(15,0,0);
    vector3<double> bte(40,0,0);
30   b_motion.m_p0 = coordsys<double>(bts, brs);
    b_motion.m_p1 = coordsys<double>(bte, bre);
    b_motion.init();

    OpenTissue::cont_coll_obb<double, obb_type> obb_check;
35   cont_coll_bvh_world<obb_coll_policy<bvh_type>> bvh_obb_check;
    bvh_obb_check.set_m1(w_motion);
    bvh_obb_check.set_m2(b_motion);
    bvh_obb_check.set_obb_checker(obb_check);
    bvh_obb_check.set_edge_edge_checker(edge_check);
40   bvh_obb_check.set_face_point_checker(face_check);

    bvh_obb_check.run_world_check(wBVH, bBVH, obb_colls);

    // The objects does collide: they start off colliding
45   if (obb_colls.size())
        std::cout << "Collision found" << std::endl;
    else
        std::cout << "Collision not found" << std::endl;
}

```

```
50      return true;
}
```

13 Bilag B, Testresultater

13.1 AB00

```
Vektor: [0,0,0] orientering: [1,0,0,0]
```

Korrekt.

13.2 AB01

```
Vektor: [0,0,0] orientering: [1,0,0,0]
Vektor: [1.25,0,0] orientering: [1,0,0,0]
Vektor: [2.5,0,0] orientering: [1,0,0,0]
Vektor: [3.75,0,0] orientering: [1,0,0,0]
Vektor: [5,0,0] orientering: [1,0,0,0]
Vektor: [6.25,0,0] orientering: [1,0,0,0]
Vektor: [7.5,0,0] orientering: [1,0,0,0]
Vektor: [8.75,0,0] orientering: [1,0,0,0]
Vektor: [10,0,0] orientering: [1,0,0,0]
```

Korrekt.

13.3 AB02

```
Vektor: [0,0,0] orientering: [1,0,0,0]
Vektor: [0,0,0] orientering: [0.980785,-0.19509,0,0]
Vektor: [0,0,0] orientering: [0.92388,-0.382683,0,0]
Vektor: [0,0,0] orientering: [0.83147,-0.55557,0,0]
Vektor: [0,0,0] orientering: [0.707107,-0.707107,0,0]
Vektor: [0,0,0] orientering: [0.55557,-0.83147,0,0]
Vektor: [0,0,0] orientering: [0.382683,-0.92388,0,0]
Vektor: [0,0,0] orientering: [0.19509,-0.980785,0,0]
Vektor: [0,0,0] orientering: [-6.12303e-17,-1,0,0]
```

Korrekt idet -6.12303e-17 kan anses som værende nul.

13.4 AO00

Collision not found

Korrekt.

13.5 AO01

Collision found

Korrekt.

13.6 AO02

Collision found

Korrekt.

13.7 AE00

Collision not found

Korrekt.

13.8 AE01

Collision found

Korrekt.

13.9 AE02

Collision found

Korrekt.

13.10 AVF00

Collision not found

Korrekt

13.11 AVF01

Collision found

Korrekt.

13.12 AVF02

Collision found

Korrekt.

13.13 AT00

Collision not found

Korrekt

13.14 AT01

```
I found collision at time: 0.984375
I found collision at time: 0.950195
I found collision at time: 0.934814
I found collision at time: 0.922318
I found collision at time: 0.867243
I found collision at time: 0.859403
I found collision at time: 0.84767
I found collision at time: 0.796388
I found collision at time: 0.788819
I found collision at time: 0.781128
I found collision at time: 0.757782
I found collision at time: 0.749985
I found collision at time: 0.74218
I found collision at time: 0.736322
I found collision at time: 0.729976
Collision found
```

Korrekt (de udskrevne tider er fundne kollisionstider imellem geometri).

13.15 AT02

```
I found collision at time: 0.0703125
I found collision at time: 0.0585938
I found collision at time: 0.0317383
I found collision at time: 0
```

```
I found collision at time: 0
```

Korrekt (de udskrevne tider er fundne kollisionstider imellem geometri).

14 Bilag C, Kode

14.1 arbitrary_motion.h

```
1  #ifndef OPENTISSUE_COLLISION_CONTINUOUS_ARBITRARY_MOTION_H
2  #define OPENTISSUE_COLLISION_CONTINUOUS_ARBITRARY_MOTION_H
3  /*
4   * An arbitrary motion.
5   *
6   * This is the interface a "real" motion must implement.
7   *
8   * Jackj.
9   */
10
11  #include "interval.h"
12  #include <OpenTissue/math/coordsys.h>
13  #include <OpenTissue/math/quaternion.h>
14  #include <OpenTissue/math/vector.h>
15  #include <OpenTissue/math/matrix.h>

16  namespace OpenTissue
17  {
18
19      template<typename real_type_>
20      class arbitrary_motion
21      {
22
23          public:
24
25              typedef vector3<real_type_>                                vector_type;
26              typedef matrix3x3<real_type_>                            matrix_type;
27
28              typedef OpenTissue::interval<real_type_>                  int_type;
29              typedef vector3<int_type>                                    vector_i_type;
30              typedef quaternion<int_type>                                quaternion_i_type;
31              typedef matrix3x3<int_type>                            matrix_i_type;
32
33          public:
34
35              virtual ~arbitrary_motion() {}
36
37          public:
```

```

40      /*
41       * Function can set up needed variables, will be called
42       * before anything else.
43       */
44   virtual void init() = 0;
45
46   /*
47    * Calculate interpolated position at time t.
48    */
49   virtual coordsys<real_type> pos(real_type_ const &t) const = 0;
50
51   /*
52    * Returns precalced position (translation part)
53    * at time int_step *n
54    */
55   virtual vector_type pos_translationsprec(unsigned int const n)
56       const = 0;
57
58   /*
59    * Returns precalced position (orientation part)
60    * at time int_step *n
61    */
62   virtual matrix_type pos_rotationprec(unsigned int const n)
63       const = 0;
64
65   /*
66    * Bound rotation in interval [t0, t1]
67    */
68   virtual quaternion_i_type bound_rotation(real_type_ const &t0,
69                                             real_type_ const &t1) const = 0;
70
71   /*
72    * Bound rotation in interval [int_step*n, int_step*(n+1)],
73    * these values are considered pre-calced (in init()).
74    * See below for an explanation of int_step
75    */
76   virtual matrix_i_type bound_rotation_prec(unsigned int const n)
77       const = 0;
78
79   /*
80    * Bound translation in interval [t0, t1]
81    */
82   virtual vector_i_type bound_translation(real_type_ const &t0,
83                                            real_type_ const &t1) const = 0;
84
85   /*
86    * Bound translation in interval [int_step*n, int_step*(n+1)],
87    * these values are considered pre-calced (in init()).
88    * See below for an explanation of int_step
89    */
90   virtual vector_i_type bound_translation_prec(unsigned int const n)
91       const = 0;
92
93   /*
94    * Return pos'(t)
95    */
96   virtual coordsys<real_type> derived_pos(real_type_ const &t)
97       const = 0;
98
99   /*
100    * 2^refinement level = number of subintervals [0,1] is split
101    * into when pre-calcing bounds
102    */
103   virtual unsigned int refinement_level() const = 0;
104
105   /*
106    * 1 / (2 ^refinement level)
107    *
108    * In other words, the length of the subintervals we split
109    * [0,1] into when pre-calcing bounds
110    * Considered pre-calced
111    */
112   virtual real_type_ int_step() const = 0;
113
114   /*
115    * Returns n so that

```

```

        * t-int_step<=n*int_step<=t
        */
    virtual unsigned int bucket_lower(real_type_ const &t) const = 0;

120      /*
        * Returns n so that
        * t<=n*int_step<=t+int_step
        */
    virtual unsigned int bucket_upper(real_type_ const &t) const = 0;

125      };

    // arbitrary_motion class

130      // this is mostly for debugging.
    // Print an interval "[a,b]"
    template<typename V>
        std::ostream & operator<<
            (std::ostream &o, boost::numeric::interval<V> const &i)
    {
        o << "[" << i.lower() << "," << i.upper() << "]";
        return o;
    }

} // OpenTissue namespace
140 #endif // OPENTISSUE_COLLISION_CONTINUOUS_ARBITRARY_MOTION_H

```

14.2 arbitrary_constant.h

```

1  #ifndef OPENTISSUE_COLLISION_CONTINUOUS_ARBITRARY_CONSTANT_H
# define OPENTISSUE_COLLISION_CONTINUOUS_ARBITRARY_CONSTANT_H

5   /*
    * Arbitrary motion with constant translation and rotation.
    *
    * Parameters for this motion:
    *
    * p0: Object's position at time 0.
10   * p1: Object's position at time 1.
    *
    * Jackj.
    */
15  #include <math.h>
#include <boost/numeric/interval.hpp>
#include "interval.h"
#include <OpenTissue/math/constants.h>
#include <OpenTissue/math/coordsys.h>
20  #include <OpenTissue/math/vector.h>
#include <OpenTissue/math/matrix.h>
#include <OpenTissue/math/quaternion.h>
#include "arbitrary_motion.h"

25  namespace OpenTissue
{

    template<typename real_type_>
    class arbitrary_constant : public arbitrary_motion<real_type_>
30  {
    public:
        typedef real_type_                                real_type;
        typedef matrix3x3<real_type>                      matrix_type;
35        typedef vector3<real_type>                        vector_type;
        typedef quaternion<real_type>                      quaternion_type;
        typedef OpenTissue::interval<real_type>           int_type;
        typedef vector3<int_type>                          vector_i_type;
40        typedef quaternion<int_type>                     quaternion_i_type;
        typedef matrix3x3<int_type>                       matrix_i_type;

    public:
45        coordsys<real_type> m_p0;      // Object's position at time 0

```

```

    coordsys<real_type> m_p1;      // Object's position at time 1

protected:
50     // These variables are calculated in init()
    vector_type          m_trans;        // Object's translation in [0,1]
    real_type            m_sin_w_inv;   // 1/sin(w)
    real_type            m_w;           // acos(m_A*m_B) (below)
    int                 m_type_slerp;   // type of slerp
55     quaternion_type   m_A;           // Start orientation
    quaternion_type   m_B;           // End orientation
    bool                m_slerp_way;    // This is used in derived_pos

    template<typename real_type>
60     class precalced {
        // Contains either bounds or a position
        friend class arbitrary_constant;
65     protected:
        vector3<real_type>  m_trans;
        matrix3x3<real_type> m_ort;
70     }; // precalced class

        real_type             m_int_step;
        std::vector<precalced<int_type> > m_precalc_bounds;
75     std::vector<precalced<real_type> > m_precalc_values;

public:
80     arbitrary_constant()
        : m_p0()
        , m_p1() {}

85     arbitrary_constant(coordsys<real_type> p0, coordsys<real_type> p1)
        : m_p0(p0)
        , m_p1(p1) {}

        // this one would make sense for traditional discrete
        // collision detection
90     arbitrary_constant(coordsys<real_type> p0)
        : m_p0(p0)
        , m_p1(p0) {}

        arbitrary_constant(arbitrary_constant const &m)
95     : m_p0(m.m_p0)
        , m_p1(m.m_p1)
        , m_trans(m.m_trans) {}

        virtual ~arbitrary_constant() {}

100    private:
        /*
         * Interpolates orientation like slerp2 in quaternion.h,
         * uses some precalced constants.
         */
105    quaternion_type precalced_slerp2(real_type const &t) const
    {
        using std::sin;

110    if (!m_type_slerp)
        return ((1.-t)*m_A + t*m_B);
        if (m_type_slerp == 1) {
            real_type t_pi = t*OT_M_PI;
            return (sin((OT_M_PI/2.)*t_pi)*m_A + sin(t_pi)*m_B);
115    }

        real_type t_w = t*m_w;
        return (sin(m_w-t_w)*m_sin_w_inv*m_A + sin(t_w)*m_sin_w_inv*m_B);
    }

120    public:

```

```

125     void init()
126     {
127         m_trans = m_p1.T() - m_p0.T();
128         // This is very much like slerp2 in quaternion.h
129         //
130         m_A = m_p0.Q();
131         m_B = m_p1.Q();
132         real_type q_tiny = 10e-7;
133
134         real_type cos_omega = m_A * m_B;
135
136         if ((1.0-cos_omega)<q_tiny) {
137             // Linear
138             m_type_slerp = 0;
139         } else
140         if ((1.0+cos_omega)<q_tiny) {
141             // Normal, but we go q0->hat(q0)->-q0=q1
142             m_type_slerp = 1;
143             m_B = hat(m_A);
144         } else {
145             // Normal
146             m_type_slerp = 2;
147
148             // Figure out which way is shortest around hypersphere
149             quaternion<real_type> C = m_A+m_B;
150             real_type l1 = C*C;
151             C = m_A-m_B;
152             real_type l2 = C*C;
153             m_slerp_way = l2<l1;
154             if (m_slerp_way)
155                 m_B = -m_B;
156
157             using std::acos;
158             using std::sin;
159             m_w = acos(cos_omega);
160             m_sin_w_inv = 1. / sin(m_w);
161         }
162
163         // Now precalc motion bounds at some fixed times:
164         // 0, m_int_step, 2*m_int_step, ..., // 2^(refinement level)*m_int_step=1
165         using std::pow;
166
167         unsigned int r =
168             (unsigned int)(pow(2., (real_type)refinement_level()));
169         m_precalc_values.reserve(r);
170         m_precalc_bounds.reserve(r);
171
172         m_int_step = 1. / (real_type)r;
173
174         // Precalced bounds
175         for (real_type t = 0.; t < 1; t+=m_int_step) {
176             precalced<int_type> b;
177
178             b.m_trans = bound_translation(t, t+m_int_step);
179             b.m_ort = bound_rotation(t, t+m_int_step);
180             m_precalc_bounds.push_back(b);
181         }
182
183         // Precalced positions
184         for (real_type t = 0.; t <= 1; t+=m_int_step) {
185             precalced<real_type> b;
186
187             coordsys<real_type> post = pos(t);
188             b.m_trans = post.T();
189             b.m_ort = post.Q();
190             m_precalc_values.push_back(b);
191         }
192
193         unsigned int refinement_level() const
194     {

```

```

200
    return 7;
}
real_type int_step() const
{
    return m_int_step;
}
205
unsigned int bucket_lower(real_type const &t) const
{
    using std::floor;
    return (unsigned int)floor(t / m_int_step);
}
210
unsigned int bucket_upper(real_type const &t) const
{
    using std::ceil;
    return (unsigned int)ceil(t / m_int_step);
}
215
coordsys<real_type> pos(real_type const &time) const
{
    quaternion<real_type> rot = precalced_slerp2(time);
    return coordsys<real_type>(m_p0.T() + time*m_trans, // trans.
                                rot); // rot.
}
220
vector_type pos_translationsprec(unsigned int const n) const
{
    return m_precalc_values[n].m_trans;
}
225
matrix_type pos_rotationprec(unsigned int const n) const
{
    return m_precalc_values[n].m_ort;
}
230
// Bounds on rotation in time interval [t0, t1]
quaternion_i_type bound_rotation(real_type_ const &t0,
                                 real_type_ const &t1) const
{
235
    quaternion<real_type> startr = precalced_slerp2(t0);
    quaternion<real_type> endr = precalced_slerp2(t1);

    return quaternion_i_type(
        startr.s() > endr.s() ?
        int_type(endr.s(), startr.s()) :
        int_type(startr.s(), endr.s()),

        startr.v()[0] > endr.v()[0] ?
        int_type(endr.v()[0], startr.v()[0]) :
        int_type(startr.v()[0], endr.v()[0]),

        startr.v()[1] > endr.v()[1] ?
        int_type(endr.v()[1], startr.v()[1]) :
        int_type(startr.v()[1], endr.v()[1]),

        startr.v()[2] > endr.v()[2] ?
        int_type(endr.v()[2], startr.v()[2]) :
        int_type(startr.v()[2], endr.v()[2])
    );
}
240
245
250
255
260
265
270
// Bounds on rotation, uses values calculated
// in init()
matrix_i_type bound_rotation_prec(unsigned int const n)
const
{
    return m_precalc_bounds[n].m_ort;
}

// Bounds on translation in time interval [t0, t1]
vector_i_type bound_translation(real_type_ const &t0,
                                 real_type_ const &t1) const

```

```

275      {
276          // Our translation is linear and so highest/lowest
277          // bounds must occur at time t0 / t1
278          vector3<real_type> start = m_p0.T() + m_trans*t0;
279          vector3<real_type> end = m_p0.T() + m_trans*t1;
280
281          vector_i_type boundsT;
282
283          if(start[0]>end[0]) // X
284              boundsT[0] = int_type(end[0], start[0]);
285          else
286              boundsT[0] = int_type(start[0], end[0]);
287          if(start[1]>end[1]) // Y
288              boundsT[1] = int_type(end[1], start[1]);
289          else
290              boundsT[1] = int_type(start[1], end[1]);
291          if(start[2]>end[2]) // Z
292              boundsT[2] = int_type(end[2], start[2]);
293          else
294              boundsT[2] = int_type(start[2], end[2]);
295
296          return boundsT;
297      }
298
299      // Bounds on translation
300      // Uses values calculated in init()
301      vector_i_type bound_translation_prec(unsigned int const n)
302      const
303      {
304          return m_precalc_bounds[n].m_trans;
305      }
306
307      /*
308      * Calculates dT/dt and dQ/t (where T is translation
309      * and Q is orientation).
310      *
311      * Calculates DT/dt (t) and dQ/t (t)
312      */
313      coordsys<real_type> derived_pos(real_type const &t) const
314      {
315
316          // ---- Translation
317          // T(t) = m_p0.T() + t*m_trans
318          // dT/dt (t) = m_trans(t) = m_trans
319
320          // ---- Orientation
321          // We recall that slerp2(q0,q1,u) is defined as
322          // q(u) = q0*sin((1-u)*w)/sin(w) + q1*sin(uw)/sin(w)
323          // where w = acos(q0q1)
324
325          // Diff. of (1) with respect to u gives us
326          // dq/du (u) = -(q0*cos((u-1)*w)*w) / sin(w)
327          //           + (q1*cos(t*w)*w) / sin(w)          (1)
328
329          // We notice that the "w-pitfalls" stays the same
330          // (we are still only dividing by sin(w)).
331
332          // In case of w==0 slerp2 uses linear interpolation,
333          // q(u) = (1-u)q0 + uq1
334          // which, diff. with respect to u, is,
335
336          // dq/du (u) = -q0 + q1 = q1-q0          (2)
337
338          // In case of w==pi slerp2 "cheats" (there is no
339          // unique solution afaik, since it's pretty much
340          // undefined what w=pi implies) and goes from q0
341          // to hat(q0) to -q0=q1, this is
342
343          // q(u) = q0 * sin (pi/2 - u*pi) + qh * sin(u*pi)
344
345          //
346      }

```

```

        // where qh = hat(q0),
        //
        // diff. with respect to u gives
        //
355      // dq/du (u) = -q0 * sin(u*pi)*pi + qh * cos(t*pi)*pi (3)
        //
        // quaternion<real_type> rot;

360      using std::cos;
      using std::sin;
      real_type tpi;
      real_type tw;

365      switch(m_type_slerp) {
        case 0:
          // Linear, equation (2)
          rot = m_p1.Q() - m_p0.Q();
          break;
370      case 1:
          // w==pi, equation (3)
          tpi = t*OT_M_PI;
          rot = (hat(m_p0.Q())*cos(tpi)
            - m_p0.Q()*sin(tpi)) * OT_M_PI;
375      default:
          // Normal, equation (1)

          tw = t*m_w;

380      m_slerp_way ?
          rot = -(m_p0.Q()*cos(tw-m_w)*m_w * m_sin_w_inv)
            -(m_p1.Q() * cos(tw)*m_w) * m_sin_w_inv
          :
          rot = -(m_p0.Q()*cos(tw-m_w)*m_w * m_sin_w_inv)
            +(m_p1.Q() * cos(tw)*m_w) * m_sin_w_inv;
        }

        return coordsys<real_type> (m_trans, rot);
390    }
}; // arbitrary_constant class
} // OpenTissue namespace
#endif // OPENTISSUE_COLLISION_CONTINUOUS_ARBITRARY_CONSTANT_H

```

14.3 cont_coll_bvh.h

```

1  #ifndef OPENTISSUE_COLLISION_CONTINUOUS_CONT_COLL_BVH_H
#define OPENTISSUE_COLLISION_CONTINUOUS_CONT_COLL_BVH_H

5   /*
   * Collision detection using BVH.
   *
   * Jackj.
   */
10  #include <list>
#include <OpenTissue/math/bounds.h>
#include <OpenTissue/utility/high_res_timer.h>

15  namespace OpenTissue {
/*
   * The policy the classes below inherit must
   * provide the following:
   *
   * typedef bvh_type
   * typedef bv_type
   * typedef result_type
   * typedef real_type
   *
   * -----
20   * bool bv_overlap(bv_type *a, bv_type *b, real_type &t0,
   *                  real_type &t1)
   *   - Checks if a and b collide in time interval [t0, t1]
   *   true if they collide, false if not.
25

```

```

30     * t0 is set to conservative collision time
31     *
32     * -----
33     * void reset(result_type &r)
34     * - reset whatever r contains.
35     *
36     * -----
37     * bool geometry_overlap(bv_type *a, bv_type *b, real_type &t0,
38     *                      real_type &t1)
39     * - Checks if geometry in a and b collides at some point
40     *   in time [t0, t1].
41     *   If function finds they do, it returns true and sets t0
42     *   to time of collision.
43     *
44     * Please note: geometries tested do not have to be in the
45     * final list of colliding geometries: We may find geometries
46     * with earlier collision time later on.
47     *
48     * -----
49     * void report(bv_type *a, bv_type *b, real_type &t, result_type &r)
50     * - a and b contains geometries with earliest collision
51     *   time: they collide at time t
52     *
53     * Function parameters may vary, check description before each
54     * class.
55     */
56
57     /*
58     * cont_coll_bvh_world
59     * ---
60     * Checks for collision between two BVHs
61     * in >same< CS (here called 'world' coordinate
62     * space)
63     */
64
65     template <typename collision_policy>
66     class cont_coll_bvh_world : public collision_policy
67     {
68
68     public:
69
70         typedef typename collision_policy::bvh_type           bvh_type;
71         typedef typename collision_policy::bv_type             bv_type;
72         typedef typename bvh_type::bv_ptr                     bv_ptr;
73         typedef typename collision_policy::result_type       result_type;
74         typedef typename collision_policy::real_type         real_type;
75         typedef typename bvh_type::bv_ptr_iterator            bv_ptr_iterator;
76
77     private:
78
79         // This is for debug only
80         HighResTimer<double>    obb_timer;
81         HighResTimer<double>    geom_timer;
82
83     public:
84
85         // This is for debug only
86         double                  obb_time_spent;
87         int                     number_obb;
88         double                  geom_time_spent;
89         int                     number_geom;
90
91     private:
92
93         class bv_to_check
94         {
95             friend class cont_coll_bvh_world;
96
97             protected:
98
99                 real_type m_t;
100                bv_ptr m_A, m_B;
101
102            public:

```

```

105          bv_to_check(real_type t, bv_ptr A, bv_ptr B)
106          : m_t(t)
107          , m_A(A)
108          , m_B(B) {}
109
110      bv_to_check() {}
111
112  }; // bv_to_check class
113
114
115  public:
116
116  /*
117   * Do the actual collision test.
118   *
119   * @param bvhA    A's BVH
120   * @param bvhB    B's BVH
121   * @param r        container to hold result(s)
122   *
123   * Remember: A and B are considered to be in
124   * the same CS.
125   *
126   * We maintain two times:
127   *
128   * One is global- earliest_time.
129   * This variable is the earliest time a collision
130   * between >geometries< have been detected. We do not
131   * care about BV collisions if they occur after this
132   * time.
133   *
134   * The other bvt.m_t is local. This time is a conservative
135   * time for when two given BVs >parents< collided.
136   * Geometry and OBB tests for two given BVs will
137   * have lower bound bvt.m_t
138   *
139   * So: Given two BVs a and b we check for a collision
140   * in time interval [bvt.m_t,earliest_time]
141   * If overlap finds a collision and both BVs are leaves,
142   * we call geometry_overlap. geometry_overlap checks if the
143   * geometries in the two BVs (two triangles for example)
144   * collide. If they do our earliest_time time is set
145   * to the time indicated by geometry_overlap.
146   *
147   * We store a list of BV leave pairs containing colliding
148   * geometries and at the end we report all that has
149   * collision time <= earliest_time.
150   */
151
152  template<typename results_container>
153  void run_world_check(bvh_type const &bvhA, bvh_type const &bvhB,
154                      results_container &r)
155  {
156
157      reset(r); // policy
158      obb_time_spent = geom_time_spent = 0.0;
159      number_obb = number_geom = 0;
160      real_type earliest_time = (real_type)1.0; // Earliest recorded
161                                // geometry collision
162
163      std::list<bv_to_check> Q; // BVs yet to be checked
164
165      std::list<bv_to_check> colls; // Leaf BV pairs containing
166                                // geometry that
167                                // collides, bvt.m_t is
168                                // collide time
169
170      bv_ptr root_A = boost::const_pointer_cast<bv_type>( bvhA.root() );
171      bv_ptr root_B = boost::const_pointer_cast<bv_type>( bvhB.root() );
172
173      bv_to_check bvt(0, root_A, root_B);
174      Q.push_back(bvt);
175
176      while (!Q.empty())
177      {
178          bvt = Q.front(); Q.pop_front();
179
180

```

```

    if (bvt.m_t > earliest_time) {
        continue;
    }

185    obb_timer.start();
    // policy
    bool bv = bv_overlap(bvt.m_A, bvt.m_B, bvt.m_t, earliest_time);
    obb_timer.stop();
    number_obb++;
    obb_time_spent += obb_timer();

    if (!bv)
        continue;

195    if (bvt.m_A->is_leaf() && bvt.m_B->is_leaf()) {
        geom_timer.start();
        // policy
        bool geom = geometry_overlap(bvt.m_A, bvt.m_B, bvt.m_t,
                                      earliest_time);
        geom_timer.stop();
        number_geom++;
        geom_time_spent += geom_timer();
        if (!geom)
            continue;
    }

200    earliest_time = bvt.m_t; // Geometry in A/B collides
    // at earliest time
    colls.push_front(bvt);
    continue;
}

205    }

210    }

    // We wish to find an 'earliest_time' as soon as possible.
    // We do this by making sure the BV with the center
    // closest to the other BV's center is processed first

215 #define OT_BV_C_LEN(a,b) (((a)->volume().center() - (b)->volume().center())*\\
    ((a)->volume().center() - (b)->volume().center()))

220    if (bvt.m_B->is_leaf() || (!bvt.m_A->is_leaf() &&
    (bvt.m_A->volume().volume() > bvt.m_B->volume().volume()))) {

        // (A is not leaf)
        bv_ptr_iterator a=bvt.m_A->child_ptr_begin();
        bv_to_check nbvt(bvt.m_t, *a, bvt.m_B);
        real_type cur_shortest = OT_BV_C_LEN(nbvt.m_B, nbvt.m_A);
        Q.push_front(nbvt);
        for (++a;a!=bvt.m_A->child_ptr_end();++a) {
            nbvt.m_A = *a;
            real_type len = OT_BV_C_LEN(nbvt.m_B, nbvt.m_A);
            if (len < cur_shortest) {
                cur_shortest = len;
                Q.push_front(nbvt);
            } else
                Q.push_back(nbvt);
        }
    } else {
        // (B is not leaf)
        bv_ptr_iterator b=bvt.m_B->child_ptr_begin();
        bv_to_check nbvt(bvt.m_t, bvt.m_A, *b);
        real_type cur_shortest = OT_BV_C_LEN(nbvt.m_B, nbvt.m_A);
        Q.push_front(nbvt);
        for (++b;b!=bvt.m_B->child_ptr_end();++b) {
            nbvt.m_B = *b;
            real_type len = OT_BV_C_LEN(nbvt.m_B, nbvt.m_A);
            if (len < cur_shortest) {
                cur_shortest = len;
                Q.push_front(nbvt);
            } else
                Q.push_back(nbvt);
        }
    }
}

225 #undef OT_BV_C_LEN
}

230

235

240

245

250

255
    // Our colls queue may (very well) contain BV leafs with
    // geometry that collides >after< earliest time.
}

```

```

260           // We loop thru the list and report all BVs that have
261           // collision time == earliest (we use <= just for kicks)
262           //
263           // Since we add new geometry collisions to the start
264           // of the list, we can stop once we find the first
265           // time > earliest_time
266           bv_to_check geom_coll;
267           while (!colls.empty()) {
268               geom_coll = colls.front(); colls.pop_front();
269               if (geom_coll.m_t <= earliest_time)
270                   report(geom_coll.m_A, geom_coll.m_B, geom_coll.m_t, r);
271               else
272                   break;
273           }
274       }
275   }; // cont_coll_bvh_world class
276 } // OpenTissue namespace
277 #endif // OPENTISSUE_COLLISION_CONTINUOUS_CONT_COLL_BVH_H

```

14.4 cont_coll_bv_traits.h

```

1  #ifndef OPENTISSUE_COLLISION_CONTINUOUS_CONT_COLL_BV_TRAITS_H
2  #define OPENTISSUE_COLLISION_CONTINUOUS_CONT_COLL_BV_TRAITS_H
3
4  /*
5   * Traits needed in a BV if it is to be
6   * used in a BVH test.
7   *
8   * Jackj.
9   */
10 #include <OpenTissue/geometry/sphere.h>
11
12 namespace OpenTissue {
13
14     template <typename real_type>
15     class cont_coll_bv_traits {
16
17         public:
18
19             Sphere<real_type> mBoundingSphere;
20
21     }; // cont_coll_bv_traits class
22
23 } // OpenTissue namespace
24
25 #endif // OPENTISSUE_COLLISION_CONTINUOUS_CONT_COLL_BV_TRAITS_H

```

14.5 cont_coll_edge.h

```

1  #ifndef OPENTISSUE_COLLISION_CONTINUOUS_CONT_COLL_EDGE_H
2  #define OPENTISSUE_COLLISION_CONTINUOUS_CONT_COLL_EDGE_H
3
4  /*
5   * Class to check for collision between two edges.
6   *
7   * Jackj.
8   */
9
10 #include <boost/numeric/interval.hpp>
11 #include "interval.h"
12 #include <OpenTissue/math/quaternion.h>
13 #include <OpenTissue/math/vector.h>
14 #include <OpenTissue/math/matrix.h>
15 #include "arbitrary_motion.h"
16
17 namespace OpenTissue {
18
19

```

```

20      * Checks for collision between edges
21      */
22      template<typename real_type>
23      class cont_coll_edge
24      {
25          public:
26
27              typedef real_type_           real_type;
28              typedef OpenTissue::interval<real_type>    int_type;
29              typedef vector3<real_type>        vector_type;
30              typedef matrix3x3<real_type>      matrix_type;
31              typedef arbitrary_motion<real_type> motion_type;
32              typedef vector3<int_type>        vector_i_type;
33              typedef matrix3x3<int_type>      matrix_i_type;
34              typedef quaternion<int_type>     quaternion_i_type;
35
36          private:
37
38              real_type m_time_pres; // How small must time interval be before
39                          // we check the actual primitives?
40
41          public:
42
43              cont_coll_edge()
44                  : m_time_pres(0.01) {}
45
46              cont_coll_edge(real_type time_pres)
47                  : m_time_pres(time_pres) {}
48
49              ~cont_coll_edge() {}
50
51          protected:
52
53 #define OT_LINE_SEG_EPSILON ((real_type)1.e-6)
54
55          /*
56          * This function checks if two line segments given by
57          * @param a    First line segment, first endpoint,
58          * @param b    First line segment, second endpoint,
59          * @param c    Second line segment, first endpoint,
60          * @param d    Second line segment, second endpoint,
61          *
62          * intersect. We handle situations where the two segments
63          * are parallel (they are considered intersecting
64          * when parallel and touching).
65          *
66          * This test is based on
67          * "Faster line segment intersection" by Franklin Antonio,
68          * 1992.
69          */
70
71          bool faster_line_segment_intersection(vector_type const &a,
72                                              vector_type const &b, vector_type const &c,
73                                              vector_type const &d)
74          {
75              using std::fabs;
76              real_type e = (b[0]-a[0])*(d[2]-c[2]) -
77                          (b[2]-a[2])*(d[0]-c[0]);
78
79              if (fabs(e)<OT_LINE_SEG_EPSILON) {
80                  // FIXME: Check if they are co-incident
81                  return false;
82              }
83
84              real_type f = (a[2]-c[2])*(d[0]-c[0]) -
85                          (a[0]-c[0])*(d[2]-c[2]);
86
87              if (e>-OT_LINE_SEG_EPSILON) {
88                  if (f<OT_LINE_SEG_EPSILON || f>e)
89                      return false;
90              } else {
91                  if (f>-OT_LINE_SEG_EPSILON || f<e)
92                      return false;
93              }
94
95

```

```

    real_type g = (a[2]-c[2])*(b[0]-a[0]) -
100      (a[0]-c[0])*(b[2]-a[2]);
    if (e>-OT_LINE_SEG_EPSILON) {
        if (g<OT_LINE_SEG_EPSILON || g>e)
            return false;
        } else {
            if (g>-OT_LINE_SEG_EPSILON || g<e)
                return false;
        }
    return true;
}

110 public:
/*
 * Returns >4 if no collision, otherwise returns time
 * in [0,1]
 */
115 real_type check_interval(
    vector_type &a, vector_type &b, motion_type &m1,
    vector_type &c, vector_type &d, motion_type &m2,
120      real_type t0, real_type t1)
{
    // bounds on translation and rotation
    quaternion_i_type bounds1R = m1.bound_rotation(t0, t1);
    vector_i_type bounds1T = m1.bound_translation(t0, t1);
    quaternion_i_type bounds2R = m2.bound_rotation(t0, t1);
    vector_i_type bounds2T = m2.bound_translation(t0, t1);

    // bounds on a,b,c and d
    vector_i_type boundsA = bounds1R.rotate(vector_i_type(
130      int_type(a[0]), int_type(a[1]), int_type(a[2])) + bounds1T;
    vector_i_type boundsB = bounds1R.rotate(vector_i_type(
        int_type(b[0]), int_type(b[1]), int_type(b[2])) + bounds1T;
    vector_i_type boundsC = bounds2R.rotate(vector_i_type(
        int_type(c[0]), int_type(c[1]), int_type(c[2])) + bounds2T;
    vector_i_type boundsD = bounds2R.rotate(vector_i_type(
        int_type(d[0]), int_type(d[1]), int_type(d[2])) + bounds2T;

    // bound f(t)=c(t)a(t) dotp ( b(t)a(t) crossp d(t)c(t) )
    int_type F =
140      (boundsC-boundsA)*((boundsB-boundsA)%(boundsD-boundsC));

    // interval does not contain 0
    if (F.upper() < 0.0 || F.lower() > 0.0) return (real_type)5.0;

    if (t1-t0 <= m_time_pres) {
        coordsys<real_type> p1 = m1.pos(t0);
        coordsys<real_type> p2 = m2.pos(t0);
        vector_type ap = p1.Q().rotate(a)+p1.T();
        vector_type bp = p1.Q().rotate(b)+p1.T();
        vector_type cp = p2.Q().rotate(c)+p2.T();
        vector_type dp = p2.Q().rotate(d)+p2.T();

        if (faster_line_segment_intersection(ap,bp,cp,dp))
155          return t0; // Geometry collision detected
        return (real_type)5.0;
    }

    160    real_type m = 0.5 * (t0+t1);
    real_type ret = check_interval(a,b,m1, c,d,m2, t0, m);
    if (ret<4.0) return ret;

    return check_interval(a,b,m1, c,d, m2, m, t1);
    // Assume this will be "tail-optimized"
}

/*
 * @param a endpoint of first edge
 * @param b endpoint of first edge
 * @param m1 motion for first edge
170

```

```

    *
    * @param c endpoint of second edge
    * @param d endpoint of second edge
    * @param m2 motion for second edge
    *
    * @param cp contact point (if any)
    * @param cn contact normal (if any)
    * @param t contact time (if any)
    *
    * Checks for collision between two
    * edges. Returns true if they collide.
    */
    bool check(
        vector_type &a, vector_type &b, motion_type &m1,
        vector_type &c, vector_type &d, motion_type &m2,
        vector_type &cp, vector_type &cn, real_type &t)
    {
        t = check_interval(a,b,m1, c,d,m2, 0.0, 1.0);
        if (t > 4.0) { t = 0.0; return false; }

        cp = cn = vector_type(0,0,0); // Avoid warnings
        return true;
    }
}; // cont_coll_edge class

} // OpenTissue namespace
#endif // OPENTISSUE_COLLISION_CONTINUOUS_CONT_COLL_EDGE_H

```

14.6 cont_coll_face.h

```

1  #ifndef OPENTISSUE_COLLISION_CONTINUOUS_CONT_COLL_FACE_H
#define OPENTISSUE_COLLISION_CONTINUOUS_CONT_COLL_FACE_H

5   /*
   * Class to check for collision between two faces.
   *
   * Jackj.
   */
10  #include <boost/numeric/interval.hpp>
#include "interval.h"
#include <OpenTissue/math/vector.h>
#include <OpenTissue/math/quaternion.h>
#include <OpenTissue/math/matrix.h>
15  #include <OpenTissue/mesh/trimesh/trimesh_face.h>
#include <OpenTissue/mesh/polymesh/polymesh_face.h>
#include <OpenTissue/geometry/util/barycentric.h>
#include <OpenTissue/geometry/plane.h>
#include "arbitrary_motion.h"
20
namespace OpenTissue {

    template<typename real_type>
    class cont_coll_face_point
25    {
        public:
            typedef real_type_                                real_type;
            typedef OpenTissue::interval<real_type>           int_type;
            typedef vector3<real_type>                         vector_type;
           30          typedef matrix3x3<real_type>                matrix_type;
            typedef arbitrary_motion<real_type>               motion_type;
            typedef vector3<int_type>                          vector_i_type;
           35          typedef matrix3x3<int_type>                matrix_i_type;
            typedef quaternion<int_type>                      quaternion_i_type;

        private:
           40          real_type m_time_pres; // Time precision, determines how small
                                // we split a given interval

```

```

    public:
        cont_coll_face_point(real_type timepres)
45      : m_time_pres(timepres) {}

        cont_coll_face_point()
          : m_time_pres((real_type)0.001) {}

50    protected:
        /*
         * Checks if
         *
         * @param p    Point
         *
         * is inside triangle given by
         *
60        * @param a    First corner
         * @param b    Second corner
         * @param c    Third corner
         *
         * We use barycentric coordinates to check this.
         */
65    #define OT_POINT_IN_TRI_EPS (10e-5)
        bool point_in_triangle(vector_type const &p,
                               vector_type const &a, vector_type const &b,
                               vector_type const &c)
70    {
        plane<real_type> pl(a,b,c);
        if (pl.get_distance(p) > OT_POINT_IN_TRI_EPS)
            return false;
75    real_type w1, w2, w3;
        barycentric(a, b, c, p, w1, w2, w3);
        real_type lower = -OT_POINT_IN_TRI_EPS;
        real_type upper = 1.+OT_POINT_IN_TRI_EPS;
80    return (w1>lower)&&(w1<upper) &&
           (w2>lower)&&(w2<upper) &&
           (w3>lower)&&(w3<upper);
    }

85    public:
        /*
         * Gets time precision
         */
90    real_type get_time_precision() const {
        return m_time_pres;
    }

95    /*
         * Sets time precision
         */
100   void set_time_precision(real_type const &t) {
        m_time_pres = t;
    }

105   /*
         * Checks if
         * @param p    Point
         * moving using
         * @param m1   Motion for point
         *
         * intersects with triangle given by
         * @param a    Corner
         * @param b    Corner
         * @param c    Corner
         * moving using
         * @param m2   Motion for triangle
         *
110   115   * in interval
         * @param t0
         * @param t1
         */

```

```

    real_type check_face_point(vector_type const &p,
120      motion_type &m1, vector_type const &a,
      vector_type const &b, vector_type const &c,
      motion_type &m2, real_type t0, real_type t1)
    {
      quaternion_i_type boundsAR = m1.bound_rotation(t0, t1);
125      vector_i_type boundsAT = m1.bound_translation(t0, t1);
      quaternion_i_type boundsBR = m2.bound_rotation(t0, t1);
      vector_i_type boundsBT = m2.bound_translation(t0, t1);

      // Bounds on point
130      vector_i_type boundsP = boundsAR.rotate(
          vector_i_type(int_type(p[0]), int_type(p[1]), int_type(p[2])))
        + boundsAT;

      // Bounds on face corners
135      vector_i_type boundsA = boundsBR.rotate(
          vector_i_type(int_type(a[0]), int_type(a[1]), int_type(a[2])))
        + boundsBT;
      vector_i_type boundsB = boundsBR.rotate(
          vector_i_type(int_type(b[0]), int_type(b[1]), int_type(b[2])))
        + boundsBT;
      vector_i_type boundsC = boundsBR.rotate(
          vector_i_type(int_type(c[0]), int_type(c[1]), int_type(c[2])))
        + boundsBT;

140      int_type boundsF =
        (boundsA - boundsP) * ((boundsB-boundsA)%
        (boundsC-boundsA));

      if (boundsF.upper() < 0.0 || boundsF.lower() > 0.0)
145        return (real_type)5.0; // F does not contain zero

      if (t1-t0 <= m_time_pres) {
150        coordsys<real_type> p1 = m1.pos(t0);
        coordsys<real_type> p2 = m2.pos(t0);
        vector_type pp = p1.Q().rotate(p)+p1.T();
        vector_type ap = p2.Q().rotate(a)+p2.T();
        vector_type bp = p2.Q().rotate(b)+p2.T();
        vector_type cp = p2.Q().rotate(c)+p2.T();

155        if (point_in_triangle(pp, ap, bp, cp))
          return t0; // Geometry collision detected
        return (real_type)5.0;
      }
160      real_type m = 0.5 * (t1+t0);

      real_type t = check_face_point(p, m1, a, b, c, m2,
165        t0, m);
      if (t < 4.0)
        return t;

      return check_face_point(p, m1, a, b, c, m2, m, t1);
170      // Assume this is tail-optimized
    }

    }; // cont_coll_face_point class
175
180  template<typename real_type>
  class cont_coll_face_face
  {
    public:
185    typedef real_type_
                    real_type;
    }; // cont_coll_face_face class
190
} // OpenTissue namespace
#endif // OPENTISSUE_COLLISION_CONTINUOUS_COLL_FACE_H

```

14.7 cont_coll_obb.h

```

1  #ifndef OPENTISSUE_COLLISION_CONTINUOUS_COLL_COLL_OBB_H
2  #define OPENTISSUE_COLLISION_CONTINUOUS_COLL_COLL_OBB_H

3  /*
4   * Class to check for collision between two OBBs.
5   *
6   * Jackj.
7   */
8

9  #include <OpenTissue/utility/high_res_timer.h>
10 #include <vector>
11 #include <boost/numeric/interval.hpp>
12 #include "interval.h"
13 #include <OpenTissue/math/vector.h>
14 #include <OpenTissue/math/quaternion.h>
15 #include <OpenTissue/math/coordsys.h>
16 #include <OpenTissue/math/matrix.h>
17 #include <OpenTissue/geometry/obb.h>
18 #include "arbitrary_motion.h"
19

20 namespace OpenTissue {

21
22     /*
23      * Checks for collision between OBBs
24      */
25     template<typename real_type_, typename obb_type_>
26     class cont_coll_obb
27     {
28         public:
29
30             typedef real_type_                                real_type;
31             typedef obb_type_                                obb_type;
32             typedef arbitrary_motion<real_type>           motion_type;
33             typedef vector3<real_type>                      vector_type;
34             typedef matrix3x3<real_type>                   matrix_type;
35             typedef coordsys<real_type>                    coordsys_type;
36
37             typedef OpenTissue::interval<real_type>          int_type;
38             typedef vector3<int_type>                        vector_i_type;
39             typedef matrix3x3<int_type>                     matrix_i_type;
40             typedef quaternion<int_type>                     quaternion_i_type;
41
42         public:
43             cont_coll_obb() {}
44             ~cont_coll_obb() {}
45
46         private:
47             class constant_obb_info {
48                 friend class cont_coll_obb;
49
50                 protected:
51
52                     motion_type const *m_m1; // A motion
53                     motion_type const *m_m2; // B motion
54
55                     real_type    m_rad; // Radius between two current BVs spheres
56
57                     vector_type m_acen; // A OBB center
58                     vector_type m_bcen; // B OBB center
59
60                     vector_type m_aext; // A OBB extends
61                     vector_type m_bext; // B OBB extends
62
63                     vector_type m_bo1; // B OBB orientation axis 1
64                     vector_type m_bo2; // B OBB orientation axis 2
65                     vector_type m_bo3; // B OBB orientation axis 3
66
67                     vector_type m_ao1; // A OBB orientation axis 1
68                     vector_type m_ao2; // A OBB orientation axis 2
69                     vector_type m_ao3; // A OBB orientation axis 3
70
71             }; // constant_obb_info class
72
73
74
75

```

```

        constant_obb_info m_obb_info;

protected:
80         /*
 * Bounds two matrices
 */
85         inline void bound_matrix(matrix_type const &A,
                           matrix_type const &B, matrix_i_type &dst) const
{
    for (unsigned int i = 0; i < 3; i++)
        for (unsigned int j = 0; j < 3; j++)
            if (A[i][j] > B[i][j])
                dst[i][j] = int_type(B[i][j], A[i][j]);
90            else
                dst[i][j] = int_type(A[i][j], B[i][j]);
}

95         /*
 * Bounds two vectors
 */
100        inline void bound_vector(vector_type const &A, vector_type const &B,
                           vector_i_type &dst) const
{
    for (unsigned int i = 0; i < 3; i++)
        if (A[i]>B[i])
            dst[i] = int_type(B[i], A[i]);
        else
            dst[i] = int_type(A[i], B[i]);
}

105        public:
110         /*
 * Checks if aobb in abv and bobb in bbv collides in time
 * interval [t0, t1].
 *
 * @return t\in[0,1] if they do, -1 otherwise
 */
115         template<typename bv_ptr>
real_type check_pair(bv_ptr const abv, motion_type const &m1,
                     bv_ptr const bbv, motion_type const &m2,
                     real_type const &t0, real_type const &t1)
{
120             static unsigned int id = 0;
125             id++;
130             obb_type const * aobb = &abv->volume();
             obb_type const * bobb = &bbv->volume();

// This is (r1+r2)^2,
// r1 = A's bounding sphere radius
// r2 = B's bounding sphere radius
135             real_type const rad =
                (abv->m_bounding_sphere.radius() +
                 bbv->m_bounding_sphere.radius()) *
                (abv->m_bounding_sphere.radius() +
                 bbv->m_bounding_sphere.radius());

// OBB's centers
vector_type const bcen = bobb->center();
vector_type const acen = aobb->center();

140             // OBB's extends
vector_type const aext = aobb->ext();
vector_type const bext = bobb->ext();

145             // OBB's orientations
matrix_type ori = bobb->orientation();
vector_type const bo1(ori(0,0), ori(1,0), ori(2,0));
vector_type const bo2(ori(0,1), ori(1,1), ori(2,1));
vector_type const bo3(ori(0,2), ori(1,2), ori(2,2));
ori = aobb->orientation();
vector_type const ao1(ori(0,0), ori(1,0), ori(2,0));

```

```

vector_type const ao2(ori(0,1), ori(1,1), ori(2,1));
vector_type const ao3(ori(0,2), ori(1,2), ori(2,2));

155    // Used to hold dot-products (see below)
static real_type dots[3][3];

real_type const int_step = m1.int_step();
assert(int_step == m2.int_step() ||
       ! "Different refinement levels in motions");

160    bool loop = true;
bool hit = false;

165    unsigned int n = m1.bucket_lower(t0);

real_type t = int_step*(real_type)n;
for(; loop; t+=int_step) {

170    if (t+int_step >= t1) { loop = false; } // last loop

matrix_i_type boundAR = m1.bound_rotation_prec(n);
vector_i_type boundAT = m1.bound_translation_prec(n);

175    matrix_i_type boundBR = m2.bound_rotation_prec(n);
vector_i_type boundBT = m2.bound_translation_prec(n++);

// Bounds on OBB A's center
vector_i_type boundTA = boundAR * acen + boundAT;

180    // Bounds on OBB B's center
vector_i_type boundTB = boundBR * bcen + boundBT;

vector_i_type TBmTA = boundTB - boundTA;

185    // First check between the two BV's spheres
// The spheres have same center as our OBBs
int_type sphere_dist = TBmTA * TBmTA;
if (sphere_dist.lower() > rad) {
    continue;
}

190    // -----
// SAT TEST

195    // Need to check:
// 
// |aT_AT_B| > \sum_{i=1}^3 a_i |a * e_i| + \sum_{i=1}^3 b_i |a * f_i|.
// a \in \{e_i, f_j, e_i * f_j, 1 \leq i \leq 3, 1 \leq j \leq 3\}.
// 
200    // Notice that since our dot-product is commutative
// (well.. assuming real_type is) we have
// f_i * e_i = e_i * f_i
// 
205    // we will be testing with axe e_1 for example where
// e_1f_1, e_1f_2 and e_1f_3 is calculated
// 
210    // so when we check f_1, f_2 and f_3 we don't need
// to calculate these values again. Same applies
// for e_2 and e_3.
// 
215    // Notice also that
// e_1 * e_1 = 1
// and
// e_1 * e_2 = e_1 * e_3 = 0
// 
220    // this applies for e_1, e_2, e_3, f_1, f_2 and f_3.

    // Calculates |e*f|.upper()
#define OT_CALC_DOT(x,y, e, f) \
    dots[x][y] = ((e)*(f)).get_abs_upper()

    // First we check E1-E3 and F1-F3, ie. face normals
    // for A's/B's OBB.
    //
225    // We write a macro to do this

```

```

#define OT_SAT_TEST(expr1, expr2) \
    if (((expr1) * TBmTA).get_abs_lower() > \
        (expr2)) continue

    // Notice that our rotations below
    // use our matrix<int_type> * vector<real_type>
    // defined in interval.h
    //

    // Bounds on B's OBB axes. Note that we don't translate
    // the axes, they are vectors, not vertices.
    vector_i_type boundF1 = boundBR * bo1;
    vector_i_type boundF2 = boundBR * bo2;
    vector_i_type boundF3 = boundBR * bo3;

    // Bounds on A's first axis. Note that we don't
    // translate, it's a vector, not a vertex
    vector_i_type boundE1 = boundAR * ao1;

    OT_CALC_DOT(0,0, boundE1, boundF1);
    OT_CALC_DOT(0,1, boundE1, boundF2);
    OT_CALC_DOT(0,2, boundE1, boundF3);
    OT_SAT_TEST(boundE1, aext(0)
                + bext(0)*dots[0][0]
                + bext(1)*dots[0][1]
                + bext(2)*dots[0][2]);

    // Bounds on A's 2nd axis. Note that we don't
    // translate, it's a vector, not a vertex
    vector_i_type boundE2 = boundAR * ao2;

    OT_CALC_DOT(1,0, boundE2, boundF1);
    OT_CALC_DOT(1,1, boundE2, boundF2);
    OT_CALC_DOT(1,2, boundE2, boundF3);
    OT_SAT_TEST(boundE2, aext(1)
                + bext(0)*dots[1][0]
                + bext(1)*dots[1][1]
                + bext(2)*dots[1][2]);

    // Bounds on A's 3rd axis. Note that we don't
    // translate, it's a vector, not a vertex
    vector_i_type boundE3 = boundAR * ao3;

    OT_CALC_DOT(2,0, boundE3, boundF1);
    OT_CALC_DOT(2,1, boundE3, boundF2);
    OT_CALC_DOT(2,2, boundE3, boundF3);
    OT_SAT_TEST(boundE3, aext(2)
                + bext(0)*dots[2][0]
                + bext(1)*dots[2][1]
                + bext(2)*dots[2][2]);

#undef OT_CALC_DOT
// If we are this far, all dot-products have
// been calculated

OT_SAT_TEST(boundF1, bext(0)
            + aext(0)*dots[0][0]
            + aext(1)*dots[1][0]
            + aext(2)*dots[2][0]);

OT_SAT_TEST(boundF2, bext(1)
            + aext(0)*dots[0][1]
            + aext(1)*dots[1][1]
            + aext(2)*dots[2][1]);

OT_SAT_TEST(boundF3, bext(2)
            + aext(0)*dots[0][2]
            + aext(1)*dots[1][2]
            + aext(2)*dots[2][2]);

#undef OT_SAT_TEST
// Now we have to check e_i^f_j 1\leq i \leq 3, 1\leq j\leq3
// We know that
// (u%v)*u = (u%v)*v = 0,
// so we can skip two calculations in each test

```

```

305
310     real_type lBoundLeft;
311     real_type uBoundRight;
312     vector_i_type axis;
313
314     // FIXME: does "axis" actually make this faster?
315
316 #define OT_SAT_EXPR(ext,expr) \
317     ((ext)*(axis*(expr)).get_abs_upper())
318
319 #define OT_SAT_TEST(expr,expr2) \
320     axis = expr; \
321     lBoundLeft = ((axis * TBmTA).get_abs_lower(); \
322     uBoundRight = expr2; \
323     if (lBoundLeft > uBoundRight)\ \
324         continue
325
326     OT_SAT_TEST(boundE1 % boundF1,
327                 OT_SAT_EXPR(aext(1), boundE2)+ \
328                 OT_SAT_EXPR(aext(2), boundE3)+ \
329                 OT_SAT_EXPR(bext(1), boundF2)+ \
330                 OT_SAT_EXPR(bext(2), boundF3));
331
332     OT_SAT_TEST(boundE2 % boundF1,
333                 OT_SAT_EXPR(aext(0), boundE1)+ \
334                 OT_SAT_EXPR(aext(2), boundE3)+ \
335                 OT_SAT_EXPR(bext(1), boundF2)+ \
336                 OT_SAT_EXPR(bext(2), boundF3));
337
338     OT_SAT_TEST(boundE3 % boundF1,
339                 OT_SAT_EXPR(aext(0), boundE1)+ \
340                 OT_SAT_EXPR(aext(1), boundE2)+ \
341                 OT_SAT_EXPR(bext(1), boundF2)+ \
342                 OT_SAT_EXPR(bext(2), boundF3));
343
344     OT_SAT_TEST(boundE1 % boundF2,
345                 OT_SAT_EXPR(aext(1), boundE2)+ \
346                 OT_SAT_EXPR(aext(2), boundE3)+ \
347                 OT_SAT_EXPR(bext(0), boundF1)+ \
348                 OT_SAT_EXPR(bext(2), boundF3));
349
350     OT_SAT_TEST(boundE2 % boundF2,
351                 OT_SAT_EXPR(aext(0), boundE1)+ \
352                 OT_SAT_EXPR(aext(2), boundE3)+ \
353                 OT_SAT_EXPR(bext(0), boundF1)+ \
354                 OT_SAT_EXPR(bext(2), boundF3));
355
356     OT_SAT_TEST(boundE3 % boundF2,
357                 OT_SAT_EXPR(aext(0), boundE1)+ \
358                 OT_SAT_EXPR(aext(1), boundE2)+ \
359                 OT_SAT_EXPR(bext(0), boundF1)+ \
360                 OT_SAT_EXPR(bext(2), boundF3));
361
362     OT_SAT_TEST(boundE1 % boundF3,
363                 OT_SAT_EXPR(aext(1), boundE2)+ \
364                 OT_SAT_EXPR(aext(2), boundE3)+ \
365                 OT_SAT_EXPR(bext(0), boundF1)+ \
366                 OT_SAT_EXPR(bext(1), boundF2));
367
368     OT_SAT_TEST(boundE2 % boundF3,
369                 OT_SAT_EXPR(aext(0), boundE1)+ \
370                 OT_SAT_EXPR(aext(1), boundE2)+ \
371                 OT_SAT_EXPR(bext(0), boundF1)+ \
372                 OT_SAT_EXPR(bext(1), boundF2));
373
374 #undef OT_SAT_EXPR
375 #undef OT_SAT_TEST
376
377 // -----
378 // OBB might be colliding, we can't find
379 // any axes that seperate during the entire
380 // time interval

```

```

    // -----
    hit = true;
    break;
}
return hit ? t : -1.;

}
}; // cont_coll_obb class

} // OpenTissue namespace
#endif // OPENTISSUE_COLLISION_CONTINUOUS_CONT_COLL_OBB_H

```

14.8 interval.h

```

1 #ifndef OPENTISSUE_MATH_INTERVAL_H
#define OPENTISSUE_MATH_INTERVAL_H

5 /*
 * Interval class.
 *
 * A *simple naive* speed test, no -DNDEBUG used.
 *
 * Intervals of type [x,y] where x<0 and y>0 used in testing.
10 *
 * this interval, 10^6 muls: 2.85913 seconds
 * boost interval, 10^6 muls: 5.13671 seconds
 *
 * this interval, 10^6 adds: 1.94612 seconds
15 * boost interval, 10^6 adds: 3.86221 seconds
 *
 * this interval, 10^6 subs: 2.00829 seconds
 * boost interval, 10^6 subs: 3.8229 seconds
 *
20 * Intervals of type [x,y] where 0<x<y used in divs.
 *
 * this interval, 10^6 divs: 3.41608 seconds
 * boost interval, 10^6 divs: 4.78257 seconds
 *
25 * This class contains >no< error-checking.
 * You might want to use boost::numeric::interval
 * until you know your interval-code is working.
 *
 * Jackj.
30 */
namespace OpenTissue
{
35     template <typename real_type_>
        class interval
        {
            public:
40             typedef real_type_ real_type;
             protected:
45             real_type l, u;
             public:
50             interval()
                : l(0)
                , u(0) {}

                interval(interval const &i)
                : l(i.l)
                , u(i.u) {}

55             interval(real_type const &val)
                : l(val)
                , u(val) {}

```

```

60         interval(real_type const &l_val,
61                     real_type const &h_val)
62             : l(l_val)
63                 , u(h_val) {}
64
65         ~interval() {}
66
66 public:
67
68     real_type & lower()
69     {
70         return l;
71     }
72
73     real_type const & lower() const
74     {
75         return l;
76     }
77
78     real_type & upper()
79     {
80         return u;
81     }
82
83     real_type const & upper() const
84     {
85         return u;
86     }
87
88     inline real_type & operator() (unsigned int const index)
89     {
90         if (!index) return l;
91         return u;
92     }
93
94     inline real_type const & operator() (unsigned int const index)
95     const
96     {
97         if (!index) return l;
98         return u;
99     }
100
101    inline real_type & operator[] (unsigned int const index)
102    {
103        if (!index) return l;
104        return u;
105    }
106
107    inline real_type const & operator[] (unsigned int const index)
108    const
109    {
110        if (!index) return l;
111        return u;
112    }
113
114    interval & operator=(interval const &cpy) {
115        l = cpy.l;
116        u = cpy.u;
117        return *this;
118    }
119
120 public:
121 /*
122 * The following operators are implemented as they are in
123 * interval arithmetic, see for example (18) in
124 * "Continuous Collision Detection for Rigid and Articulated Bodies"
125 * by Stephane Redon
126 *
127 * or
128 *
129 * (2)-(6) in
130 * "Interval Computations: Introduction, Uses, and Resources"
131 * by R.B. Kearfott
132 */
133
134
135

```

```

        bool operator<(interval const &i) const
        {
            return u < i.l;
        }
140      bool operator>(interval const &i) const
        {
            return l > i.u;
        }
145      bool operator<=(interval const &i) const
        {
            return u <= i.l;
        }
150      bool operator>=(interval const &i) const
        {
            return l >= i.u;
        }
155      bool operator==(interval const &i) const
        {
            return l == i.l && u == i.u;
        }
160      bool operator!=(interval const &i) const
        {
            return l != i.l || u != i.u;
        }
165      interval &operator+=(interval const &i)
        {
            l += i.l;
            u += i.u;
            return *this;
        }
170      interval const operator+(interval const &i) const
        {
            return interval(l+i.l, u+i.u);
        }
175      interval &operator-=(interval const &i)
        {
            l -= i.u;
            u -= i.l;
            return *this;
        }
180      interval const operator-(const interval &i) const
        {
            return interval(l-i.u, u-i.l);
        }
185      interval operator-() const
        {
            return interval(-u, -l);
        }
190      interval &operator*=(real_type const &val)
        {
            if (val < (real_type)0.)
                real_type x = l;
                l = u * val;
                u = x * val;
            } else {
                u *= val;
                l *= val;
            }
200      return *this;
        }
205      interval &operator*(real_type const &val)
        {
            if (val < (real_type)0.)
                return interval(u*val, l*val);
        }
210

```

```

215           return interval(l*val, u*val);
}
220     inline interval &operator*=(interval const &i)
{
    register real_type nl, nu; // -O4 probably makes register
225   if (l <= 0.0 && i.u >= 0.0) {
        nl = l * i.u;
    } else if (u >= 0.0) {
        if (i.l <= 0.0) {
            nl = u*i.l;
        } else {
            nl = l*i.l;
        }
    } else {
        nl = u*i.u;
    }

    if (l <= 0.0 && i.l <= 0.0) {
        nu = l * i.l;
    } else if (u >= 0.0) {
        if (i.u >= 0.0) {
            nu = u * i.u;
        } else {
            nu = l * i.u;
        }
    } else {
        nu = u * i.l;
    }

245   u = nu; l = nl;
    return *this;
}

250 /*
 * "Redon"-version
 */
255 inline interval operator*(interval const &i) const
{
    register real_type nl, nu, x; // -O4 probably makes register
260   nu = nl = l*i.l;
   x = l*i.u; if (x < nl) nl = x; else if (x > nu) nu = x;
   x = u*i.l; if (x < nl) nl = x; else if (x > nu) nu = x;
   x = u*i.u; if (x < nl) nl = x; else if (x > nu) nu = x;

    return interval(nl, nu);
}
265 */
270 /*
 * Optimized version, more IFs, two less mul
 */
275 inline interval operator*(interval const &i) const
{
    register real_type nl, nu;

    if (l <= 0.0 && i.u >= 0.0) {
        nl = l * i.u;
    } else if (u >= 0.0) {
        if (i.l <= 0.0) {
            nl = u*i.l;
        } else {
            nl = l*i.l;
        }
    } else {
        nl = u*i.u;
    }

    if (l <= 0.0 && i.l <= 0.0) {
        nu = l * i.l;
    } else if (u >= 0.0) {
        if (i.u >= 0.0) {

```

```

290             nu = u * i.u;
        } else {
            nu = l * i.u;
        }
    } else {
        nu = u * i.l;
    }

    return interval(nl, nu);
}
300
interval const operator/=(interval const &i)
{
    // Assuming i.l > 0 || i.u < 0
    *this *= interval(1.0 / i.u, 1.0 / i.l);
    return *this;
}

interval operator/(interval const &i) const
{
    // Assuming i.l > 0 || i.u < 0
    return *this * interval(1.0 / i.u, 1.0 / i.l);
}

real_type get_abs_lower() const
{
    if (l >= 0.0) return l;           // -----0-[ ]----- <-R
    if (u >= 0.0) return (real_type)0.0; // -----[ 0 ]----- <-R
    return -u;                      // -[ ]-----0----- <-R
}
315
320
real_type get_abs_upper() const
{
    if (l+u >= 0.0) return u;         // -----0-[ ]----- <-R
    // -----[ 0 ]----- <-R
325
    return -1;                      // -[ ]-----0----- <-R
}

}; // class interval
330
#include <iostream>
template<typename I>
std::ostream &operator<<(std::ostream &o, interval<I> const &i) {
    o << "[" << i[0] << "," << i[1] << "]";
    return o;
}
335

/*
* The following two operators was made to speed up
* multiplication with intervals of type [x,x].
*
* The normal * in interval will use 3*six 'if's to do
* this.
* This uses 3.
*/
340
345
#include <OpenTissue/math/vector.h>
/*
* [[x1,x2],[y1,y2],[z1,z2]] * [x,y,z] =
* [x1,x2]*x+[y1,y2]*y+[z1,z2]*z.
*
* This is used below.
*/
350
355
template<typename T>
interval<T> operator*(vector3<interval<T> > const &vi,
                      vector3<T> const &vr)
{
360
    register T min, max; // -04 probably makes these register
    if (vr[0] < 0) {
        min = vi[0].upper()*vr[0];
        max = vi[0].lower()*vr[0];
    } else {
        min = vi[0].lower()*vr[0];
    }
}
365

```

```

        max = vi[0].upper()*vr[0];
    }

370    if (vr[1] < 0) {
        min += vi[1].upper()*vr[1];
        max += vi[1].lower()*vr[1];
    } else {
        min += vi[1].lower()*vr[1];
        max += vi[1].upper()*vr[1];
    }

375    if (vr[2] < 0) {
        min += vi[2].upper()*vr[2];
        max += vi[2].lower()*vr[2];
    } else {
        min += vi[2].lower()*vr[2];
        max += vi[2].upper()*vr[2];
    }

380    return interval<T>(min, max);
}

385

390 #include <OpenTissue/math/matrix.h>
391 /*
392  * Normal matrix*vector mul,
393  * uses * operator above
394  *
395  * This is used when we rotate a point
396  * with a bounded orientation matrix.
397  */
398 template<typename T>
399     vector3<interval<T> > operator*(matrix3x3<interval<T> > const &m,
400                                         vector3<T> const &v)
401 {
402     return vector3<interval<T> >(
403         m.m_row0 * v,
404         m.m_row1 * v,
405         m.m_row2 * v);
406 }

407 // namespace OpenTissue
408 #endif // header check

```

14.9 obb.h

```

1  #ifndef CONTOLL_OBB_H
2  #define CONTOLL_OBB_H

3  #include <OpenTissue/geometry/util/obb_fit.h>
4  #include <OpenTissue/geometry/plane.h>
5  #include "application.hpp"

6  /*
7   * This is the base OBB top-down policy,
8   * it is much like OT/collision/obb_tree/obb_tree_top_down_policy.h
9   *
10  * We extend this class in three classes, each with a unique
11  * splitting policy;
12  *
13  * * min-max, TODO
14  * * along OBB-axis,
15  * * min-sum. TODO
16  *
17  */
18 template<typename bvh_type, typename real_type>
19 class obb_base_tree_top_down_policy
20 {
21     public:
22
23     typedef real_type_                                real_type;
24     typedef obb_base_tree_top_down_policy<bvh_type,real_type> top_down_type;
25     typedef typename bvh_type::bv_ptr                  bv_ptr;
26     typedef typename bvh_type::annotated_bv_type      annotated_bv_type;
27     typedef typename bvh_type::annotated_bv_ptr       annotated_bv_ptr;
28     typedef typename bvh_type::volume_type            volume_type;
29
30

```

```

    typedef typename bvh_type::geometry_type           geometry_type;
    typedef typename std::vector<geometry_type>      geometry_container;
    typedef OpenTissue::plane<real_type>              plane_type;

35   public:
        geometry_container m_geometry;

40   public:
        class partition_type
        {
            public:
45       friend class obb_base_tree_top_down_policy<bvh_type, real_type>;
            public:
50       typedef std::vector<partition_type>          partition_container;
50       typedef typename partition_container::iterator  partition_iterator;
            public:
55       partition_container    m_sub_partitions;
55       unsigned int          m_left;
55       unsigned int          m_right;
55       top_down_type         * m_owner;
55       bv_ptr                m_bv;
60   public:
        partition_type()
        : m_left(0)
        , m_right(0)
65      , m_owner(0)
        , m_bv()
        {}

70   partition_type(top_down_type * owner,unsigned int left,
70                 unsigned int right)
        : m_left(left)
        , m_right(right)
        , m_owner(owner)
        , m_bv()
        {}

75   bool annotated() const { return size()==1; }
75   unsigned int size() const { return (m_right-m_left+1); }
75   bool empty() { return (size()==0); }
80   void split() { m_owner->split((*this)); }
80   partition_iterator sub_partition_begin() {
80       return m_sub_partitions.begin(); }
80   partition_iterator sub_partition_end() { return m_sub_partitions.end(); }

85   void fit(bv_ptr bv)
85   {
85       m_bv = bv;
85       m_owner->fit(bv,(*this));
85   }

90   };

public:
95   typedef typename partition_type::partition_container  partition_container;
95   typedef typename partition_type::partition_iterator    partition_iterator;

protected:
100  class vector3_iterator :
100    public std::iterator<std::forward_iterator_tag, vector3_type>
100  {
100      protected:
105     top_down_type * m_owner;
105     unsigned int    m_idx;

```

```

        unsigned int      m_sub_idx;

110    public:
        vector3_iterator(top_down_type * owner,unsigned int idx)
          : m_owner(owner)
          , m_idx(idx)
          , m_sub_idx()
        {}

115    public:
        bool operator==(vector3_iterator const& other) const {
            return (m_idx==other.m_idx && m_sub_idx==other.m_sub_idx); }
        bool operator!=(vector3_iterator const& other) const {
            return !(m_idx==other.m_idx && m_sub_idx==other.m_sub_idx); }

120    vector3_iterator & operator++()
    {
        if(m_sub_idx==3)
        {
            ++m_idx;
            m_sub_idx = 0;
        }
        else
        {
            ++m_sub_idx;
        }
        return *this;
    }

125    vector3_type & operator*() const
    {
        face_ptr_type f = m_owner->m_geometry[m_idx];
        if(m_sub_idx==0)
            return *(f->m_v0);
        else if (m_sub_idx==1)
            return *(f->m_v1);
        return *(f->m_v2);
    }

130    };

135    public:
        partition_type all() { return partition_type(this,0,m_geometry.size()-1); }

140    template<typename iterator>
        void init(iterator begin,iterator end)
    {
        m_geometry.clear();
        std::copy( begin, end, std::back_inserter( m_geometry ) );
    }

145    public:
        virtual ~obb_base_tree_top_down_policy() {}

150    unsigned int degree() const {return 2; }

155    void split(partition_type & partition)
    {
        using std::min;

160    public:
        virtual ~obb_base_tree_top_down_policy() {}

165    unsigned int degree() const {return 2; }

170    void split(partition_type & partition)
    {
        using std::min;

175    assert(partition.m_bv);
        obb_type & obb = partition.m_bv->volume();
        vector3_type center = obb.center();

180    real_type value = obb.ext()(0);
        unsigned int column = 0;

        if(obb.ext()(1) > value)
        {
            value = obb.ext()(1);
            column = 1;
        }
        if(obb.ext()(2) > value)
    }
}

```

```

185         {
190             column = 2;
195             vector3_type axis = vector3_type(
196                 obb.orientation()(0,column),
197                 obb.orientation()(1,column),
198                 obb.orientation()(2,column));
200             plane_type split_plane(axis,center);
205             unsigned int first = partition.m_left;
210             unsigned int last = partition.m_right;
215             unsigned int i = first;
220             for(;i<last;)
225             {
230                 mesh_compute_face_center( (*this->m_geometry[i]), center);
235                 if(split_plane.get_signed_distance(center) > 0)
240                 {
245                     swap(this->m_geometry[i],this->m_geometry[last]);
250                     --last;
255                 }
260                 else
265                 {
270                     ++i;
275                 }
280             }
285             unsigned int sub_right = min(last+1,partition.m_right);
290             unsigned int sub_left = sub_right - 1;
295             partition.m_sub_partitions.resize(2);
300             partition.m_sub_partitions[0] =
305             partition_type( this, partition.m_left, sub_left );
310             partition.m_sub_partitions[1] =
315             partition_type( this, sub_right , partition.m_right );
320         }
325         void fit(bv_ptr bv,partition_type & partition)
330         {
335             partition.m_bv = bv;
340             if(partition.annotated())
345             {
350                 annotated_bv_ptr A = boost::static_pointer_cast<annotated_bv_type>(bv);
355                 A->insert( m_geometry[partition.m_left] );
360             }
365             vector3_iterator begin( this, partition.m_left );
370             vector3_iterator end( this, partition.m_right+1 );
375             // Fit OBB
380             obb_fit(begin,end,bv->volume());
385             // Fit sphere
390             real_type rad2 = OpenTissue::Math::lowest<real_type>();
395             for (vector3_iterator i=begin;i!=end;++i) {
400                 vector3_type &v = *i;
405                 real_type dist2 =
410                     (v(0) - bv->volume().center()(0))*(v(0) -
415                     bv->volume().center()(0))+
420                     (v(1) - bv->volume().center()(1))*(v(1) -
425                     bv->volume().center()(1))+
430                     (v(2) - bv->volume().center()(2))*(v(2) -
435                     bv->volume().center()(2));
440                 if (dist2 > rad2) rad2 = dist2;
445             }
450             using std::sqrt;
455             bv->m_bounding_sphere.set(bv->volume().center(), sqrt(rad2));
460         }
465     };
470     template<typename mesh_type, typename bvh_type, typename constructor_type>
475     void create_obb_tree(mesh_type& mesh, bvh_type& tree, constructor_type &con)
480     {
485         unsigned int F = mesh.size_faces();

```

```
260     std::vector<face_ptr_type> geometry(F,0);
261     typename mesh_type::face_iterator f      = mesh.face_begin();
262     typename mesh_type::face_iterator f_end = mesh.face_end();
263     for(unsigned int i=0;f!=f_end;++f,++i)
264     {
265         geometry[i] = &(*f);
266         assert(valency(*f) || !"create_obb_tree(): Only triangle faces are supported");
267         typename mesh_type::face_vertex_circulator v(*f);
268         f->m_v0 = &(v->m_coord);
269         f->m_n0 = &(v->m_normal);
270         ++v;
271         f->m_v1 = &(v->m_coord);
272         f->m_n1 = &(v->m_normal);
273         ++v;
274         f->m_v2 = &(v->m_coord);
275         f->m_n2 = &(v->m_normal);
276     }
277
278     tree.clear();
279     con.run(geometry.begin(), geometry.end(), tree);
280 }
```

#endif

Litteratur

- [1] F. Antonio. Faster line segment intersection. *Graphics Gems III*, pages 199–202 og 500–501, 1992.
- [2] Gino Van Den Bergen. Efficient collision detection of complex deformable models using aabb trees. *Department of Mathematics and Computing Science, Eindhoven University of Technology*, 1998.
- [3] Erik B. Dam, Martin Koch, and Martin Lillholm. Quaternions, interpolation and animation, 1998.
- [4] S. Gottschalk. Collision queries using oriented bounding boxes, 1998.
- [5] S. Gottschalk, M.C. Lin, and D. Manocha. Obbtree: A hierarchical structure for rapid interference detection. *Proc. SIGGRAPH*, pages 171–180, 1996.
- [6] S. Graham, P. Kessler, and M. McKusick. Gprof: A call graph execution profiler. *Proceedings of the SIGPLAN '82 Symposium on Compiler Construction*, 17(6):120–126, June 1982.
- [7] Knud Henriksen Kenny Erleben, Jon Sporring and Henrik Dohlmann. *Phycics-based Animation*. Charles River Media, 2005.
- [8] OpenTissue. Opensource Project, Physical based Animation and Surgery Simulation. <http://www.opentissue.org>.
- [9] S. Redon, A. Kheddar, and S. Coquillart. Fast continuous collision detection between rigid bodies, 2002.
- [10] Stephane Redon. Continuous collision detection for rigid and articulated bodies. *Department of Computer Science, University of North Carolina at Chapel Hill*, 2004.
- [11] Stephane Redon, Young J. Kim, Ming C. Lin, and Dinesh Manocha. Fast continuous collision detection for articulated models, 2004.